

МІНІСТЕРСТВО ОСВІТИ І НАУКИ УКРАЇНИ
НАЦІОНАЛЬНИЙ УНІВЕРСИТЕТ «ОДЕСЬКА МОРСЬКА АКАДЕМІЯ»

Навчально-науковий інститут автоматики та електромеханіки
(заочне відділення)

Кафедра електричної інженерії та електроніки

**ПОЯСНЮВАЛЬНА ЗАПИСКА
ДО ДИПЛОМНОЇ РОБОТИ БАКАЛАВРА
на тему:**

«Електрообладнання, електронна апаратура та системи управління
контейнерової місткістю 8400 контейнерів»

Виконав: студент 3 курсу

Спеціальноті:

271 – Річковий та морський транспорт

Спеціалізація: Експлуатація суднового

Електрообладнання і засобів автоматики

Шевчук — Шевчук М. О.

Допущений до захисту 16. 12. 2021

Завідучий кафедрою *Муха* Муха М. Й.

Керівник *Бушер* Бушер В. В.

Нормоконтроль *Самонов* Самонов С.Ф.

Рецензент *Редюль* Редюль

Одеса – 2021

НАЦІОНАЛЬНИЙ УНІВЕРСИТЕТ «ОДЕСЬКА МОРСЬКА АКАДЕМІЯ»

Навчально-науковий інститут автоматики та електромеханіки
Кафедра електричної інженерії та електроніки

Спеціальність: електричні системи та комплекси транспортних засобів

ЗАТВЕРДЖУЮ

Зав. кафедри ЕІ та Е

 М. Й. Муха
«01» 11 2021 р.

ЗАВДАННЯ

на дипломну роботу бакалавра

Шевчука Максима Олександрович

1. Тема бакалаврської роботи: «Електрообладнання, електронна апаратура і системи управління контейнеровоза місткістю 8400 контейнерів» затверджена наказом ректора академії від «29» Листопад 2021 р. № 1863
2. Термін здачі курсантом закінченої роботи до 18.12.2021 р
3. Вихідні дані до роботи: технічна документація судна – контейнеровоза місткістю 8400 контейнерів.
4. Змістовна частина розділів дипломної роботи освітньо-кваліфікаційного рівня «бакалавр» за напрямом підготовки 271 «Річковий та морський транспорт» як зазначено нижче:

4.1. Техніко-експлуатаційні характеристики та конструктивні особливості судна: опис корпуса судна та рушія, головної енергетичної установки, вантажного комплексу, допоміжних механізмів і систем, обґрунтування основних параметрів СЕЕС та вибір її типу.

4.2. Судновий електропривод та система його управління (суднова електромеханічна система): розрахунок потужності та вибір електродвигуна одного з електроприводів суднових механізмів; обґрунтування і вибір схеми живлення та управління електроприводом; вибір комутаційно-захисної апаратури

та засобів електромагнітної сумісності із СЕЕС; розробка інструкції з експлуатації суднового електроприводу, який розраховувався.

4.2. Суднова електроенергетична система:

- розрахунок потужності СЕЕС для характерних режимів роботи судна, вибір кількості, потужності і типу основних та аварійних генераторних агрегатів СЕЕС;

- вибір акумуляторів та перетворювачів електроенергії;

- вибір раціональної структури СЕЕС та розробка однолінійної схеми ГРЩ та АРЩ; розрахунок струмів короткого замикання, вибір генераторних автоматів; вибір апаратів, приладів, приборів ГРЩ, та фідерів, що відходять від ГРЩ; вибір системи збудження синхронних генераторів; розрахунок провалу напруги СЕЕС під час пуску найбільш потужного споживача електроенергії; перевірка кабелю живлення одного з найбільш віддаленого електроприводу на втрату напруги; вибір засобів автоматизації СЕЕС, розробка структурної або функціональної схеми автоматизованої системи управління (АСУ) СЕЕС, розробка алгоритмів управління СЕЕС;

- загальні відомості про мережу суднового електричного освітлення, суднових сигналально-відмітних вогнів

- освітлення низької напруги.

4.3.Аналіз систем та пристройів управління судном:

- технічні характеристики та конструктивні особливості суднової комп'ютерної мережі інформаційних і управлюючих систем;

- аналіз роботи системи управління одного із об'єктів суднової енергетичної установки (наприклад, ДАУ ГД, ДАУ ДГ, системи управління допоміжними механізмами та загально-судновими системами, тощо);

- технічні характеристики та конструктивні особливості основних пристройів управління судна, системи контролю, сигналізації та внутрішнього зв'язку;

- ГМЗСБ і навігація (технічні характеристики та конструктивні особливості електро-, радіо-, навігаційних пристройів та радіозв'язку).

4.4.Питання цивільного захисту та охорони праці.

5. Перелік графічного матеріалу:

- принципова схема силової частини електроприводу та його системи управління; однолінійна схема ГРЩ і АРЩ; система збудження СГ;

- структурна або функціональна схема АСУ СЕЕС;

алгоритм управління; принципова або структурна схема системи управління технічного об'єкту, граф-схема алгоритму функціонування.

6. Консультанти розділів роботи:

Розділ	Консультант	Підпис і дата	
		Завдання видав	Завдання прийняв
Безпека та виживання на морі	/ кафедра БЖ		
Охоронні заходи та цивільна оборона на судні	/ кафедра МТ		

Дата видачі завдання: 16.09.2021 р.

Керівник Бушер В. В.

Завдання прийняв до виконання Шевчук М. О.

КАЛЕНДАРНИЙ ПЛАН

№ п/п	Назва етапів дипломної роботи	Термін виконання	Примітки
1	Приведення техніко-експлуатаційних та конструктивних особливостей судна	05.10 – 12.10.2021	Виконано
2	Розрахунок режимів роботи електропривода циркуляційного насосу зaborтної води. Вибір двигуна. Перевірка двигуна за нагрівом. Розрахунок статичних та динамічних характеристик приводу. Спосіб пуску двигуна.	16.10 – 20.10.2021	Виконано
3	Суднова електроенергетична система (СЕЕС): розрахунок потужності СЕЕС для характерних режимів роботи судна, вибір кількості, потужності і типу основних та аварійних генераторних агрегатів СЕЕС; розробка однолінійної схеми ГРЩ та АРЩ; вибір засобів автоматизації СЕЕС, розробка структурної або	21.10 – 04.11.2021	Виконано
4	Аналіз систем та пристройів управління судном: технічні характеристики та конструктивні особливості суднової комп'ютерної мережі інформаційних і управлюючих систем; аналіз роботи системи управління одного із об'єктів суднової енергетичної установки; ГМЗСБ і навігація.	05.11 – 11.12.2021	Виконано
5	Розгляд питань цивільного захисту та охорони праці	12.12 – 14.12.2021	Виконано
6	Оформлення пояснювальної записки та графічної частини роботи.	10.12.21 – 18.12.21	Виконано

Студент-дипломник Шевчук М. О.
 Керівник Бушер В. В.

Анотація

Електрообладнання, електронна апаратура і системи управління контейнеровоза місткістю 8400 контейнерів

У дипломній роботі виконано аналіз електротехнічних систем судна типу контейнеровоз місткістю 8400 контейнерів. Описано техніко-експлуатаційні характеристики і конструктивні особливості судна.

Зроблено розрахунок режимів роботи і вибір електроприводу підрулює пристрою. Розроблено модель багаторівневого перетворювача частоти, розроблений алгоритм корекції системи трифазного напруги при виході з ладу одного з модулів, а також принципова схема системи управління електроприводу.

Виконаний розрахунок суднової електроенергетичної системи. Табличним методом було розраховано потужність і зроблено вибір кількості дизель-генераторів суднової електростанції. Описано безщітковий синхронний генератор і його система збудження. Розроблено однолінійну схему головного і аварійного розподільних щитів. Описано схему розподілу електроенергії по судну. Обрано засоби автоматизації СЕЕС, розроблено функціональну схему автоматизованої системи управління (АСУ) СЕЕС, надано алгоритми управління СЕЕС для характерних режимів роботи. Додатково виконано аналіз динамічних процесів в штатних та аварійних режимах каскадного багаторівневого перетворювача частоти, який керує двигуном підрулюючого пристрою. Показано вплив часу обробки аварійної ситуації з окремими каскадами на пікові струми та електромагнітний момент двигуна, зроблено висновок про достатність задекларованого виробником часу 0.02 с. Виконано аналіз систем керування судновою електроенергетичною установкою та суднових радіонавігаційних засобів. Розглянуті питання засобів автоматизації, цивільного захисту та охорони праці.

Ключові слова: Судновий електропривод, суднова електростанція, інтегрована система управління, алгоритм управління, дистанційне автоматизоване керування.

Аннотация

Электрооборудование, электронная аппаратура и системы управления контейнеровоза вместимостью 8400 контейнеров

В дипломной работе выполнен анализ электротехнических систем судна типа контейнеровоз вместимостью 8400 контейнеров. Описаны технико-эксплуатационные характеристики и конструктивные особенности судна.

Сделан расчет режимов работы и выбор электропривода подруливающего устройства. Разработана модель многоуровневого преобразователя частоты, разработан алгоритм коррекции системы трехфазного напряжения при выходе из строя одной из ячеек, а также принципиальная схема системы управления электропривода.

Выполнен расчет судовой электроэнергетической системы. Табличным методом рассчитана мощность и сделан выбор дизель-генераторов судовой электростанции. Описаны бесщеточный синхронный генератор и его система возбуждения. Разработаны однолинейные схемы главного и аварийного распределительных щитов. Описана схема распределения электроэнергии по судну. Выбраны средства автоматизации СЭЭС, разработана функциональная схема автоматизированной системы управления СЭЭС, проведена разработка алгоритмов управления СЭЭС для характерных режимов работы. Дополнительно выполнен анализ динамических процессов в штатных и аварийных режимах каскадного многоуровневого преобразователя частоты, управляющего двигателем подруливающего устройства. Показано влияние времени обработки аварийной ситуации с отдельными каскадами на пиковые токи и электромагнитный момент двигателя, сделан вывод о достаточности задекларированного производителем времени 0.02 с. Выполнен анализ систем управления СЭЭС установкой и судовых радионавигационных средств. Рассмотрены вопросы гражданской обороны и охраны труда.

Ключевые слова: Судовой электропривод, судовая электростанция, интегрированная система управления, алгоритм управления, дистанционное автоматизированное управление.

ABSTRACT

Electrical, Electronics and System Management containership with number of containers 8400

The containership with number of containers 8400 was considered in the diploma work. Technical-operating descriptions and structural features of ship were described. The calculation of the operating modes and the choice of the electric thruster. A model of a multilevel frequency converter and an algorithm for correcting a three-phase voltage system in case of failure of one of the cells are developed.

The calculation of ship power system is executed. By a tabular method power was expected and the choice of number diesel-generators of ship power-station is done. A brushless synchronous generator and his system of excitation are described. Single-line diagram main and emergency switchboards were developed. The diagram of distributing of electric power on a ship is described. Was chosen the automation of SPS, developed functional diagram of automated control system (ACS) SPS, done the development algorithms of control system of SPS for typical operating mode. Additionally, the analysis of dynamic processes in normal and emergency modes of the cascade multi-level frequency converter of the electric drive of the bow thruster is performed. The influence of emergency response time with separate H-bridges on peak currents and electromagnetic torque of the motor is shown, the conclusion on sufficiency of the time declared by the manufacturer of 0.02 s was made. The analysis of control system of ships power plant and navigational equipment was made.

The questions of maintenance of ships electric equipment and automatization, as well as the civil defense and labor protection are lighted up.

SHIP ELECTROMECHANICS, SHIP POWER-STATION, INTEGRATED SYSTEM MANAGEMENTS, MANAGEMENT ALGORITHM, REMOTE AUTOMATED CONTROL

ЗМІСТ

ПЕРЕЛІК УМОВНИХ ПОЗНАЧЕНЬ.....	12
ВСТУП	13
1. ТЕХНІКО-ЕКСПЛУАТАЦІЙНІ ХАРАКТЕРИСТИКИ ТА КОНСТРУКТИВНІ ОСОБЛИВОСТІ СУДНА	15
2. РОЗРАХУНОК РЕЖИМІВ ТА ВИБІР ЕЛЕКТРОПРИВОДА ПІДРУЛЮЮЧОГО ПРИСТРОЮ.....	20
2.1. Розрахунок та вибір електродвигуна, аналіз режимів роботи.....	20
2.2. Розрахунок і вибір комутаційно-захисної апаратури.....	34
2.3. Розрахунок втрати напруги.....	35
2.4. Вибір схеми живлення, управління та апаратних засобів управління....	36
3. СУДНОВА ЕЛЕКТРОЕНЕРГЕТИЧНА СИСТЕМА.....	41
3.1. Розрахунок потужності та вибір числа агрегатів суднової електростанції.....	41
3.2. Вибір акумуляторів та перетворювачів електроенергії.....	46
3.3. Вибір раціональної структури СЕЕС та розробка однолінійної схеми ГРЩ та АРІЩ.....	46
3.4. Розрахунок струмів короткого замикання, вибір генераторних автоматів.....	53
3.5. Вибір системи збудження синхронних генераторів.....	63
3.6 Перевірка кабелю одного з найбільш віддаленого електропривода на втрату напруги.....	70
3.7 Вибір засобів автоматизації СЕЕС, розробка структурної схеми автоматизованої системи управління, розробка алгоритмів управління СЕЕС.....	75
3.7.1. Система автоматизації СЕЕС.....	75
3.7.2. Загальні відомості про систему управління електростанцією...	80
3.8. Функції зупинки, пуску та синхронізації дизель-генераторів.....	83
4. АНАЛІЗ СИСТЕМ ТА ПРИСТРОЇВ УПРАВЛІННЯ СУДНОМ.....	88
4.1. Система дистанційного управління ГД.....	88
4.1.1. Структурна схема та алгоритм системи керування обертання валу.....	89
4.1.2. ГСА алгоритму системи контролю обертання валу ГД.....	91

4.2 Технічні характеристики і конструктивні особливості суднової комп'ютерної мережі інформаційних і управляючих систем	92
4.3. Технічні характеристики та конструктивні особливості основних пристройів управління судна, системи контролю, сигналізації та внутрішнього зв'язку.....	94
4.4. ГМЗСБ і навігація. Технічні характеристики та конструктивні особливості електро-радіо-навігаційних пристройів та радіозв'язку.....	96
5.ОХОРОНА ПРАЦІ.....	107
5.1. Шкідливі та небезпечні виробничі фактори, класифікація за джерелам и і властивостями	107
5.2. Класифікація пожеж.....	111
5.3. Призначення та зміст плану управління енергоефективності судна	116
6.ПИТАННЯ ЦІВІЛЬНОГО ЗАХИСТУ.....	119
6.1. Прогнозування наслідків надзвичайної ситуації на об'єкті морського транспорту.....	119
6.2. Висновки і рекомендовані заходи для зменшення людських втрат.....	125
ВИСНОВКИ	126
СПИСОК ВИКОРИСТАНОЇ ЛІТЕРАТУРИ.....	127
ДОДАТКИ	

ПЕРЕЛІК УМОВНИХ ПОЗНАЧЕНЬ

- АВ – Автоматичний вимикач
- АДГ – Аварійний дизель-генератор
- АКБ – Акумуляторні батареї
- АКП – Автоматичний керуючий пристрій
- АПС – Аварійно-попереджуvalьна сигналізація
- АРІЩ – Аварійний розподільчий щит
- АРН – Автоматичний регулятор напруги
- БККП – Блок контролю кривої пуску
- ГД – Головний двигун
- ГА – Генераторні агрегати
- ГСА – Граф-схема алгоритму
- ГРЩ – Головний розподільчий щит
- ДАУ – Дистанційне автоматизоване управління
- ДГ – Дизель-генератор
- ДК – Допоміжний котел
- ЕЗА – Електричні засоби автоматизації
- ЕОМ – Електронна обчислювальна машина
- ЕУ – Енергетична установка
- КЗ – Коротке замикання
- ККД – Коефіцієнт корисної дії
- КСК ТЗ – Комплекс систем керування технічними засобами
- ПД – Приводний двигун
- ПТЕ – Правила технічної експлуатації
- РЩ – Розподільчий щит
- СДУ – Суднова дизельна установка
- СЕС – Суднова електростанція
- СЕУ – Суднова енергетична установка
- СУ – Система управління

ВСТУП

Важливою особливістю розвитку сучасного світового виробництва є суттєве поширення транспортного сполучення, зокрема за рахунок надвеликих контейнерних суден. В суднах такого класу широко впроваджено найсучасніші системи електропостачання та електроприводи. Насамперед, це високовольтні суднові мережі і високовольтні перетворювачі частоти.

Судна транспортного флоту обладнено великою кількістю різних електрифікованих механізмів, схемами енергоустаткування та автоматики, які відрізняються значною різноманітністю систем керування. Сучасні технології дозволяють застосовувати різноманітні технічні засоби збору, перетворення, передачі й відображення інформації, формування, передачі й реалізації керуючих впливів на технічні об'єкти.

Сучасні комп'ютерні технології відкривають перед розробниками суднових систем управління багато нових можливостей. Висока продуктивність мікропроцесорної техніки в поєднанні з малими габаритами і вартістю дають можливість використовувати на судні управляючі комп'ютерні мережі для обробки інформації про стан суднових об'єктів і управління складними системами. Такі управляючі комплекси забезпечують нормальнє протікання технологічних процесів в керованих об'єктах, підтримують безаварійне та безпечне їх функціонування і дають можливість управляти рухом судна і всіма необхідними для цього технічними засобами без безпосередньої участі обслуговуючого персоналу.

Економія електроенергії визнана найважливішим напрямком енергетичної політики в світі та в Україні. Особливе значення має використання раціональних, з мінімальним споживанням електроенергії, способів керування технологічними процесами. На сьогоднішній день комплексна механізація й автоматизація виробництва вимагають широкого впровадження регульованого електропривода. Більшість сучасних технологічних установок на морському транспорті оснащені електроприводом з АД. Вони характеризуються простотою конструкції і обслуговування, високою економічністю та надійністю на відміну від синхронних двигунів. Переваги асинхронних короткозамкнених двигунів очевидні, але великий

пусковий струм (6-10 I_n), неможливість прямого пуску потужних двигунів перекреслює всі переваги. Тобто використання керованих електроприводів є необхідним.

Також з метою зменшення втрат електроенергії та зменшення ваги, перерізу силових дротів і зменшення витрат міді (найціннішого зараз електротехнічного матеріалу) в сучасних потужних системах електроприводу використовують високовольтні генератори, перетворювачі. В транспортних суднах – це зазвичай 6600 V, в пасажирських круїзних лайнерах – 11000 V.

Хоча первинні витрати на такі системи досить великі, але вже з моменту першого запуску вони починають виправдовувати себе – значно економиться витрата електроенергії, а значить і палива, навіть у важких пуско-тальмівних режимах.

Системи керування (СК) виконують повністю функції автоматичного регулювання, контролю, захисту, діагностування стану технічних засобів за участю людини-оператора або без його особистої участі.

На сучасних суднах кількість споживачів електроенергії судової електростанції безупинно збільшується, потужності споживачів ростуть, відповідно ростуть і потужності суднових електричних станцій. Відбувається підвищення рівня розвитку й удосконалювання електроустаткування суднових електростанцій у наступних напрямках:

- Розширення застосування комплексної автоматизації суднових електростанцій і загально-суднових систем;
- Підвищення надійності, гнучкості й економічності електричних установок і станцій шляхом розширення електрифікації та автоматизації суден;
 - Підвищення якості вироблюваної електричної енергії;
 - Уdosконалення конструкцій машин, апаратури, прладів шляхом впровадження нових технологій.

Все це дозволить здійснити перехід до більш повного об'єму автоматизації управління судової енергетичної установки судна і, як наслідок, до більшого ступеню безпеки мореплавання.

1. ТЕХНІКО-ЕКСПЛУАТАЦІЙНІ ХАРАКТЕРИСТИКИ ТА КОНСТРУКТИВНІ ОСОБЛИВОСТІ СУДНА

1.1. Опис корпусу судна та рушія, головної енергетичної установки та допоміжних механізмів

Судно Maersk Semarang, IMO 9330070, типу контейнеровоз, призначене для транспортування та перевезення контейнерів розмірами 20 та 40 футів у будь-яких водах та при різних кліматичних умовах. Максимальна місткість 20-футових контейнерів складає 8400, контейнерів масою 14 т – 6670, є можливість підключення 700 рефрижераторних контейнерів.



Детальна характеристика судна

Name	MAERSK SEMARANG
Previous names	Santa Livia
Type	Cellular containership
IMO-number	9330070
Call sign	A8MZ9
Previous call sign	DDSY2

Flag	Liberia
Previous flag	Germany
Port of registry	Monrovia
GT	94.322 t
DWT	108.447 t
NT	55.669 t
Number of 20ft containers	On deck (7/8 tiers) abt.: 4.342 / 4.442 In hold abt.: 3.958 Total (7/8 tiers) abt.: 8.300 / 8.400
Container capacity 14t	6.670
Reefer plugs	On deck: 500 In hold: 200 Total 700
Length	332,58 m overall 317,20 m between perpendiculars 318,26 m registered
Breadth	43,20 m registered
Draught	14,50 m
Forecastle	159,138 m
Poop	150,338 m
Freeboard	5.743 mm
Depth to main deck	24,50 m moulded
Speed	25,4 knots
Built	2007
Keel laid	20.12.2006
Launch date	24.02.2007
Date of completion	16.05.2007

Builder	Daewoo Shipbuilding & Marine Engineering Co., Ltd. Okpo Shipyard 1, Aju-dong 656-714 Geoje-si 11 Republic of Korea
Yard number	4116
Hull material	Shipbuilding steel (standard)
Hull type	Double bottom
Watertight bulkheads	10
Continuous decks	2
Main engine	1x MAN-B&W 12K98MC-C - 2 stroke 12 cylinder 980 x 2.400 mm diesel engine - 68.520 kW at 104,0 rpm Year of manufacture: 2006 Manufacturer: Doosan Engine Co., Ltd. 69-3, Sinchon-dong 642-370 Changwon 11 Republic of Korea
Propellers	1x Solid propeller - aft at 104,0 rpm 6 blades
Boilers	1x Steam boiler, oil fired - 10,0 bar Heating surface: 55,0 m ² 1x Steam boiler, exhaust gas heated - 10,0 bar Heating surface: 1.056,0 m ² Year of manufacture: 2006 Manufacturer: Aalborg Industries (Shanghai) Ltd. Room 1501A 68, Renmin Road Dalian 070 People's Republic of China

Electric installations	4x Plant each 6.600 V - 4.000 kVA 1x Plant 450 V - 687,5 kVA 1x Plant 12 V - 280 Ah 1x Plant 24 V - 300 Ah 1x Plant 24 V - 300 Ah
Generators	4x Main diesel generatorsets each 4.000 kVA / 3.200 kW
Emergency generator	1x Diesel generatorset 687,5 kVA / 550 kW
Batteries	1x Battery for UPS radio 300 Ah 1x Battery for UPS navigation 300 Ah 2x Batteries for start emergency engine each 280 Ah
Compressed air receivers	2x Receivers each 1.6000 litres - 30,0 bar 1x Receiver 200 litres - 30 bar 1x Receiver 180 litres - 30 bar 1x Receiver 2.000 litres - 7,5 bar 1x Receiver 350 litres - 7,0 bar
Bow thruster	1x Transverse thruster - 3.000 kW, forward
Cargo hatch cover	Type: Steel pontoon type, non-sequential
Tank capacities	Heavy fuel oil: 11.000 m ³ Marine diesel oil: 400 m ³ Ballast water: 27.500 m ³ Fresh water: 400 m ³
Anchor equipment	3x Anchors weight each 18.800 kg Chain length: 742,50 m
Cargo gear	None
Crew size	30
Manager	Reederei Claus-Peter Offen GmbH & Co. KG Bleichenbrücke 10

	20354 Hamburg Federal Republic of Germany
Operator	Maersk Line
Registered owner	Kommanditgesellschaft MS "SANTA LIVIA" Offen Reederei GmbH & Co. Bleichenbrücke 10 20354 Hamburg Federal Republic of Germany

Максимальна швидкість судна в повному завантаженні – 23 вузла.

На судні встановлено в якості головного двигуна дизель типу «1x MAN-B&W 12K98MC-C - 2 stroke 12 cylinder 980 x 2.400 mm diesel engine» потужністю 68.520 kW при швидкості обертання 104 rpm. Рушій судна – бронзовий суцільно литий гвинт.

Судно має 3 якоря масою 18.800 kg з ланцюгами 742,50 m.

Підрулюючий пристрій – 1 реверсивний баутрастер на носі судна потужністю 3.000 kW.

Енергетична установка складається з 4-х дизель-генераторів потужністю 4.000 kVA / 3.200 kW та аварійного дизель-генератору потужністю 687 kVA. Суднова електроенергетична система 4x Hi-Voltage Plant 6.600 V – 4.000 kVA, 1x Plant 450 V – 687 kVA, 1x Plant 12 V – 280 Ah, 1x Plant 24 V – 300 Ah, 1x Plant 24 V – 300 Ah, 1x Battery for UPS radio 300 Ah, 1x Battery for UPS navigation 300 Ah, 2x Batteries for start emergency engine each 280 Ah.

2. РОЗРАХУНОК РЕЖИМІВ ТА ВИБІР ЕЛЕКТРОПРИВОДА ПІДРУЛЮЮЧОГО ПРИСТРОЮ

2.1. Розрахунок та вибір електродвигуна, аналіз режимів роботи

Потужність встановленого на судні двигуна складає 3000 kW при швидкості обертання 995 rpm, що надає змогу визначити номінальний момент навантаження з урахуванням запасу на падіння напруги:

$$M_v = \frac{\eta P_n}{\omega_n} = \frac{0.833 * 3000000}{995\pi / 30} = 23990 \text{ Nm}, \quad (2.1)$$

де P_n – номінальна потужність на валу електродвигуна, kW; η – коефіцієнт запасу, ω_n – номінальна швидкість обертання двигуна.

Керування швидкістю та моментом двигуна забезпечує високовольтний перетворювач частоти. Високовольтні каскадні перетворювачі частоти розповсюджуються у різних галузях техніки з потужними споживачами, в тому числі у суднових електроприводах підруллюючих пристрій, в високовольтних суднових електроенергетичних станціях. Їх використання забезпечує багатократне зменшення витрат електротехнічних матеріалів, зменшення маси електричних машин та кабелів, а також покращує енергетичні показники – THD (Total Harmonic Distortion), EEDI (Energy Efficiency Design Index) та EEOI (Energy Efficiency Operational Index) [1, 2].

Використання перетворювачів частоти (ПЧ) є найбільш економічним способом плавного автоматичного регулювання швидкості обертання і продуктивності електроприводу, що дозволяє більш ефективно забезпечити:

- енергозбереження, так як асинхронний двигун (АД) працює в оптимальному з точки зору енергетиці режимі при будь-якої швидкості;
- незалежність швидкості від навантаження, оскільки жорсткість електромеханічних характеристик при частотному керуванні співпадає, а іноді й вище природної.

- електромагнітну сумісність з судновою електроенергетичною мережею у зв'язку з тим, що високовольтні каскадні перетворювачі частоти завдяки силовому трансформатору та конденсаторам після випрямлячів в кожній секції практично не генерують перешкоди в суднову мережу.

Більшість сучасних високовольтних перетворювачів будують за схемою каскадного послідовного з'єднання окремих Н-мостів (комірок) в кожній фазі (каскадні АІН, «cascaded H-bridge converter») (рис. 2.1, а). Кожна комірка є окремим 4-квадрантим ШІМ інвертором, що дозволяє легко діагностувати несправність та вимикати її з роботи, не зупиняючи виконавчий механізм [3–5]. За цією структурою можна досягти будь-яких високих рівнів вихідної напруги [4]. Принципи керування комірками обумовлюються силовими елементами (IGBT, GTO, IGCT, SGCT), методами ШІМ, серед яких найбільший показник використання потужності джерела живлення забезпечує просторово-векторна комутація SVPWM [6–8]. На судні використано перетворювач частоти з 6-рівневою схемою (рис. 2.1, б).

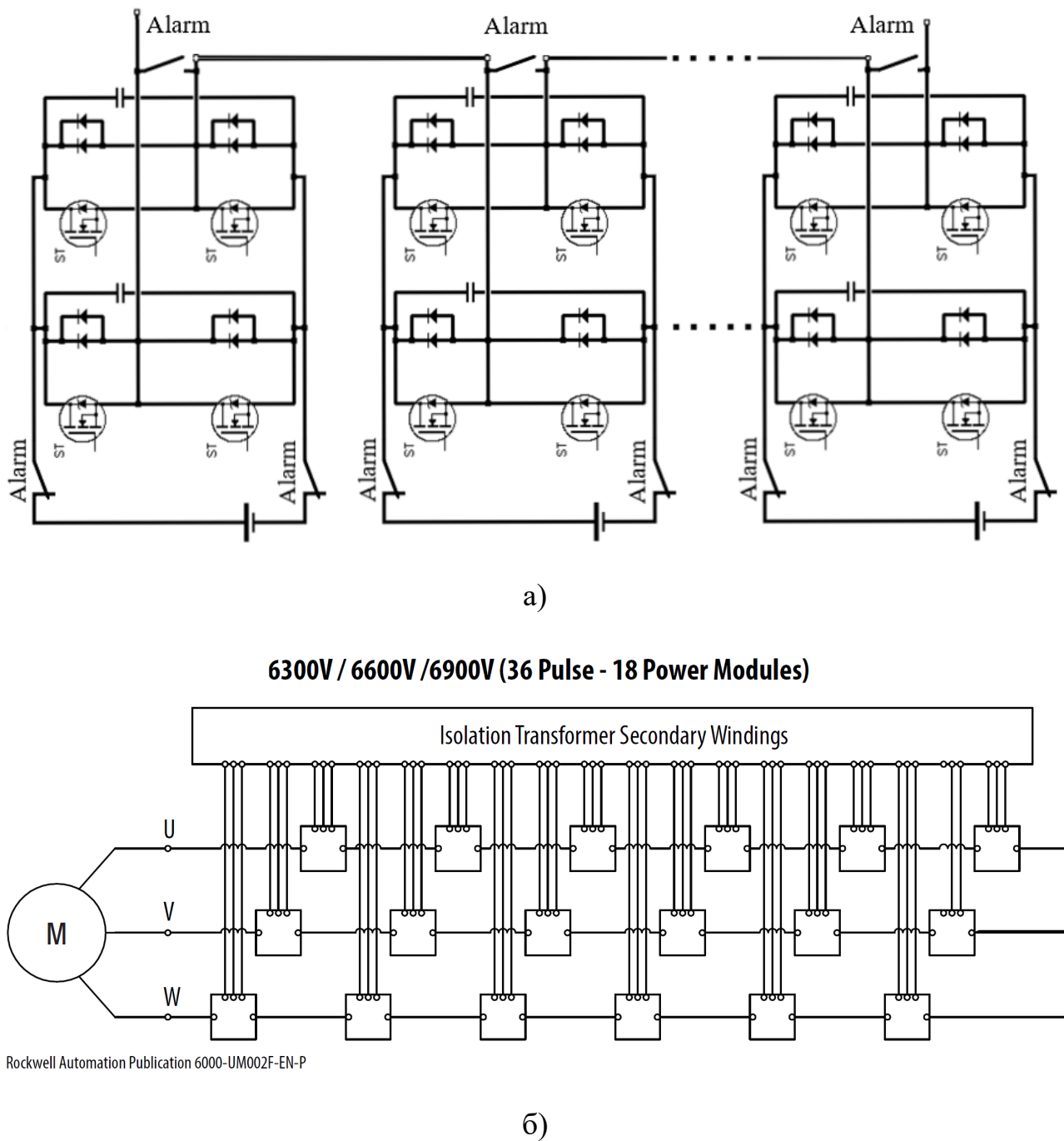


Рисунок 2.1. – Одна фаза каскадного багаторівневого інвертора з Н-мостами (а) та спрощена силова схема 6-рівневого перетворювача частоти

Для багаторівневих ПЧ одним з найкритичніших режимів є режим роботи під час виходу з ладу силового модуля в однієї з фаз інвертора. Такий аварійний модуль вимикають групою електромеханічних або електронних ключів, які на рис. 2.1 позначені, як Alarm. Але треба не тільки вимкнути силовий модуль, а ще й змінити алгоритм роботи в системі керування – змінити кількість трикутних опорних

сигналів відповідно до кількості непошкоджених модулів. Такий алгоритм використовує компанія Allen Bradley в перетворювачах серії Power Flex 6000 [9].

Метою даного розділу роботи є дослідження принципів формування багаторівневої вихідної напруги високовольтного перетворювача частоти та аналіз режимів роботи під час аварії одної з комірок при роботі з потужним АД підроюючого пристрою.

Для досягнення зазначеної мети необхідно вирішити наступні задачі:

- провести аналіз принципів формування вихідної напруги високовольтних перетворювачів частоти;
- побудувати модель багаторівневого перетворювача модульного типу;
- провести дослідження штатного та аварійного режимів при скалярному законі керування ШІМ каскадного АІН.

Модель каскадного багаторівневого перетворювача частоти побудовано в середовищі Matlab / Simulink (рис. 2.2–2.7) [11, 12].

Вихідними даними для моделювання використано параметри схеми заміщення потужного АД марки ABB/AMD710X6T VABM, технічні характеристики якого наведено у табл. 2.1, та номінальні параметри перетворювача частоти.

Таблиця 2.1 – Технічні характеристики АД марки ABB/AMD710X6T VABM

Номінальна потужність	3.0 MW	Коефіцієнт потужності	0,9
Напруга	6600 V	Номінальний момент	28792 Nm
Частота	50 Hz	Відносний пусковий струм	6.7
Частота обертання	995 грт	Відносний пусковий момент	0.8
Струм	262 A	Відносний макс. момент	2.5
Параметри схеми заміщення			
Опір статору R1 (120°C)	0.2031	Опір ротору R2' (40°C)	0.1353
Реактивність статору X1	3.5110	Реактивність ротору X2'	2.1950

Параметри високовольтного ПЧ:

1. Структура АІН: 6-каскадна схема з живленням кожного Н-моста від трансформатора з розщепленою вторинною обмоткою (рис. 2.1, б).
2. Метод ШІМ: скалярна ШІМ та модифікована скалярна ШІМ з просторово-векторною модуляцією.
3. Частота ШІМ: 4000 Hz.
4. Число рівнів вихідної напруги: 6 в штатному режимі, 5 – при аварії.
5. Елементна база модулів: IGBT-транзистори з паралельно включеними діодами зворотного струму.

Модель, загальна структура якої відображена на рис. 2.2, складається з блоків завдання частоти, які подаються на блоки формування синусоїdalьних сигналів з необхідною відносною амплітудою та з додаванням третьої гармоніки з амплітудою $\frac{1}{6}U_m$ в синусоїdalьні сигнали фазних напруг для підвищення ефективності використання джерела живлення на 15.5 % [13, 14] (рис. 2.3), та блоків обробки аварійних ситуацій, основу яких складає багатопозиційний перемикач, на вхід якого подається номер режиму: 0 – нормальній режим, 1 – аварія Н-модуля (обрано блок в фазі C), 2 – корекція аварії шляхом перемикання до 5-рівневого режиму роботи. Номер аварії формує блок damage (рис. 2.4).

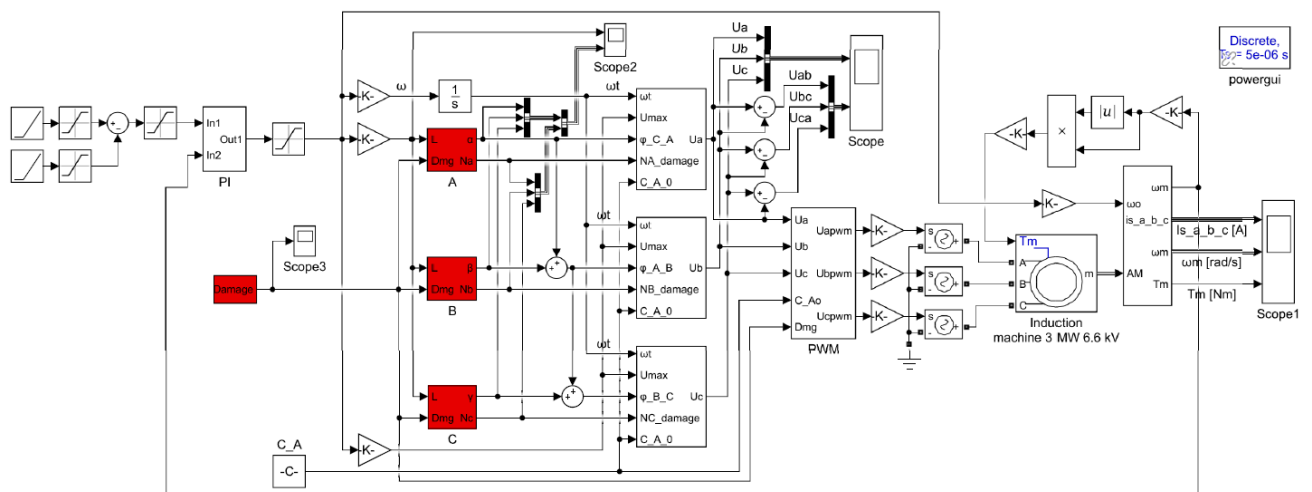


Рисунок 2.2. – Модель високовольтного каскадного перетворювача частоти з асинхронним двигуном та вентиляторним навантаженням

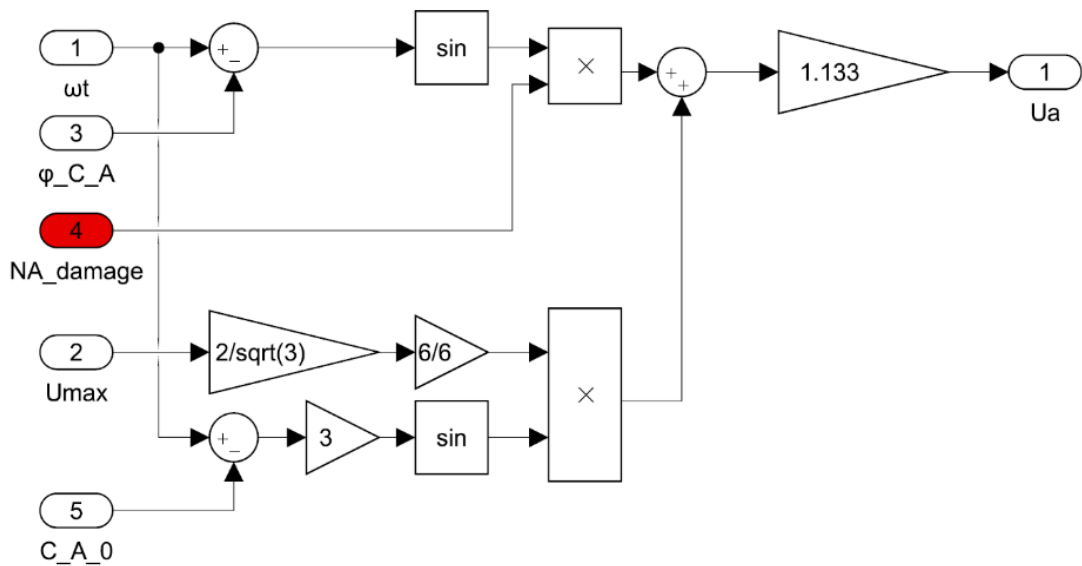


Рисунок 2.3. – Блок формування синусоїdalного сигналу з додаванням 3-ї гармоніки

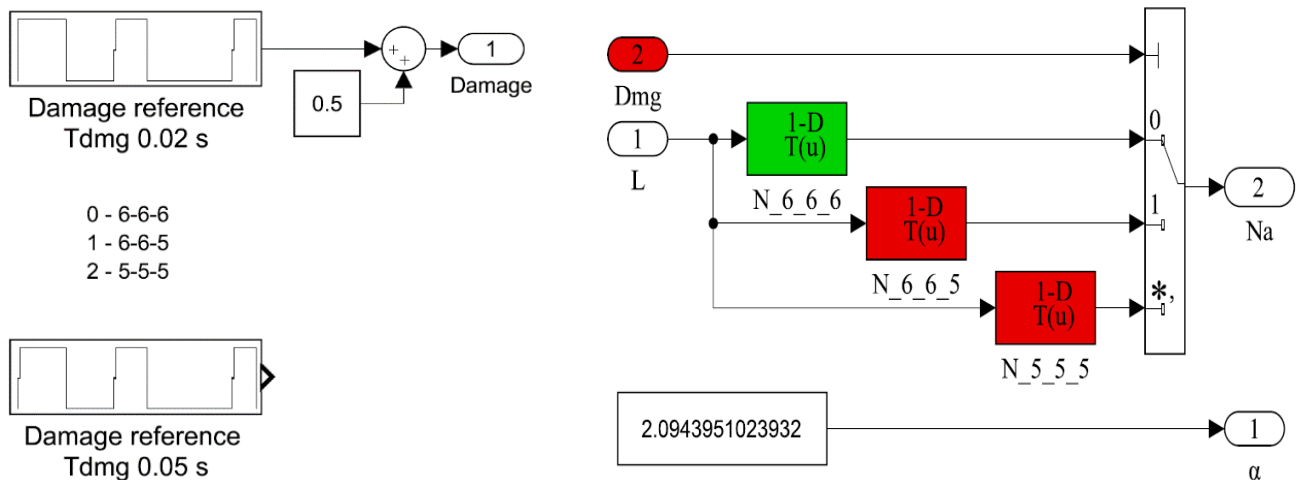


Рисунок 2.4. – Блок формування сигналу режиму роботи і блок обробки аварії

Наступна частина моделі – блок ШІМ (рис. 2.5), який включає в себе три канали для фаз А, В, С, кожен з яких в свою чергу складається з трьох генераторів ШІМ-сигналів відповідно до номеру режиму та вбудованих генераторів трикутних сигналів зі зсувом відповідно кількості Н-модулів та комутатори (рис. 2.6).

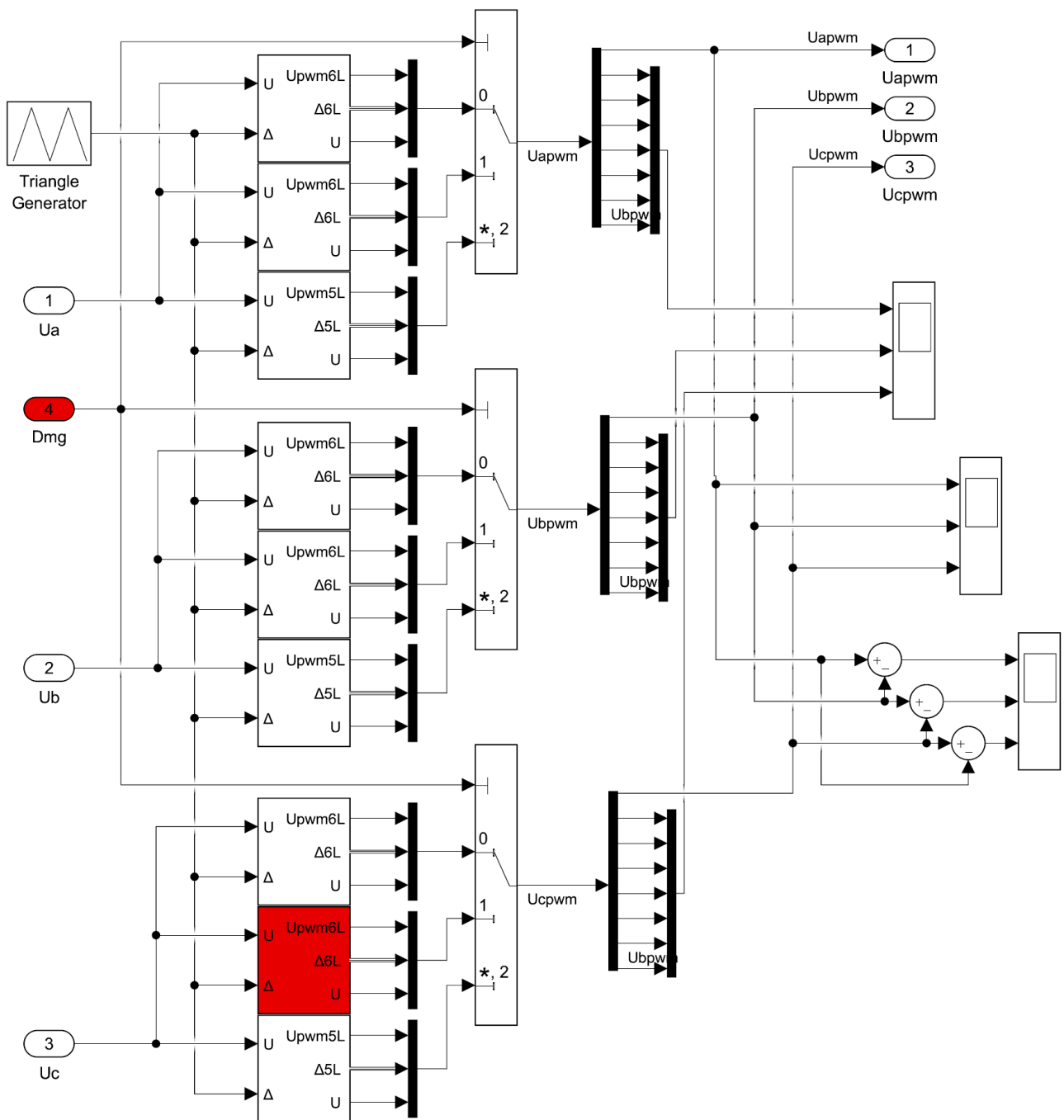


Рисунок 2.5. – Блок широтно-імпульсної модуляції

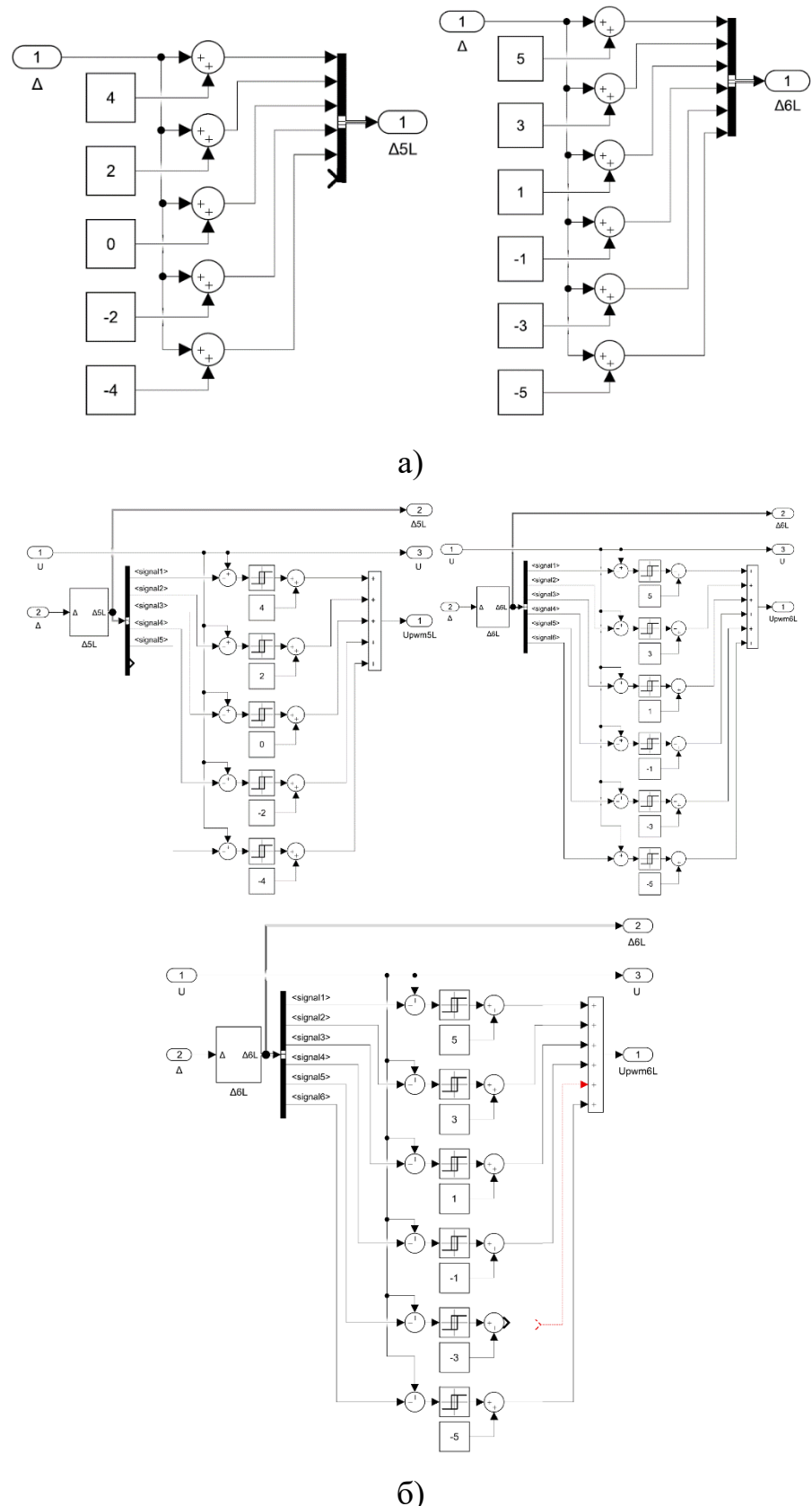


Рисунок 2.6. – Блоки формування трикутних сигналів 5-и та 6-и рівнів (а) і порівняння з синусоїдальним сигналом (б) (внизу – «пошкоджений» блок для фази С)

На рис. 2.7 також показаний пропорційно-інтегральний регулятор швидкості, основне призначення якого – захист від надмірного темпу зростання або зменшення сигналу завдання швидкості, що досягнуто шляхом обмеження сигналу регулятора на рівні менше критичного ковзання та додаванням позитивного зворотного зв'язку швидкості. Необхідність цього модуля обумовлена тим, що під час аварій напруга зменшується до $5/6$ від номінальної, відповідно зменшується момент двигуна і він не може відпрацьовувати розгін або гальмування з тим же темпом, як при непошкоджених модулях. Регулятор забезпечує максимально можливий темп, навіть при стрибках завдання.

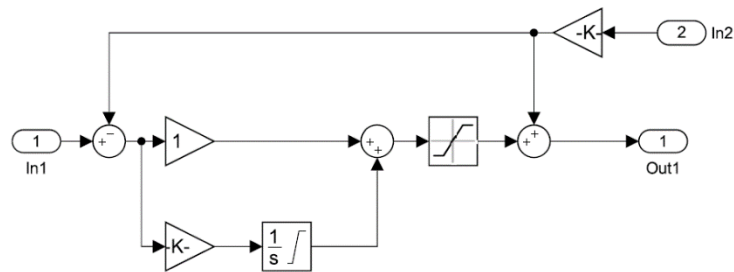


Рисунок 2.7 – Модель ПІ-регулятора швидкості для захисту від надмірного темпу прискорення та гальмування

При підготовці моделі було реалізовано можливість дослідження декількох особливостей:

1. В блоці завдання режиму роботи використано Stair Generator, який дозволяє змінювати часові інтервали між перемиканням режимів, що надало змогу оцінити вплив часу вмикання ключів Alarm на реакцію електродвигуна;
2. В блоці генерування синусоїdalних сигналів для кожної фази є можливість вимкнення / вмикання просторово-векторної модуляції, що надає змогу також оцінити доцільність використання цього методу керування.

Результати моделювання наведено на рис. 2.8–2.13.

На рис. 2.8 надано графіки перехідних процесів струмів статора, швидкості та моменту при нормальній роботі електроприводу з використанням просторово-векторної модуляції.

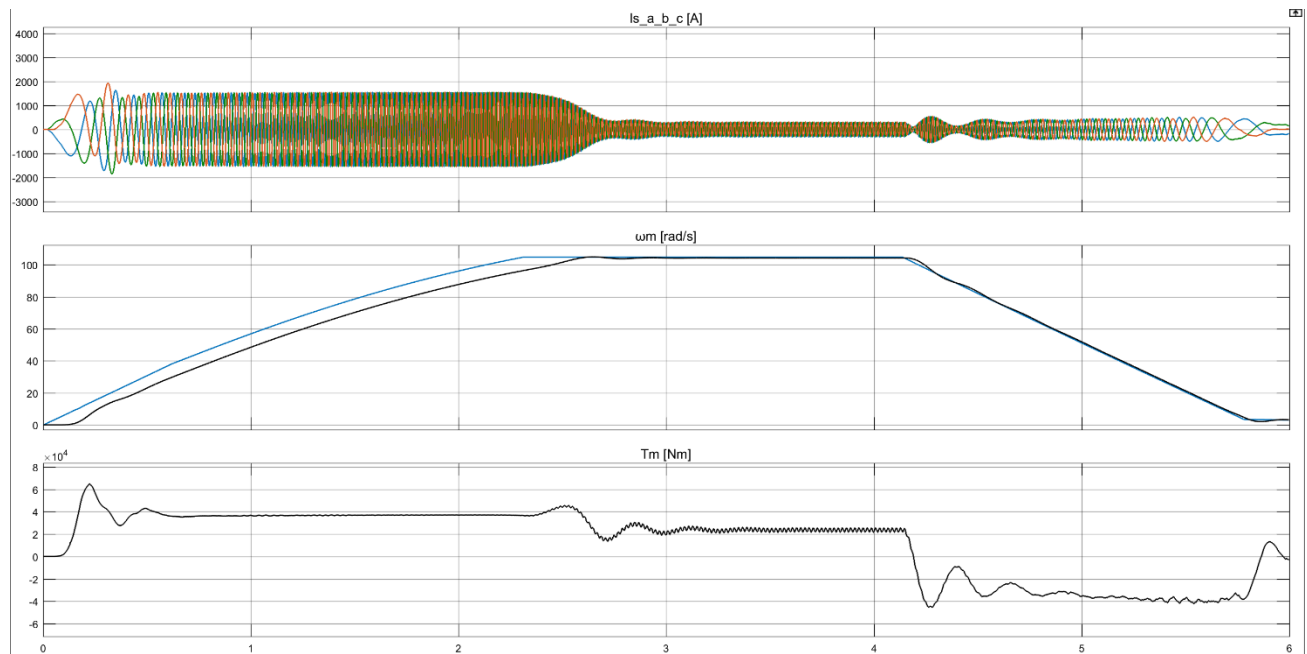


Рисунок 2.8. – Графіки перехідних процесів струмів статора, швидкості, моменту при нормальному стані системи

На рис. 2.9 надано графіки перехідних процесів струмів статора, швидкості, моменту при імітації аварійних режимів під час пуску та при гальмуванні. Враховано, що причиною аварій, як правило, є перевищення струмів. Тому під час пуску «аварія» виникає двічі – при досягненні первого максимуму моменту і струмів та наприкінці пуску, при гальмуванні – також при досягненні одного з максимумів моменту (струму).

Під графіками наведено алгоритм перемикання:

0 – штатний режим роботи з 6-рівневими перетворювачами в фазах;

1 – аварія модуля в фазі С;

2 – перемикання до режиму з 5-рівневими перетворювачами в усіх фазах.

Час реакції на аварійну ситуацію – 0.02 с.

Внаслідок аварій виникає несиметрія струмів, найбільша наприкінці процесу пуска, короткочасно амплітуда струму в фазі С досягає 3500 А. Але найбільші

ударні навантаження виникають при гальмуванні – момент перевищує номінальний майже у три рази. Зменшується також напруга перетворювача, що призводить до зменшення максимального моменту – час пуску збільшився на 1 секунду.

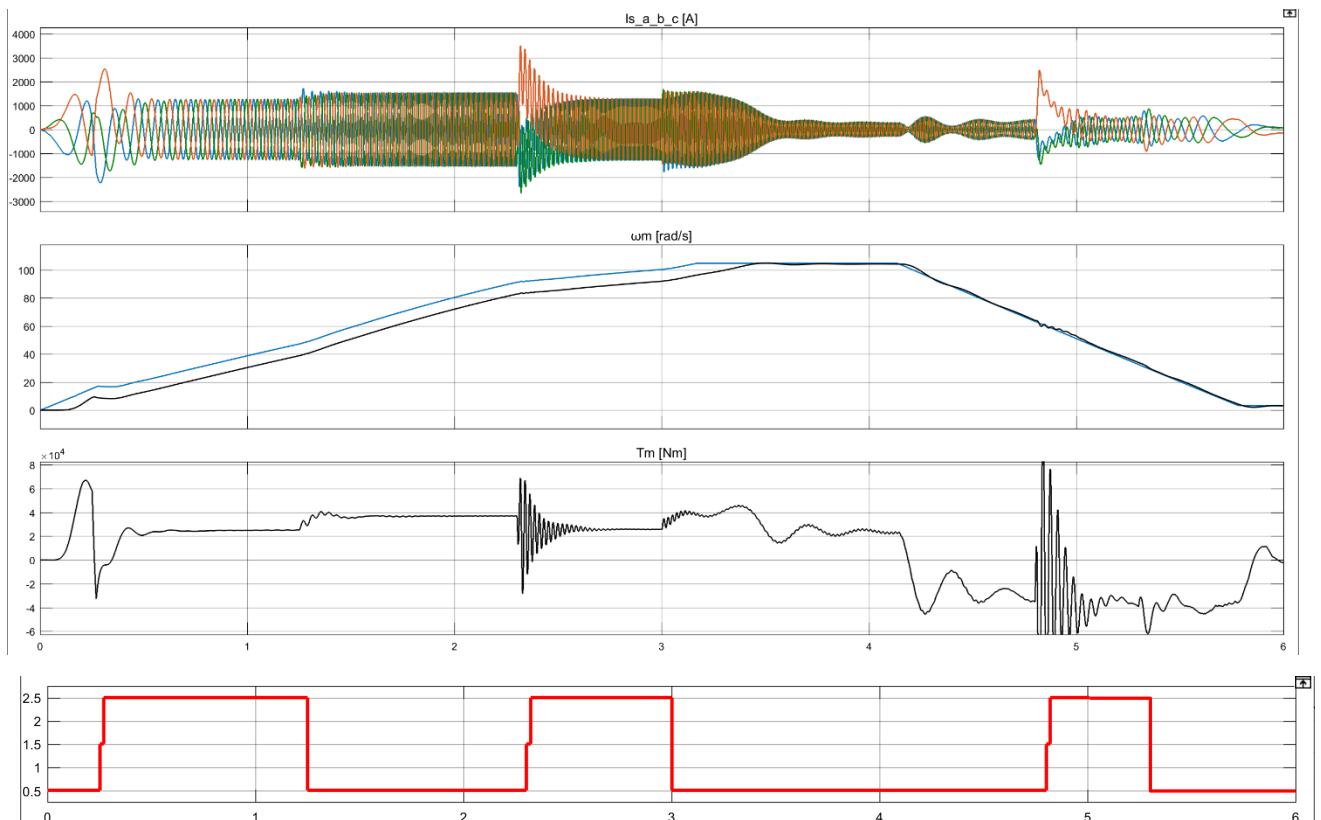


Рисунок 2.8. – Графіки переходних процесів струмів статора, швидкості, моменту, $T_{ALARM} = 0.02 s$. Знизу – номер режиму роботи

На рис. 2.9, 2.10 показано графіки завдання напруги фаз статора на фоні 5-ї або 6-рівневих трикутних сигналів та сигнали ШІМ напруги фаз у відносних одиницях в штатних та аварійних ситуаціях. На двигун подається цей сигнал через блоки керованого джерела напруги з коефіцієнтом підсилення $\frac{6600\sqrt{2}}{6\sqrt{3}}$.

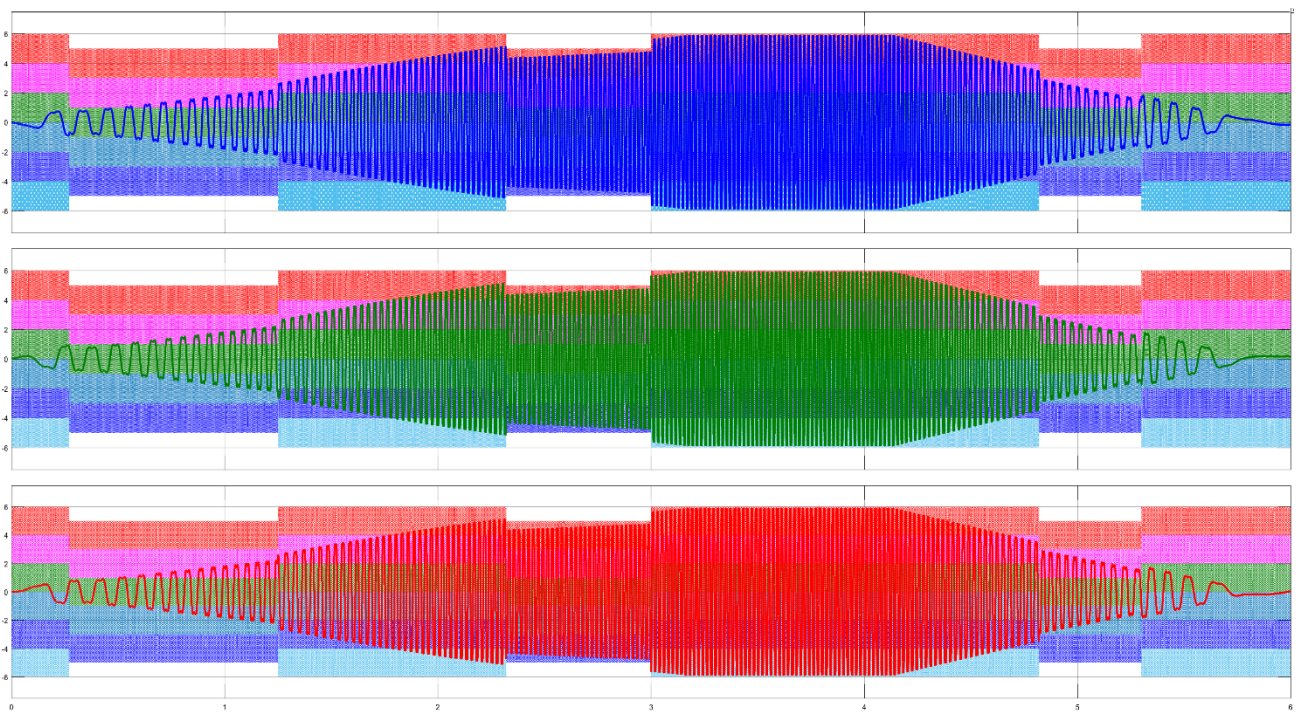


Рисунок 2.9. – Графіки завдання фазних напруги порівняно з високочастотними трикутними сигналами

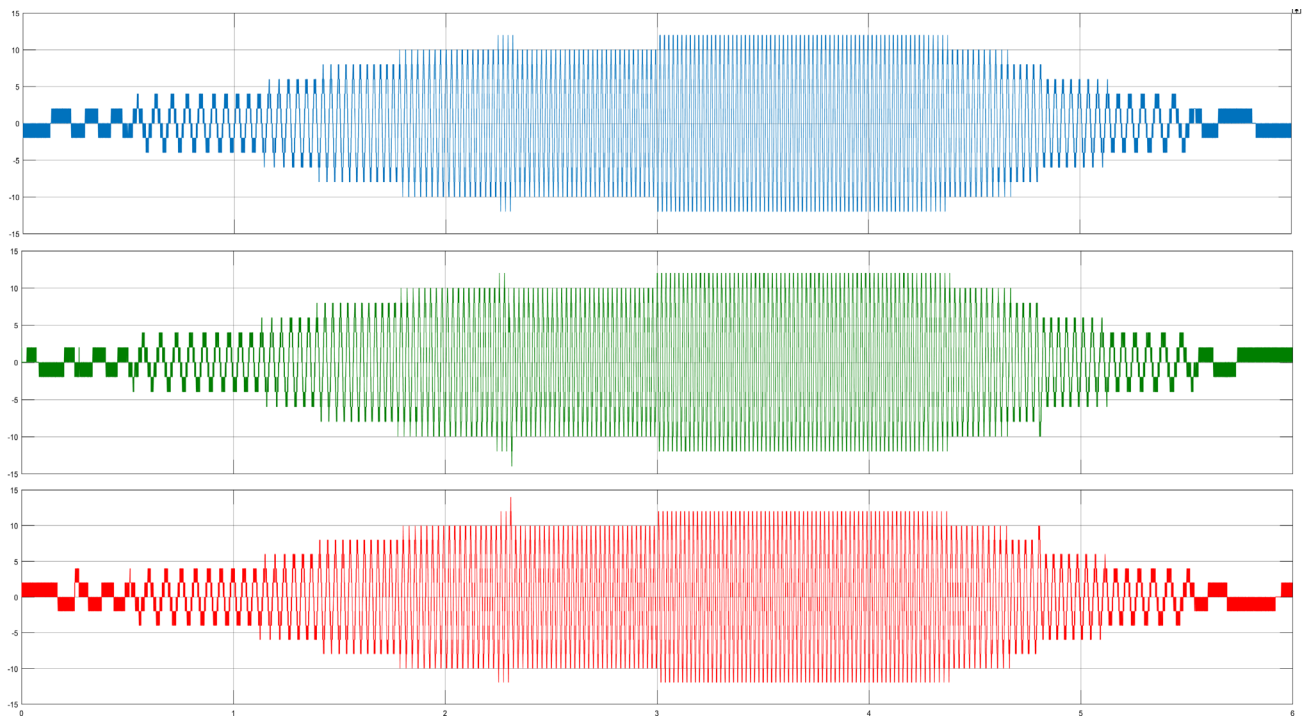


Рисунок 2.10. – Графіки широтно-імпульсної модуляції фазних напруг
(у відносних одиницях)

На рис. 2.11–2.12 порівняно перехідні процеси при часі реакції системи керування на аварійні ситуації за 0.005 с та 0.01 с.

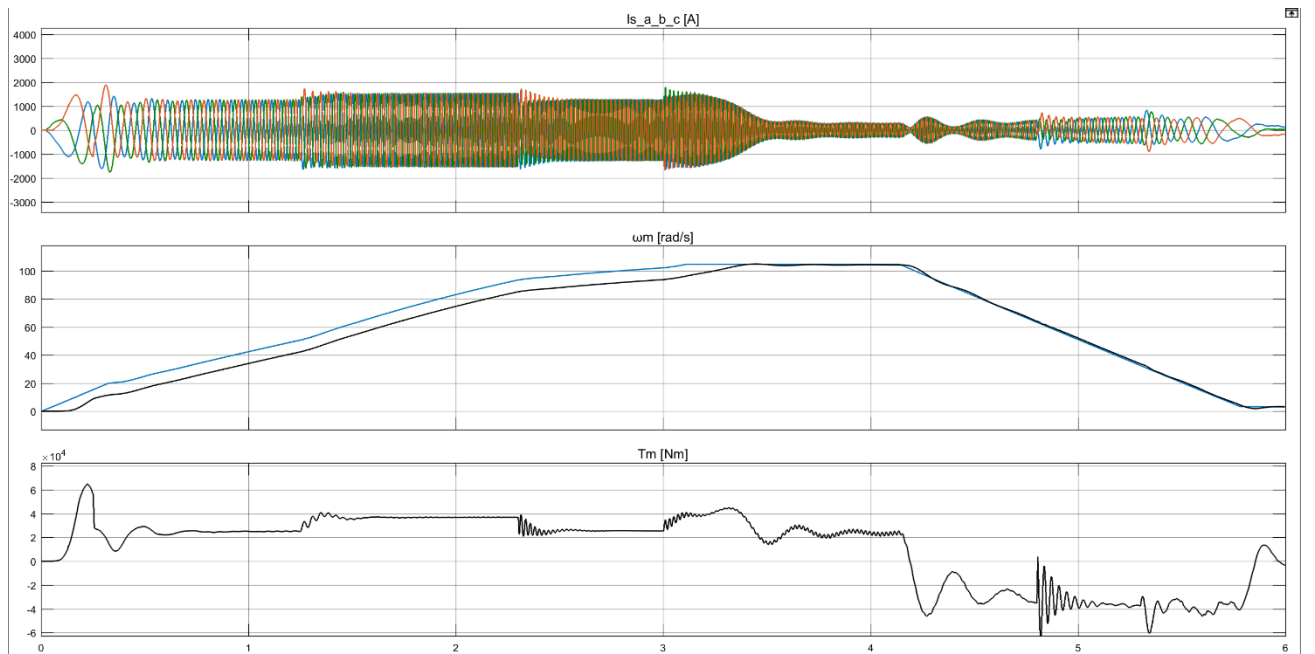


Рисунок 2.11. – Графіки перехідних процесів при $T_{ALARM} = 0.005 \text{ s}$.

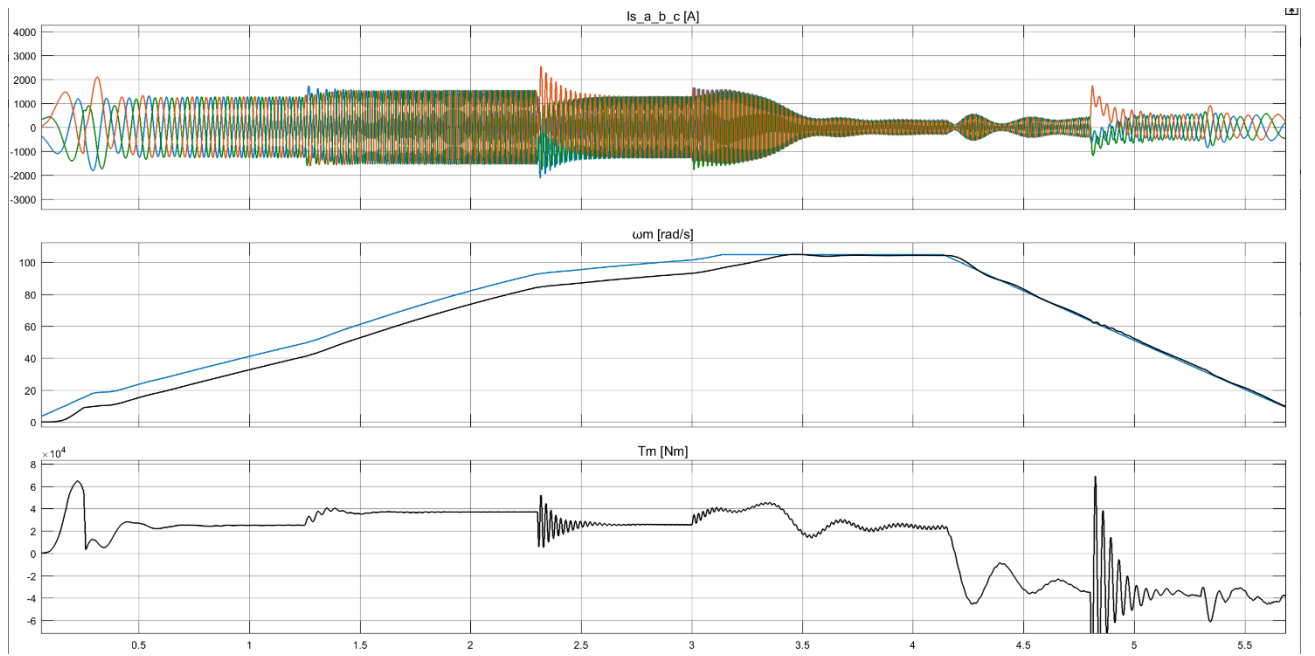


Рисунок 2.12. – Графіки перехідних процесів при $T_{ALARM} = 0.01 \text{ s}$.

Результати на рис. 2.11 можна вважати ідеальними – стрибки моменту виникають тільки при гальмуванні та не перевищують 2-кратного номінального

моменту, стрибки струмів майже відсутні. На рис. 2.12 ситуація не виходить за допустимі рамки – моменти не перевищують 2.5 номінального, струми незначно вище пускових.

Отримані результати надають змогу зрозуміти, чому час діагностики та відпрацювання аварії є одним з ключових серед показників багаторівневих каскадних перетворювачів частоти. Але поки у світових лідерів в виробництві таких ПЧ цей час становить не менш 0.02 s.

На рис. 2.13 показано графіки перехідних процесів в системі без просторово-векторної ШІМ – час перехідного процесу пуску збільшився ще на 1 секунду, тобто максимальний момент зменшується, що є наслідком неповного використання потужності джерел живлення (0.707 замість 0.866). Це свідчить про важливість цього показника (наявність просторово-векторної ШІМ) в паспортних характеристиках ПЧ.

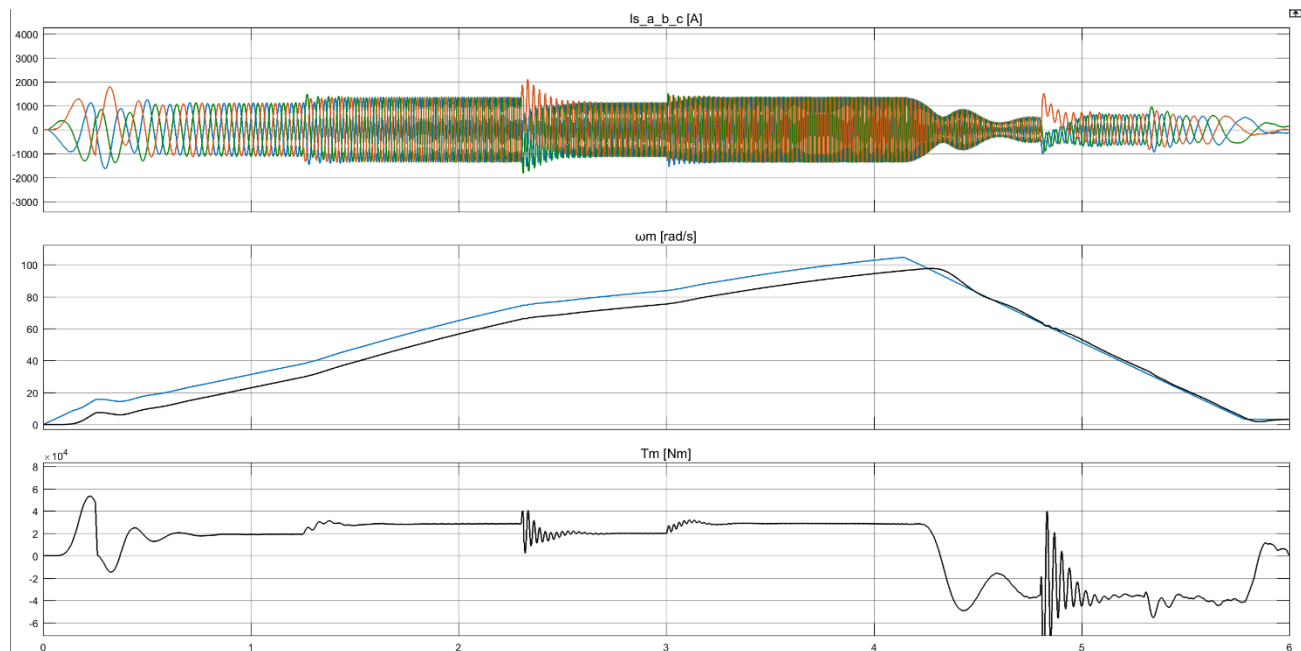


Рисунок 2.13. – Графіки перехідних процесів без додавання третьої гармоніки

Таким чином, за допомогою розробленої моделі виконано дослідження електромагнітних та електромеханічних процесів в багаторівневих АІН, показано вплив часу реакції системи керування на аварійну ситуацію та встановлено, що існуюче на теперішній час значення 0.02 s не призводить до суттєвих проблем, але

зменшення до 0.01 s може знизити ризик лавиноподібного пошкодження інших Н-модулів.

Також показано, що додавання 3-ї гармоніки збільшує діюче значення вихідної фазної напруги майже на 16 %, відповідно зростає і максимальний момент двигуна, зменшується час запуску, що має важливе значення для підроудлюючого пристрою.

Крім того, використання багаторівневого АІН підвищує надійність електроприводу та живучість суднових електроенергетичних систем.

2.2. Розрахунок і вибір комутаційно-захисної апаратури

Вибір автоматичного вимикача. Для вибору автоматичного вимикача, що підключає електропривод, знайдемо розрахунковий струм за формулою:

$$I_H = \frac{P_n}{\sqrt{3} \cdot U_H \cdot \cos \varphi_H} = \frac{3000000}{1,73 \cdot 6600 \cdot 0,85} = 308 \text{ A}, \quad (2.2)$$

де P_n – потужність електродвигуна, U_n – лінійна напруга живлення АД, $\cos \varphi_n$ – коефіцієнт потужності приймача.

За струмом двигуна 308 A обираємо автоматичний вимикач фірми JUCRO Electric.

Тип: 12KV VCB Vacuum Circuit Breaker HVD1-12, паспортні параметри наведено у табл. 2.3.

Таблиця 2.3 Main specifications and technical parameters

NO.	Item	Unit	Parameter
1	Rated voltage	KV	12
2	Rate voltage frequency	Hz	50
3	Rated lightning impulse withstand voltage (1min)	KV	75
4	Rated short-time power frequency withstand voltage (1min)	KV	42
5	Rated short-circuit breaking current	KA	20
6	Rated current	A	630
7	Rated peak withstand current	KA	50
8	Rated shorted-time withstand current	KA	20
9	Rated shorted-time making current(peak)	KA	50
10	Power frequency withstand voltage of secondary circuit (1min)	V	2000
11	Rated operation sequence		Off-0.3s-On&Off-180s- On& Off Off -180s- On& Off -180s- On& Off*
12	Rated breaking current of capacitor bank	A	630/400 (40kA 800/400)
13	Opening time (rated voltage)	ms	20~50
14	Closing time (rated voltage)	ms	30~70
15	Rated short-circuit current breaking times	times	50 (40kA 30)
16	Mechanical life	times	30000
17	Rated opening/closing voltage	V	AC110, 220; DC110, 220
18	Rated voltage of energy-storage motor	V	AC110, 220; DC100, 220

2.3. Розрахунок втрати напруги

Знаючи необхідні величини, можна записати формулу для розрахунку втрати напруги.

$$\Delta U_{\text{л}} = \frac{\sqrt{3} \cdot I_a \cdot l \cdot 100}{\gamma \cdot S \cdot U}, \quad (2.6)$$

де I_a – активна складова струму, γ – провідність струмопровідних частин ($48 \text{ m}^* \text{mm}^2/\text{Ohm}$ при $t = 65^\circ\text{C}$):

$$I_a = I_k \cdot \cos \varphi_H = 308 \cdot 0,85 = 261,4 \text{ (A)}$$

Тоді з формулі (2.6), маємо:

$$\Delta U_{\pi} = \frac{\sqrt{3} \cdot 261,4 \cdot 5 \cdot 100}{48 \cdot 3 \cdot 6600} = 0,254 \text{ \%}.$$

Таким чином, втрата напруги не перевищує припустимих значень.

2.4. Вибір схеми живлення, управління та апаратних засобів управління

Схему живлення та управління обираємо згідно зі знаком автоматизації судна та вимогами Регістра до даного типу суднових механізмів.

Технічні характеристики з каталогу компанії Rockwell Automation надано в табл. 4 [15].

Відповідно до технічної специфікації обираємо перетворювач частоти 6000G–B(B-Frame)–A(Normal Duty)–305(A)–K(IP42)–J(6600V)–6(Line f=60Hz)–AP(Control Voltage 240V), тобто:

PowerFlex 6000G–B–A–305–K–J–6–AP.

Перетворювачі частоти серії 6000 забезпечують важливі у морському транспорті показники.

Висока ефективність і зручність використання.

В процесі розробки ПЧ особливу увагу було приділено приводний системі в цілому, щоб забезпечити найкращу конфігураційну гнучкість, високу ефективність і сумісність з технологічним процесом.

Висока продуктивність

Швидке, надійне і точне управління технологічним процесом в поєднанні з малим споживанням енергії обумовлює високу продуктивність. Управління приводом відбувається швидко і плавно у всіх режимах, навіть при великих відхиленнях напруги живлення і частоти.

Сумісність з двигуном

Топологія PowerFlex 6000G передбачає оптимальну кількість рівнів комутації, які визначають багаторівневу форму вихідної напруги. Це дозволяє застосовувати стандартні двигуни напругою до 11 kV без зниження надійності.

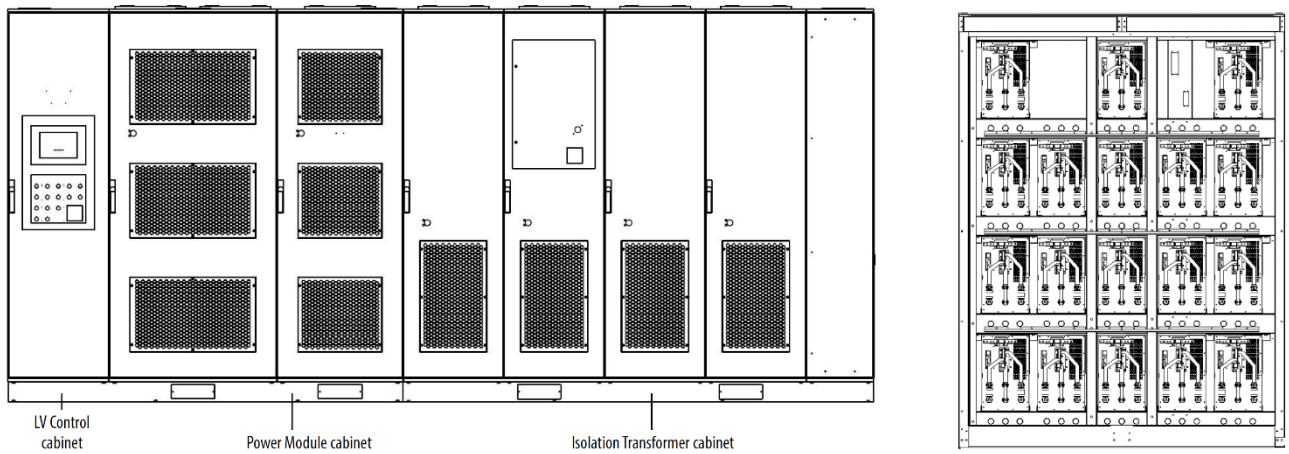
Сполучення з мережею

Для мінімізації нелінійних спотворень PowerFlex 6000G–B–A–305–K–J оснащений 30-пульсним випрямлячем. Він відповідає вимогам щодо гармонійних спотворень струму і напруги, визначених стандартами IEEE, IEC, EN і ГОСТР. При цьому для нових приводних систем відсутня необхідність проведення дорогоГО аналізу гармонік або установки мережевих фільтрів.

Адаптованість, модульна конструкція

Модульна конструкція перетворювача PowerFlex 6000G без водяного охолодження дозволяє отримати оптимальну конфігурацію будь-якої приводної системи. Кожна збірка складається з перевірених і сертифікованих модулів (рис. 2.14).

Шафи, в яких розміщаються компоненти ПЧ, відповідають стандартним вимогам безпеки при роботі з високовольтним обладнанням середнього рівня.

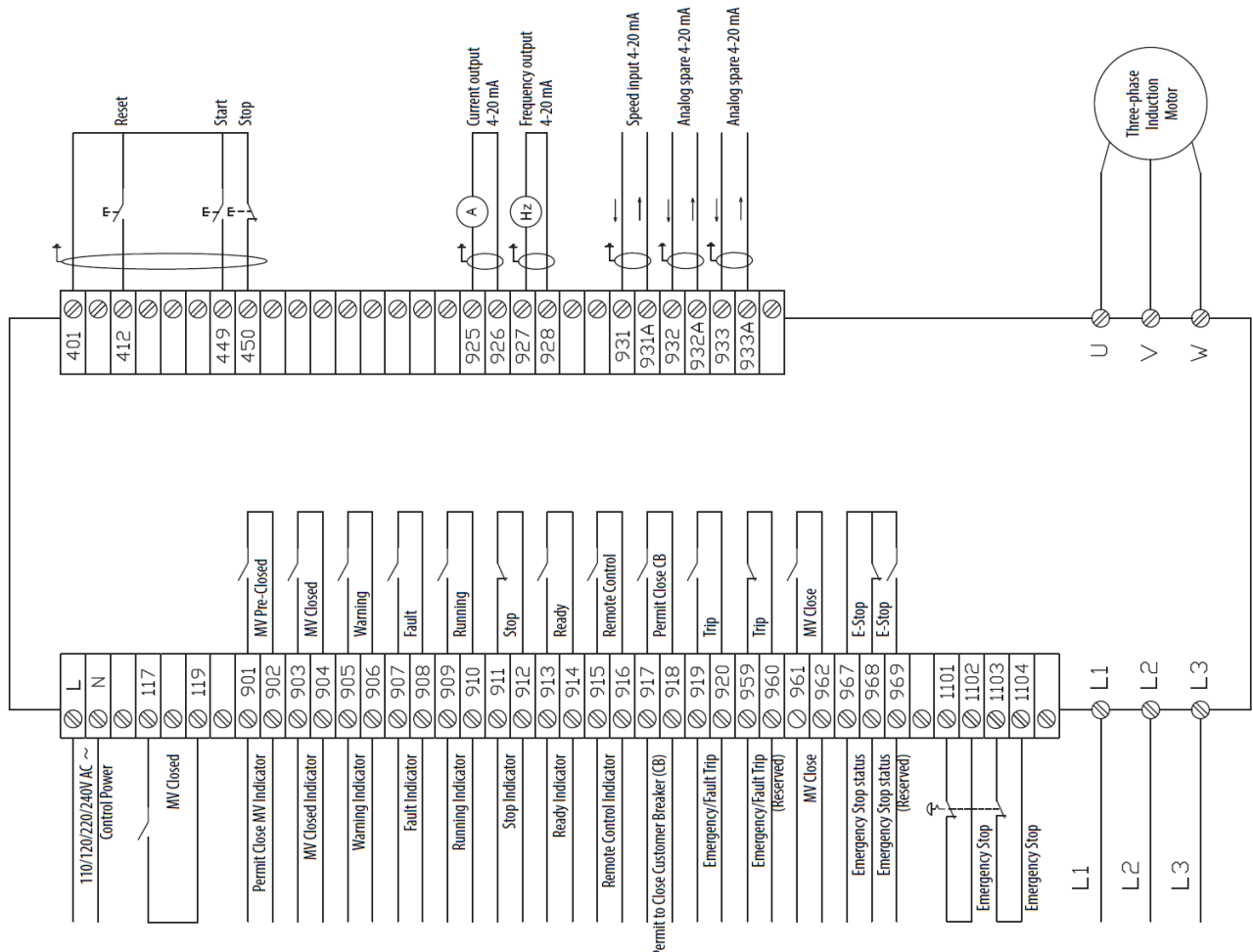


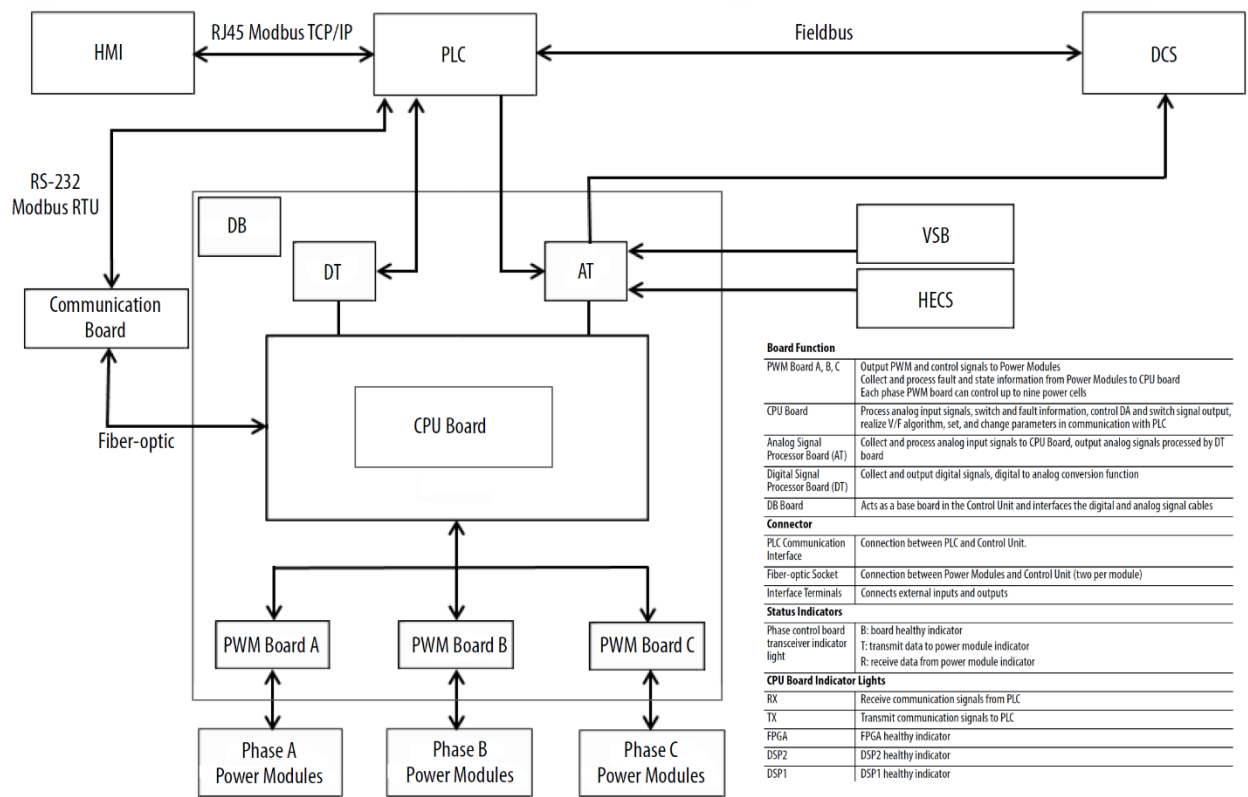
Таблиця 2.4. Характеристики перетворювачів частоти PowerFlex 6000

Attribute	Value
Power Rating Range @ 2.3/2.4 kV motor voltage	112...2390 kW (183...3205 HP)
Power Rating Range @ 3.0 kV motor voltage	110...2990 kW (214...4010 HP)
Power Rating Range @ 3.3 kV motor voltage	110...3280 kW (235...4398 HP)
Power Rating Range @ 4.0/4.16 kV motor voltage	144...4140 kW (294...5552 HP)
Power Rating Range @ 6.0 kV motor voltage	200...5970 kW (268...8006 HP)
Power Rating Range @ 6.6 kV motor voltage	286...6570 kW (384...8810 HP)
Power Rating Range @ 6.9 kV motor voltage	286...6870 kW (384...9213 HP)
Power Rating Range @ 10.0 kV motor voltage	200...9950 kW (268...13343 HP)
Power Rating Range @ 11.0 kV motor voltage	200...10950 kW (268...14684 HP)
Motor Type	Induction (asynchronous) motors
Input Voltage Rating	2.4 kV, 3.0 kV, 3.3 kV, 4.16 kV, 6.0 kV, 6.3 kV, 6.6 kV, 6.9 kV, 7.2 kV, 10.0 kV, 11.0 kV
Input Voltage Tolerance	±10% of Nominal
Input Voltage Sag, minimum	-30% of Nominal
Input Frequency	50/60 Hz, ±5%
Input Impedance Device	Multiphase Isolation Transformer
Input Current THD (1st...49th)	Complies with IEEE519-1992 standard
Output Voltage	0...2300/2400V, 0...3000/3300V, 0...4000/4160V, 0...6000/6300V/6600V, 0...6900V, 0...10000V 0...11000V
Rectifier Configurations	18 pulse (2.3/2.4/3.0/3.3 kV), 24 pulse (4.0/4.16 kV), 30 pulse (6.0 kV), 48 pulse (10 kV), 54 pulse (11 kV)
Inverter Configuration	Pulse Width Modulated (PWM) power modules
Power Module Rating	36 A, 40 A, 50 A, 70 A, 75 A, 100 A, 120 A, 140 A, 150 A, 180 A, 200 A, 215 A, 250 A, 305 A, 350 A, 438 A, 560 A, 680 A
Power Semiconductors	Diodes (rectifier), IGBTs (inverter)
Medium Voltage Isolation	Fiber-optic
Control Method	Sensorless Vector Control and Volts per Hertz

Перетворювач частоти, згідно з технічною документацією, підключається до шини живлення 6600 V, а керуючі входи та виходи підключаються до суднової системи автоматизації. Силові контакти перетворювача частоти та дискретні і аналогові входи та виходи блоку керування для обраного пристрою надано на рис. 2.15 [15].

Для коректного підключення перетворювача частоти необхідно розуміти функціональну схему пристрою (рис. 2.16) та вміти обирати необхідні параметри в програмному меню вбудованого контролера. [15].





Таким чином, в розділі обрано обладнання для високовольтного електроприводу підрулюючого пристрою, розроблено модель для аналізу типових штатних та аварійних режимів роботи.

3. СУДНОВА ЕЛЕКТРОЕНЕРГЕТИЧНА СИСТЕМА

3.1. Розрахунок потужності та вибір числа агрегатів суднової електростанції

Судовою електроенергетичною системою (СЕЕС) називається сукупність електротехнічних пристройів, об'єднаних процесом виробництва, перетворення і розподілу електроенергії на судні. СЕЕС складається із джерел електроенергії, ліній електропередачі, перетворювачів електроенергії.

Кількість та встановлена потужність джерел електроенергії СЕС залежать від встановленої потужності споживачів електроенергії та характеру зміни споживаної потужності при різних режимах роботи судна.

Розрахунок потужності СЕС засновується на статичному аналізі реальних навантажень на СЕС та основних споживачів електроенергії. При цьому основними розрахунковими режимами роботи СЕС вважаються режими ходу та стоянки судна, без вантажних операцій судновими засобами. Інші режими роботи СЕС є похідними від основних.

Основні джерела електроенергії і суднова силова електрична мережа підключаються до головного розподільного щита (ГРЩ), а аварійні джерела електроенергії і аварійна мережа - до аварійного розподільного щита (АРЩ). Згідно з вимогами Правил Регістра, ГРЩ і АРЩ сполучаються лінією передачі електроенергії.

Для заданого судна була обрана електростанція змінного струму частотою 60 Hz з напругою силової мережі 6600 V.

Розрахунок виконаний відповідно до РД5.6168-92 «Методи розрахунків електричних навантажень» аналітичним методом постійних навантажень табличним способом.

По заданих параметрах електродвигунів (номінальна потужність P_H , kW; ККД двигуна η_H , %; коефіцієнт потужності $\cos\phi$), а також по заданим кількостям одночасно працюючих однотипних електродвигунів N_P та коефіцієнту завантаження K_3 , %, були розраховані наступні параметри:

Споживча потужність одного електродвигуна:

$$P_{II} = \frac{P_H}{\eta}, \text{ kW} \quad (3.1)$$

Для кожного з режимів роботі судна, зважаючи на кількість працюючих механізмів у даному режимі роботи судна N_p , характер роботи електродвигунів (тривалий, або короткочасний), а також на заданий коефіцієнт завантаження $K_3, \%$, розраховується сумарна установлена активна та реактивна потужність механізму при тривалому та короткочасному режимах роботи:

При тривалому режимі роботи

$$P_{yD} = P_p K_3 N_p, \text{ kW} \quad (3.2)$$

$$Q_{yD} = P_{yD} \operatorname{tg} \phi, \text{ kVAr} \quad (3.3)$$

При короткочасному режимі роботи:

$$P_{yK} = P_p K_3 N_p, \text{ kW} \quad (3.4)$$

$$Q_{yK} = P_{yK} \operatorname{tg} \phi, \text{ kVAr} \quad (3.5)$$

Потім для кожного режиму роботи судна з урахуванням усіх споживачів розраховується необхідна активна та реактивна потужність для тривалого та короткочасного режимів:

При тривалому режимі роботи:

$$P_{TD} = \sum P_{yD}, \text{ kW} \quad (3.6)$$

$$Q_{TD} = \sum Q_{yD}, \text{ kVAr} \quad (3.7)$$

При короткочасному режимі роботи:

$$P_{TK} = \sum P_{yK}, \text{ kW} \quad (3.8)$$

$$Q_{TK} = \sum Q_{yK}, \text{ kVAr} \quad (3.9)$$

З урахуванням коефіцієнту різночасності K_p , який для тривалого режиму роботи становить $K_{pT} = 1$, а для короткочасного змінюється в залежності від споживача, обчислюється загальна активна P_{ZAG} та загальна реактивна потужність Q_{ZAG} для кожного з режимів роботи судна:

$$P_{ZAG} = P_{TD} k_{PT} + P_{TK} k_{PK}, \text{ kW} \quad (3.10)$$

$$Q_{ZAG} = Q_{TD} k_{PT} + Q_{TK} k_{PK}, \text{ kVAr} \quad (3.11)$$

Обчислюється загальна повна потужність S_{ZAG} для кожного режиму роботи судна:

$$S_{ZAG} = \sqrt{P_{ZAG}^2 + Q_{ZAG}^2}, \text{ kVA} \quad (3.12)$$

Після цього для кожного режиму роботи судна розраховується середній коефіцієнт потужності, що визначається відношенням загальних активної та повної потужностей:

$$\cos \phi_{CP} = \frac{P_{3AG}}{S_{3AG}} \quad (3.13)$$

Таким чином заповнюється вся таблиця для кожного з режимів роботи судна.

Потужність генераторів вибирають згідно з середнім коефіцієнтом потужності. У випадку, якщо $\cos \phi_{CP} \geq 0,8$, то генератори треба обирати по активній потужності, в іншому випадку – по повній.

У нашому випадку у ходовому режимі з реф. контейнерами

$$\cos \phi_{CP} = \frac{7395,41}{8098,78} = 0,909$$

У маневровому режимі з реф. контейнерами та підруллюючим пристроєм

$$\cos \phi_{CP} = \frac{9197,59}{10023,74} = 0,918$$

В режимі стоянки

$$\cos \phi_{CP} = \frac{2165,74}{2505,57} = 0,864$$

В аварійному режимі

$$\cos \phi_{CP} = \frac{282,45}{318,22} = 0,887$$

Таким чином усі значення середнього коефіцієнту потужності в усіх режимах роботи судна становлять більше, ніж 0,8. Це свідчить, що вибір генераторів треба робити по активній потужності.

На кожному судні повинен бути передбачено основне джерело електричної енергії потужністю, що забезпечує живлення всього необхідного електричного обладнання судна. Таке джерело повинне складатися принаймні з двох генераторів з незалежним приводом. Кількість і потужність генераторів з незалежним приводом і електричних перетворювачів, що входять до складу основного джерела електричної енергії, повинні бути такими, щоб при виході з ладу будь-якого з них була можливість забезпечення: живлення необхідного електричного обладнання при одночасному забезпеченні нормальних умов живучості на судні; підтримки або негайногого відновлення живлення електричного обладнання, необхідного для забезпечення руху, керованості судна і його безпеки; пуску найпотужнішого електродвигуна з найбільшим пусковим струмом. При цьому пуск двигуна не повинен викликати такого пониження напруги і частоти в

мережі, яка може спричинити випадання з синхронізму, зупинку двигуна генератора, а також відключення працюючих машин і апаратів; живлення споживачів, необхідних для запуску гребної установки при знеструмленому стані судна. Для цієї мети може бути використане аварійне джерело електричної енергії, якщо його власна потужність або сумарна потужність з будь-яким іншим джерелом електричної енергії забезпечує одночасно живлення споживачів, вказаних вище, для чого може бути передбачена їх паралельна робота.

Визначення складу і потужності генераторів основного джерела електричної енергії повинно проводитися з урахуванням наступних режимів роботи судна:

- ходового режиму;
- режиму маневрів;

– під час пожежі, пробоїни корпусу або інших, що впливають на безпеку плавання судна, умов при роботі основного джерела електричної енергії, інших режимів відповідно до призначення судна.

У нашому випадку для контейнеровозу найбільш важким для енергетичної системи є маневровий режим з рефрижераторними контейнерами та підруллюючими пристроями. Загальна потужність при цьому режимі становить близько 8000 kW.

Завантаження генераторів в тривалих експлуатаційних режимах повинно знаходитись в межах 70-90 % від номінального, в короткочасних режимах повинно бути не нижче 50% (вказані значення завантаження забезпечують економічну роботу генераторів). Отже, обираємо чотири дизель-генератора безщіткового типу HYUNDAI HSRJ7-805-10 потужністю 4.000 kVA / 3.200 kW кожен.

Таким чином при маневровому режимі з рефрижераторними контейнерами та підруллюючим пристроєм буде використано 4 генератора, працюючих в паралелі. Розрахуємо коефіцієнт навантаження генераторів при цьому режимі:

$$k_H = \frac{P_{зАГ}}{nP_G} \quad (3.14)$$

$$k_H = \frac{7884}{4 \cdot 3200} = 0.616$$

$$k_H = \frac{7884}{3 \cdot 3200} = 0.821$$

Таким чином, всі 4 генератора працюють з навантаженням 62 %, а три генератора – з навантаженням 82 %, тобто є можливість за правилам Регістру для забезпечення надійної роботи електричної станції мати один резервний генератор,

який зможе замінити будь-який з генераторів, який вийшов з ладу. Крім того, СЕЕС судна має валогенератор, який у надзвичайній ситуації також може бути підключений до електричної мережі.

Загальна потужність при аварійному режимі складає 327 kVA. Для забезпечення надійної роботи аварійного дизель-генератору обираємо дизель-генератор більшої потужності: синхронний генератор безщіткового типу HYUNDAI HFC7-354-4 потужністю 687 kVA (550 kW), напругою 460 V, частотою 60 Hz.

Таблиця 3.1 – Режими роботи СЕЕС

Режими роботи судна	Споживана потужність	Генератори	
		В роботі	В резерві
Ходовий режим з реф. контейнерами	4940	2 основних	2 основних
Маневровий режим з реф. контейнерами	7884	3 основних	1 основний
Стоянка	2734	1 основний	3 основних
Аварійний	327	1 аварійний	4 основних

Таблиця 3.2 – Паспортні дані вибраних генераторів (частота 60 Гц)

Кількість	Генератор	Тип генератора	Полюси	Потужність, kW	Потужність, кВА	Частота обертання, об/хв	Напруга, В	Струм, А	Cos(φ)
4	Основний	HYUNDAI HSRJ7-805-10	10	3200	4000	720	6600	350	0,8
1	Аварійний	HYUNDAI HFC7-354-4	4	550	687	1800	450	861	0,8

Вибрані генератори є безщітковими з самозбудженням і самовентиляцією, забезпечені автоматичними регуляторами напруги, які дозволяють підтримувати напругу з точністю $\pm 1,5\%$ від номінального його значення, що задовільняє правилам Регістру.

3.2. Вибір акумуляторів та перетворювачів електроенергії

Тип акумуляторної батареї вибирають з урахуванням характеру навантаження і необхідної напруги приймачів електроенергії, а також призначення акумулятора (для основного або резервного живлення). Для отримання необхідної напруги допускається послідовне з'єднання будь-якого числа акумуляторів або батарей. Ємність батареї визначають за розрахунковою таблицею навантажень, в яку включено загальне число приймачів із зазначенням споживаної потужності в різних режимах.

Обираємо для аварійного живлення судна гелеві акумуляторні батареї, які мають ряд переваг в порівнянні з акумуляторами з технологією AGM при збереженні всіх їхніх переваг – герметичності, безобслуговування, практичній відсутності шкідливих газовиділень при роботі, великий термін служби. Гелеві акумулятори мають приблизно на 10-30% більший термін служби, ніж AGM акумулятори. Також вони менш болісно переносять глибокий розряд.

Обираємо акумуляторні батареї типу LP GL300 напругою 12 В, ємність якої становить 300 Ah.

Для створення 24 В акумуляторні батареї монтується послідовно по 2 батареї.

Також акумуляторні батареї типу LP GL300 використовуються для стартерного пуску аварійного дизель-генератора.

3.3 Вибір раціональної структури СЕЕС та розробка однолінійної схеми ГРЩ та АРЩ

Вибираємо СЕЕС трифазного змінного струму. Досвід проектування показує, що для великих транспортних суден, де потужність електростанції 200-4000 kW, потрібно застосовувати напругу мережі 440 В, 60 Гц. Для електростанцій потужністю від 4000 до 10000 kW необхідна напруга не менше 1000 В, а при потужності більше 10000 kW – напруга 6600 В. Для живлення сучасного навігаційного і аварійного устаткування необхідна змінна напруга 220 В і постійна 24 В.

До установки на даному судні приймаємо автономну СЕЕС, що має одну основну і одну аварійну електростанції. Як джерела електроенергії приймаємо до установки дизель-генераторні агрегати. Основні і резервні джерела електроенергії

розміщуємо в машинному відділенні, ГРЩ на окремій палубі, аварійний генератор і АРЩ на шлюпковій палубі. Кількість і потужність генераторних агрегатів ми визначили в попередньому підрозділі. Напругу судової силової мережі приймаємо 6600 В, частота 60 Гц. Це пов'язано з великою потужністю СЕЕС а також з великою протяжністю кабельних трас, які з'єднують ГРЩ з трансформаторами рефрижераторних контейнерів, які споживають велику частину виробленої електроенергії. Використання трансформаторів 6600/440 В для живлення рефрижераторних контейнерів дозволяє зробити гальванічну розв'язку розеток контейнерів та основної мережі.

Для живлення споживачів машинного відділення відносно невеликої потужності використовується напруга 440 В 60 Гц, яку отримують через понижувальний трансформатор 6600/420 В.

Згідно правилам Регістру розробляємо схему ГРЩ та АРЩ. ГРЩ складається з секції управління, генераторної, фідерної і стартової секцій.

Будуємо станцію з вище приведеними вимогами. В центрі знаходяться секції керування (панель синхронізації), де виконується розподіл електроенергії між генераторами, синхронізація, зупинка та інші операції. Далі в сторони від центру йдуть перша, друга, третя та четверта генераторні панелі. Там розташовані прилади управління і захисту генераторів.

За ними слідують 440 В фідерна і стартова панелі, від яких отримують живлення прилади МКВ, палубні механізми, майстерні, частина камбузного обладнання, а також трансформатори, живлячі 220 В фідерну панель. Від цієї панелі отримують живлення навігація, сигналізація і освітлення.

Від фідерних панелей АРЩ живляться основні споживачі, які забезпечують живучість судна під час аварії. Далі наведений список розподілу приймачів електроенергії по секціям ГРЩ та АРЩ.

Передача електроенергії від ГРЩ до споживачів відбувається за допомогою електричних кіл. На даному судні використовується фідерно-групова система розподілу електроенергії. Найбільш відповідні і потужні споживачі отримують живлення від ГРЩ, а не відповідальні від групових розподільних пристрій, які живляться від ГРЩ.

Від шин ГРЩ напругою 6600 В буде отримувати:

- головний агрегат підрулюючого пристрою;
- 2 трансформатори (Tr) 6600/450 В для секцій 440 В;

- 8 трансформаторів (Tr) 6600/440 В для секцій рефрижераторних контейнерів.

З секції 440 В ГРЩ (MSB) отримують живлення:

- насос змащувального масла ГД;
- насоси забортної води охолоджування ГД;
- насоси прісної води охолоджування ГД;
- насос охолодження зарубашкового простору ГД;
- насос прокачки циркуляційного масла ГД;
- компресори пускового повітря;
- пожежні насоси;
- баластно-осушувальні насоси;
- рульова машина;
- брашпилі якірні носові;
- швартовні лебідки;
- розподільний щит (РЩ) №1 вентилятори MB;
- розподільний щит (РЩ) №2 механізмів MB;
- розподільний щит (РЩ) №3 механізмів MB;
- розподільний щит (РЩ) №4 механізмів MB;
- розподільний щит (РЩ) № 5 паливних насосів;
- розподільний щит (РЩ) № 6 провізійних камер;
- розподільний щит (РЩ) № 7 допоміжного котла;
- розподільний щит (РЩ) №8 утиль-котла;
- розподільний щит (РЩ) №9 санітарних механізмів;
- розподільний щит (РЩ) №10 гідраліки люкового закриття;
- розподільний щит (РЩ) №11 майстерні;
- розподільний щит (РЩ) №12 вентиляції трюмів;
- розподільний щит (РЩ) №13 загальної вентиляції;
- розподільний щит (РЩ) №14 кондиціонера;
- розподільний щит (РЩ) №15 палубних механізмів;
- розподільний щит (РЩ) №16 камбуза.

З секції 220 В ГРЩ (MSB) через понижуючий трансформатор 440/220 отримують живлення:

- розподільний щит (РЩ) №17 зовнішнього освітлення;
- розподільний щит (РЩ) №18 загального освітлення;
- розподільний щит (РЩ) №19 освітлення MB;

- розподільний щит (РЩ) № 20 освітлення МВ;
- розподільний щит (РЩ) № 21 прожекторного освітлення;
- підігрівачі генератора;
- радіозв'язок, сигналізація.

Розподіл електроенергії від АРЩ (ESB) напругою 440 В та 220 В згідно з Правилами Регістру:

З секції 220 В отримують живлення:

- 1) аварійне освітлення;
- 2) навігаційні та сигнальні вогні;
- 3) навігаційне обладнання;
- 4) радіообладнання;
- 5) телефонний зв'язок;
- 6) сигналізація;
- 7) схеми автоматики систем.

Генераторні панелі (ГП) призначені для керування і контролю роботою генераторів. На цих панелях встановлені автоматичні повітряні трьохполюсні автомати для комутації головного струму. Автомати забезпечені максимальними розчеплювачами струму для захисту від перевантаження, котушкою відключення для дистанційного керування автоматом, реле зворотної потужності. На панелях установлені кнопки регулювання приводом серводвигуна для керування частотою і навантаженням генераторів, амперметри з перемикачами на 3 положення для контролю фазних струмів, вольтметри, частотоміри з додатковими пристроями, ватметри для контролю навантаження генераторів, амперметри і вольтметри постійного струму для контролю параметрів збудження, плата з запобіжниками для захисту контрольно-вимірювальної апаратури та апаратури керування. На цих панелях також установлені рукоятки автомата "гасіння поля".

Панель синхронізації призначена для керування і вмикання на паралельну роботу генераторів або відключення якогось із них. На цій панелі встановлений секційний трьохполюсний автоматичний вимикач із захистами, аналогічними генераторним. Також установлені: синхроноскоп, кнопки керування і лампи синхронізації генераторів, вимірювальний трансформатор напруги для роботи контрольної апаратури, по два вольтметра, частотоміра і ватметра з перемикачами на 3 положення для контролю параметрів працюючих генераторів. На панелі також встановлений мегомметр для контролю ізоляції в колі 6600 В.

Панель НПП призначена для живлення підрулюючого пристрою. Встановлено амперметр з перемикачами на три положення і сигнальні лампи про положення автомату.

Нижче приведений список споживачів, підключених до розподільних щитів:

Розподільчий щит РЩ-1, 440В:

- 1.1 Вентилятор №1,3,5 МВ;
- 1.2 Вентилятори сепараторів №1,2;
- 1.3 Вентилятори ГРЩ.

Розподільчий щит РЩ-2, 440В:

- 2.1. Компресор пускового повітря №1,2;
- 2.2. Охолоджуючий насос зabortної води ГД №1;
- 2.3. Паливо підкачуючий насос №1.

Розподільчий щит РЩ-3, 440В:

- 3.1. Охолоджуючий насос прісної води ГД високої температури;
- 3.2. Охолоджуючий насос прісної воді ГД низької температури;
- 3.3. Насос циркуляційної змазки ГД;
- 3.4. Насос змащування крейцкопфу ГД.

Розподільчий щит РЩ-4, 440В:

- 4.1. Насос змазки дейдвудного пристрою;
- 4.2. Живлячий насос важкого палива №1;
- 4.3. Допоміжний повітрянагнітач;
- 4.4. Баластний насос №1.

Розподільчий щит РЩ-5, 440В:

- 5.1. Перекачуючий насос мастила №1;
- 5.2. Насос перекачки важкого палива №1;
- 5.3. Насос системи вирівнювання крену;
- 5.4. Компресор суднових потреб №2;
- 5.5. Живлячий насос важкого палива №2.

Розподільчий щит РЩ-6, 440В:

- 6.1. Вентиляція МВ №1,2;
- 6.2. Осушувальний насос;
- 6.3. Насос перекачки легкого палива №1;
- 6.4. Провізійне реф. устаткування.

Розподільчий щит РЩ-7, 440В:

- 7.1. Вентилятор котла;

7.2. Насос легкого палива котла №1;

7.3. Насос важкого палива котла №1.

Розподільчий щит РЩ-8, 440В:

8.1. Охолоджуючий насос зabortної води ГД №2;

8.2. Паливопідкачуочий насос №2;

8.3. Охолоджуючий насос прісної воді ГД високої температури №2;

8.4. Насос циркуляції котла;

8.5. Насос підкачки палива котла №1.

Розподільчий щит РЩ-9, 440В:

9.1. Охолоджуючий насос прісної воді ГД низької температури №2;

9.2. Насос циркуляційної змазки ГД №2;

9.3. Насос змащування крейцкопфу ГД №2;

9.4. Насос змазки дейдвудного пристрою №2;

9.5. Вакуумна установка №1;

9.6. Насос гідрофора №1;

9.7. Насос гідрофора №2.

Розподільчий щит РЩ-10, 440В:

10.1. Допоміжний повітря нагнітач №2;

10.2. Насос циркуляції котла №2;

10.3. Насос підкачки палива котла №2;

10.4. Насос гіdraulіки люкового закриття.

Розподільчий щит РЩ-11, 440В:

11.1. Маслоперекачуючий насос №2;

11.2. Насос перекачки важкого палива;

11.3. Насос системи вирівнювання крену №2;

11.4. Устаткування майстерні.

Розподільчий щит РЩ-12, 440В:

12.1. Вентилятор трюму №1,2;

12.2. Вентилятор трюму №3,4;

12.3. Вентилятор трюму № 4, 5.

Розподільчий щит РЩ-13, 440В:

13.1. Вакуумна установка №4;

13.2. Трюмний пожежний насос;

13.3. Вентиляція МВ №3;

13.4. Насос важкого палива котла №2.

Розподільчий щит РЩ-14, 440В:

- 14.1. Головний кондиціонер надбудови;
- 14.2. Кондиціонер ЦПК.

Розподільчий щит РЩ-15, 440В:

- 15.1. Провізійний кран;
- 15.2. Трапова лебідка №1;
- 15.3. Трапова лебідка №2;
- 15.4. Привод лебідки рятувальної шлюпки (катер);
- 15.5. Привод лебідки рятувальної шлюпки.

Розподільчий щит РЩ-16, 440В:

- 16.1. Електрообладнання камбузу;
- 16.2. Пральні машини.

Розподільчий щит РЩ-17, 220В:

- 17.1. Освітлення надбудови;
- 17.2. Освітлення палуб;
- 17.3. Освітлення лашингу.

Розподільчий щит РЩ-18, 220В:

- 18.1. Освітлення трюмів 3,4;
- 18.2. Освітлення трюмів 6,8;
- 18.3. Освітлення проходів.

Розподільчий щит РЩ-19, 220В:

- 19.1. Освітлення 2-ї нижньої палуби;
- 19.2. Освітлення кладовок.

Розподільчий щит РЩ-20, 220В:

- 20.1 Освітлення МВ;
- 20.2. Машинні розетки.

Розподільчий щит РЩ-21, 220В:

- 21.1. Зовнішнє прожекторне освітлення;
- 21.2. Палубні розетки.

Особливо відповідальні споживачі отримують живлення від АРЩ, при цьому зв'язок АРЩ з ГРЩ забезпечується автоматичними апаратами, які відключають АРЩ від ГРЩ при знеструмленні ГРЩ і підключаючими в даному режимі АРЩ до фідера ГРЩ. Схемою передбачене також живлення споживачів від берегових джерел електроенергії через щит живлення з берега (ЩЖБ).

Від АРЩ отримують живлення:

- 1) Аварійна рульова машина;
- 2) Аварійний пожежний насос;
- 3) Аварійний компресор пускового повітря;
- 4) Осушувальний насос;
- 5) Аварійне освітлення;
- 6) Навігаційні та сигнальні вогні;
- 7) Штурманське обладнання;
- 8) Радіозв'язок, сигналізація;
- 9) Система зв'язку «INNMARSAT-C».

Розробка мереж розподілення електроенергії СЕЕС проводиться після вибору генераторів і розміщенню всіх приймачів електричної енергії, які мають підключитися до електростанції. При цьому перш за все визначаються приймачі електроенергії, які будуть отримувати живлення безпосередньо від ГРЩ.

3.4. Розрахунок струмів короткого замикання, вибір генераторних автоматів

Для захисту СЕЕС і її елементів від коротких замикань і перевантажень використовуються автоматичні вимикачі (автомати) і запобіжники.

На підставі номінального струму та напруги генераторів вибираємо високовольтні автоматичні вимикачі фірми Siemens типу SION 3AE1082.

Автомат має наступні характеристики:

- номінальний струм автомата - 630 A;
- номінальна напруга - 7,2 kV;
- ударний струм -104 kA;
- діюче значення – 40 kA;
- межі уставок на струм спрацювання -(2:8) I_h розчіплювача;
- уставка на час спрацювання – 0,63 с;
- термічна стійкість - $3000 \cdot 10^6 \times A^2 c$.

Для аварійного генератора як генераторний автомат вибираємо автоматичний вимикач Siemens типу SION 3AE1084 з номінальним струмом автомата 1250 A, номінальним струмом комбінованого роз'єднувача 1600 A і гранично допустимим ударним струмом КЗ 50 kA.

Розподіл електричної енергії на судні здійснюється за допомогою силової мережі, підключеної до ГРЩ (MSB), аварійної мережі, підключеної до АРЩ (ESB), і мереж приймачів електроенергії, підключених до розподільного щита.



Рисунок 3.8 – Генераторний автомат SION 3AE1082-1

Струмо-часова характеристика автомата, побудована на підставі віртуальної моделі, приведена на рисунку 3.9.

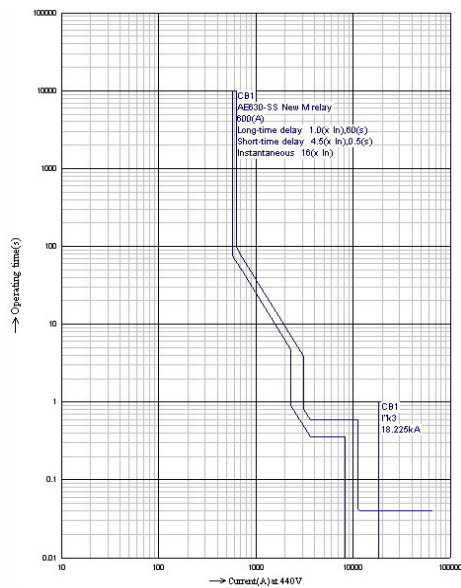


Рисунок 3.9 – Струмова часова діаграма

На судні застосована фідерно-групова система розподілу електроенергії. В цьому випадку безпосередньо від ГРЩ (MSB) або АРЩ (ESB) прокладені самостійні лінії живлення (фідери) до всіх відповідальних споживачів і груповим

РЩ. Групові РЩ здійснюють розподіл електроенергії серед групи однакових або близьких за призначенням споживачів.

Основні траси кабелів прокладаються по бортах судна з переходом по перегородках до щитів і приймачів електроенергії. На судні застосовуємо приховану проводку кабелів в спеціальних каналах, які забезпечують огляд кабельних трас.

Передача електроенергії споживачам здійснюється по трьохпроводній системі з ізольованою нейтральною, оскільки вона має велику електробезпеку. З'єднання фази на корпус судна не є коротким замиканням.

Для передачі енергії споживачам вибираємо трижильні кабелі японського виробництва стандарту JIS C3410, марки FA-TPYCY.

Суднові електричні кабелі типу FA-TPYCY - це негорючий кабель з луженими мідними скрученими багатодротяними жилами з ізоляцією EPR (етилен-пропилен), внутрішньою оболонкою з PVC (полівінілхлорид), оплетений оцинкованим сталевим дротом і зовнішньою захисною оболонкою з PVC.

Технічні дані:

- число жил: від $7 \times 1,7 \text{ мм}^2$ до $37 \times 2,52 \text{ мм}^2$;
- номінальний перстин жили: від 16 до 150 мм^2 ;
- номінальна напруга: 6/10 кВ;
- максимальна температура: 90°C .

Кабель FA-TPYCY застосовується для передачі електроенергії в суднових силових ланцюгах напругою 6/10 кВ при закріплений прокладці.

Зробимо вибір кабелів, що відходять від ГРЩ. Переріз кабелів вибираємо по струмовому навантаженню, виходячи з роботи в найбільш важкому режимі.

Для вибору кабелю, що з'єднує генератор трифазного змінного струму з ГРЩ, розрахунковий струм визначаємо по формулі:

$$I_{\text{зн}} = \frac{P_{\text{зн}}}{\sqrt{3} \cdot U_{\text{зн}} \cdot \cos \phi} = \frac{3200000}{\sqrt{3} \cdot 6600 \cdot 0,8} = 350 \text{ А} \quad (3.15)$$

Для кабелів, що з'єднують окремі споживачі з РЩ:

$$I_{\text{зн}} = \frac{P_{\text{зн}} \cdot k_3}{\sqrt{3} \cdot U_{\text{зн}} \cdot \eta \cos \phi}; \quad (3.16)$$

де k_3 - коефіцієнт завантаження споживача.

Розрахунковий струм кабелю розподільного щита, який живить групу споживачів, знаходимо по формулі:

$$I_{\Sigma} = k_0 \sqrt{\Sigma I_a^2 + \Sigma I_r^2} \quad (3.17)$$

$\Sigma I_a = I_{a1} + I_{a2} + \dots + I_{an}$ - сумарний активний струм;

$\Sigma I_r = I_{r1} + I_{r2} + \dots + I_{rn}$ - сумарний реактивний струм.

Після визначення перерізу кабелю зробимо перевірку його на втрату напруги, при цьому керуємося вимогами Регістру, згідно з якими втрата напруги ΔU не повинна перевищувати для силових кабелів - 7 %; для мереж освітлення - 5%; низьковольтних мереж (36 В) -10 %.

Для трифазної лінії при визначенні втрати ΔU напруги користуємося формуллою:

$$\Delta U = \frac{\sqrt{3}IL(r \cos \phi + x \sin \phi)}{U} \cdot 100\% ; \quad (3.18)$$

де L - довжина кабелю;

r , x - активний та індуктивний опір, Ом/км.

Робочий струм кабелю генератора приймаємо рівним номінальному струму генераторного автомата HVF1061 рівним 630 А.

Вибираємо чотири трижильних кабелі марки FA-TPYCY-150(255 А на кабель) з загальним перетином жил 600 mm^2 .

Кабелі з'єднуємо паралельно. Робимо перевірку на втрату напруги:

$L = 410\text{m} = 0,41 \text{ km}$; $I = I_{ra} = 630 \text{ A}$; $\cos \phi = 0.8$; $\sin \phi = 0.6$; $r = 0,126 \text{ Ом/км}$; $x = 0,0922 \text{ Ом/км}$;

$$\Delta U = \frac{\sqrt{3}IL(r \cos \phi + x \sin \phi)}{U} \cdot 100 = \frac{\sqrt{3} \cdot 630 \cdot 0,41 \cdot (0,126 \cdot 0,8 + 0,0922 \cdot 0,6)}{6600} \cdot 100 = 1,058 \%$$

Втрата напруги генератора лежить в межах допустимих норм, тобто менше 7%.

Розрахунок інших кабелів проводимо аналогічно.

Після вибору кабелів зробимо вибір автоматичних вимикачів споживачів, які одержують живлення від ГРЩ. При цьому необхідно дотримуватися наступних двох умов:

$$U_n \geq U_{pa}, \quad I_n \geq I_{pa} \quad (3.19)$$

де U_n , U_{pa} , I_n , I_{pa} - номінальні та робочі для даної схеми включення значення напруги та струму.

Автоматичні вимикачі вибираємо по струмах, які розраховуємо по формулі:

$$I_{ab} \geq k_0 \Sigma I_i + kI_n \quad (3.20)$$

Причому коефіцієнт завантаження споживачів - K_3 приймаємо рівним одиниці: $K_3 = 1$.

Далі на підставі вибору живлячих кабелів і розрахунків струмів короткого замикання виконаємо перевірку вибраних автоматів на відповідність режимам роботи.

Розрахунок виконується по методиці визначення періодичної складової струму короткого замикання в залежності від усього опору кола короткого замикання по кривим затухання періодичної складової струму короткого замикання. Криві затухання періодичної складової струму короткого замикання побудовані по середнім параметрам генераторів з самозбудженням, приведені на рис. 3.5.

Початкові дані для розрахунку:

4 генератори G1, G2, G3, G4:

$$S_{H1}=4000 \text{ kVA}; U_H=6600 \text{ V}; I_H=350 \text{ A}; x_d'' = 0,117 \text{ Ohm}; r_F=0,0878 \text{ Ohm};$$

$$S_{H2}=4000 \text{ kVA}; U_H=6600 \text{ V}; I_H=350 \text{ A}; x_d'' = 0,117 \text{ Ohm}; r_F=0,0878 \text{ Ohm};$$

$$S_{H3}=4000 \text{ kVA}; U_H=6600 \text{ V}; I_H=350 \text{ A}; x_d'' = 0,117 \text{ Ohm}; r_F=0,0878 \text{ Ohm};$$

$$S_{H4}=4000 \text{ kVA}; U_H=6600 \text{ V}; I_H=350 \text{ A}; x_d'' = 0,117 \text{ Ohm}; r_F=0,0878 \text{ Ohm}.$$

Складаємо розрахункову схему (рис.3.10) для визначення струму КЗ при короткому замиканні в точці К1. Базисну потужність приймаємо рівній сумі потужностей генераторів, базисна напруга - рівним номінальній напрузі генераторів (на шинах ГРЩ), тобто:

$$S_b = 4 \times 4000 = 16000 \text{ kVA}; U_b = 6600 \text{ V};$$

$$I_b = 16000 / (\sqrt{3} \cdot 6600) = 1400 \text{ A}.$$

Визначаємо значення опорів обмоток статора генераторів G1-G4, що входять в схему:

Активні:

$$r_1 = r_2 = r_3 = r_4 = r_F \cdot \frac{S_\delta \cdot 1000}{U_b^2} = 0.0878 \cdot \frac{16000 \cdot 1000}{6600 \cdot 6600} = 0.041, \text{ Ohm};$$

Реактивні:

$$x_1 = x_2 = x_3 = x_4 = x_d'' \cdot \frac{S_\delta}{S_H} = 0.117 \cdot \frac{16000}{4000} = 0.468, \text{ Ohm};$$

Опори кабелю FA-TPYCY-150 (3x150) складають: активне $R=0.126 \text{ Ohm/km}$, індуктивне $X=0.0922 \text{ Ohm/km}$. Опори 4-х паралельно прокладених кабелів завдовжки 10 m (приймається точка короткого замикання на відстані 10 m від ГРЩ) рівні:

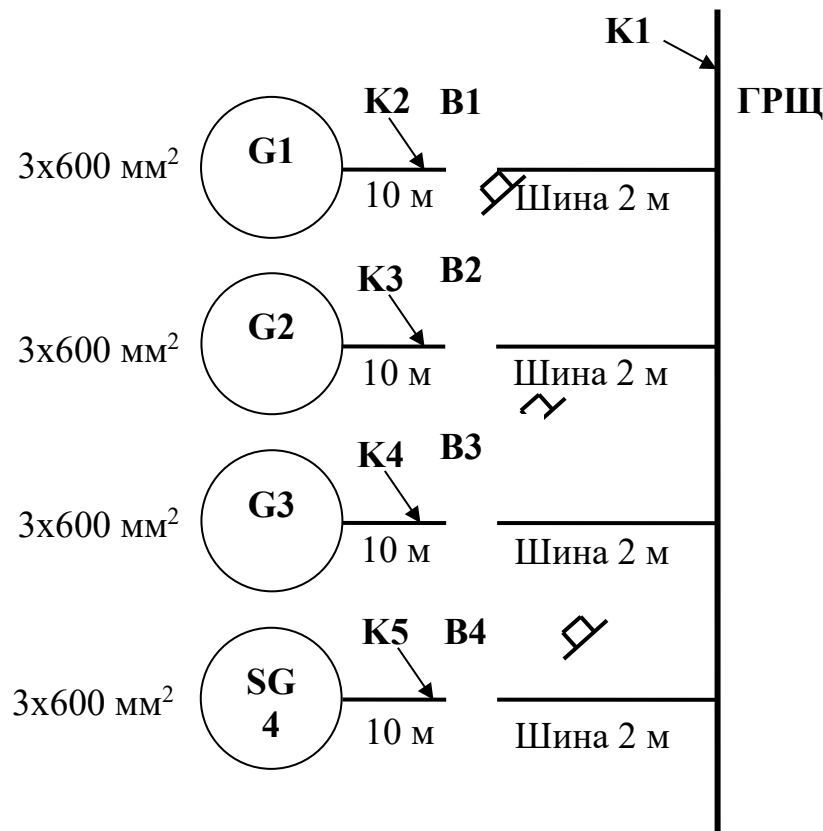


Рисунок 3.10 – Розрахунок струмів короткого замикання генераторів

$$\text{активний: } r_k = \frac{0.126}{1000} \cdot 10 \cdot \frac{1}{4} = 3.13 \cdot 10^{-4}, \text{ Ohm};$$

$$\text{індуктивний: } x_k = \frac{0.0922}{1000} \cdot 10 \cdot \frac{1}{4} = 2.295 \cdot 10^{-4}, \text{ Ohm};$$

Активний опір вимикачів В1, В2, В3, В4 ряду контактів і шин ГРЩ приймаємо рівним 0.0002 Ohm, індуктивне 0.0001 Ohm.

Тоді загальний опір кабелю і шин буде:

$$r_s = (3.13 \cdot 10^{-4} + 2 \cdot 10^{-4}) \frac{16000 \cdot 1000}{6600 \cdot 6600} = 0.0002386 \text{ Ohm};$$

$$x_s = (2.295 \cdot 10^{-4} + 10^{-4}) \frac{16000 \cdot 1000}{6600 \cdot 6600} = 0.0001615 \text{ Ohm};$$

Загальний опір чотирьох однакових генераторних променів

$$r_6 = r_1 + r_s = 0.032 + 0.0002386 = 0.0322 \text{ Ohm};$$

$$x_6 = x_1 + x_s = 0.459 + 0.0001615 = 0.4592 \text{ Ohm};$$

Для визначення еквівалентного опору скористаємося комплексною формою їх запису:

$$Z_6=r_6+jx_6=0.0322+j\cdot 0.4592 \text{ Ohm};$$

$$Z_7=r_7+jx_7=0.0322+j\cdot 0.4592 \text{ Ohm};$$

$$Z_8=r_8+jx_8=0.0322+j\cdot 0.4592 \text{ Ohm};$$

$$Z_9=r_9+jx_9=0.0322+j\cdot 0.4592 \text{ Ohm};$$

$$Z_{10}=\frac{Z_6Z_7Z_8Z_9}{Z_7Z_8Z_9+Z_6Z_8Z_9+Z_6Z_7Z_9+Z_6Z_7Z_8}=8.45\cdot 10^{-3} + 0.121j \text{ Ohm};$$

Звільнимося від комплексного числа в знаменнику множенням дробу на зв'язаний комплекс знаменника:

$$r_{10}=0.008453 \text{ Ohm};$$

$$x_{10}=0.121 \text{ Ohm};$$

$$Z_{10}=\sqrt{0.00845^2 + 0.121^2} = 0.121 \text{ Ohm}.$$

Отримані опори r_{10} , x_{10} , Z_{10} є результуючими при короткому замиканні в точці K_1 .

$$I_0=8.12; I_{0.01}=7.23; I_{0.25}=4.22; I_\infty=4.15$$

Відношенню $x_{10}/r_{10}=121/0.008453=14.314$ відповідає ударний коефіцієнт $K_{уд}=1.8$ (рис. 3.12):

$$i_{y\partial.e}=\sqrt{2}\cdot I_\delta \cdot [I_{0.01}+I_0 \cdot (K_{y\partial}-1)] \quad (3.21)$$

$$i_{уд.г}=\sqrt{2}\cdot 1400 \cdot (7.23+8.12 \cdot (1.8-1))=34232 \text{ A.}$$

При короткому замиканні в точці K_1 , $\Delta U=0$. Тоді додатковий струм, створюваний електродвигунами в точці КЗ буде: $I_d=(E_d-\Delta U)/Z_d$, де Z_d – опір еквівалентного двигуна. Приймаємо значення потужності еквівалентного двигуна 75% від номінальної потужності генераторів, тоді:

$$Z_{\partial.}=\frac{1}{5}\cdot \frac{S_\delta}{S_h}=0.2 \cdot \frac{S_\delta}{0.75 \cdot S_\delta}=0.266 \quad (3.22)$$

$$I_d=(0.9 - 0)/0.266=3.38;$$

Струм підживлення двигунів:

$$i_{удд}=\sqrt{2}\cdot I_\delta \cdot I_d=\sqrt{2}\cdot 1400 \cdot 3.38=8455 \text{ A};$$

Ударний струм в точці K_1 буде рівний сумі:

$$i_{уд}=i_{удд}+i_{уд.г}=8455+34232=42687 \text{ A.}$$

По одержаному струму КЗ в точці К₁ повинні бути перевірені на динамічну стійкість збірні шини ГРЩ.

Для перевірки генераторних автоматичних вимикачів В1, В2, В3 і В4 необхідно визначити струми КЗ в точках К2, К3, К4, К4. Орієнтовно ударні струми КЗ в точках рівні:

$$\text{К2: } i_{y\text{дГ}} = i_{y\delta} \cdot \frac{S_\Gamma}{S_\delta} + i_{y\delta\delta} = 42687 \frac{4000}{16000} + 8455 = 19126 \text{ , A;}$$

$$\text{К3: } i_{y\text{дГ}} = i_{y\delta} \cdot \frac{S_\Gamma}{S_\delta} + i_{y\delta\delta} = 42687 \frac{4000}{16000} + 8455 = 19126 \text{ , A;}$$

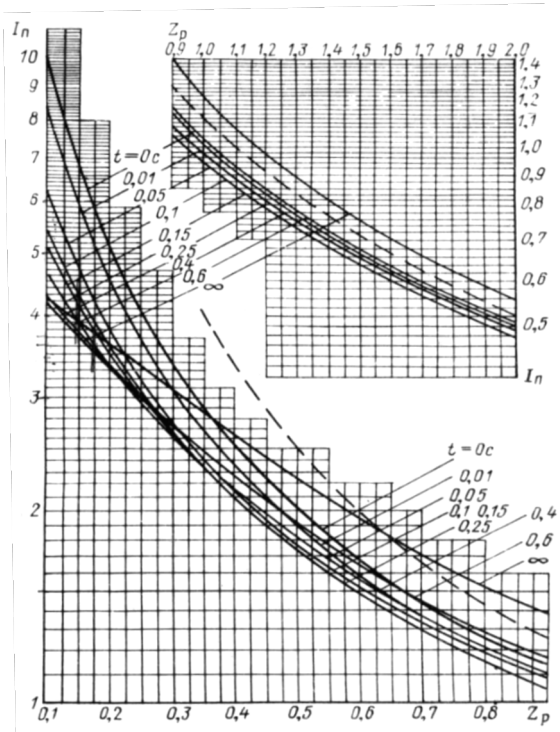


Рисунок 3.11 – Розрахункові криві для визначення періодичної складової струму КЗ СЕС залежно від результуючого опору кола КЗ і часу

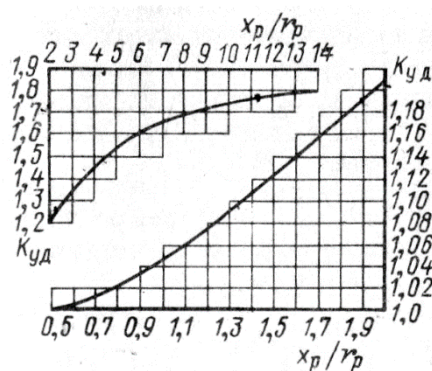


Рисунок 3.12 – Залежність ударного коефіцієнта K_{yd} відношенням x_{10}/r_{10} .

$$\text{К4: } i_{y\vartheta} = i_{y\vartheta} \cdot \frac{S_\Gamma}{S_\delta} + i_{y\vartheta\vartheta} = 42687 \frac{4000}{16000} + 8455 = 19126 \text{ A;}$$

$$\text{К5: } i_{y\vartheta} = i_{y\vartheta} \cdot \frac{S_\Gamma}{S_\delta} + i_{y\vartheta\vartheta} = 42687 \frac{4000}{16000} + 8455 = 19126 \text{ A;}$$

Ці струми більші струмів динамічної стійкості вимикачів В1, В2, В3, В4.

Робочий струм для вибору перетину шин розподільчих пристройв визначають по номінальній тривалій потужності, а для ГРЩ - з розрахунку половинної потужності генераторів електростанції:

$$I_{\text{позр}} = \frac{\sum P_i}{2 \cdot \sqrt{3} \cdot U_H \cdot \cos \varphi} \quad (3.23)$$

$$I_{\text{позр}} = \frac{4 \cdot 4000}{2 \cdot \sqrt{3} \cdot 6600 \cdot 0.8} \cdot 1000 = 1108 \text{ A}$$

Динамічну стійкість шин перевіряють у всіх випадках. Перевірку шин на термічну стійкість проводять тільки для тих щитів, які відключаються при КЗ, з витримкою часу більше 0.5 s. Допустиму напругу для мідних шин при динамічних навантаженнях приймають рівним 14000 N/cm², а максимально допустиму (короткочасну) температуру - 300° С.

Вибираємо з запасом дві мідні шини перетином 100×8 (загальний перетин 100×16) mm з робочим струмом 2240 A кожна, прокладені в паралель. Встановлюємо шини на відстані 100 mm.

$$h=100 \text{ mm} = 10 \text{ cm}, b=16 \text{ mm} = 1.6 \text{ cm}, a=100 \text{ mm} = 10 \text{ cm}.$$

Визначаємо значення виразів:

$$\frac{a-b}{h+b} = \frac{100-16}{100+16} = 0.724, \quad \frac{b}{h} = \frac{16}{100} = 0.16$$

На підставі кривих рисунку 3.6 визначаємо значення коефіцієнта форми K_Ф=0.84.

Момент опору шин прямокутного перетину визначаємо по формулі:

$$W = \frac{b^2 \cdot h}{6} = \frac{1.6^2 \cdot 10}{6} = 4.762 \text{ cm}^3 \quad (3.24)$$

Значення сили, прикладеної до одиниці довжини шини при короткому замиканні (приймаємо K=1.67 для випадку трифазного КЗ):

$$f = K \cdot K_F \cdot i_{kz}^2 \cdot \frac{1}{a} \cdot 10^{-7} = 1.67 \cdot 0.84 \cdot 42687^2 \cdot \frac{1}{10} \cdot 10^{-7} = 25.56 \text{ N/cm} \quad (3.25)$$

Найбільше допустиме значення прольоту між опорами шин:

$$l_{\max} = \sqrt{\frac{10 \cdot \sigma_{don} \cdot W}{f}} = \sqrt{\frac{10 \cdot 14000 \cdot 4.762}{25.26}} = 161 \text{ cm} \quad (3.26)$$

Приймаємо 50 см.

При довжині секції ГРЩ 100 см шини повинні бути закріплені у трьох точках в кожній секції.

Згідно кривим рисунок 3.14 початковій (номінальній) температурі нагріву мідних шин, рівної 90°C , відповідає значення $A_h=1.64 \cdot 10^4$.

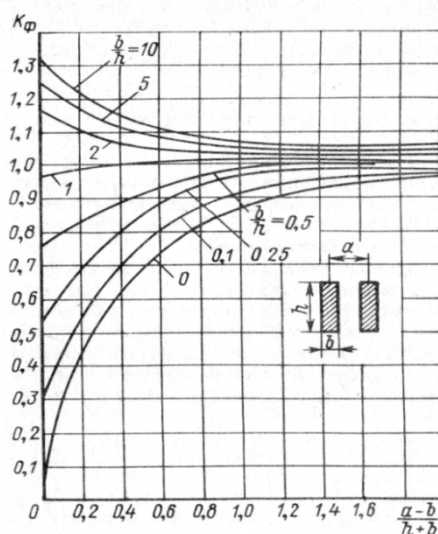


Рисунок 3.13 – Криві для визначення коефіцієнта форми

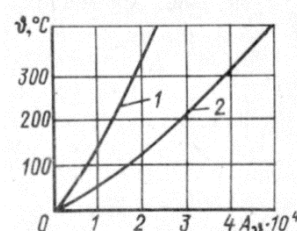


Рисунок 3.14 – Криві для визначення температури нагрівання струмопроводів
1 - для алюмінію, 2 - для міді.

Значення параметра A_k , що характеризує кінцеву температуру нагрівання шин буде:

$$A_k = A_h + \frac{I^2}{S^2} \cdot t_\phi \quad (3.27)$$

де S – площа поперечного перетину шин, мм^2 , t_ϕ – фіктивний час КЗ приймаємо $t_\phi=2 \cdot 1.0=2 \text{ s}$.

$$A_k = 1.64 \cdot 10^4 + \frac{42687^2}{(100 \cdot 16)^2} \cdot 2 = 1.782 \cdot 10^4$$

Згідно кривим на рисунку 3.7 значенню $A_h=1.782 \cdot 10^4$ відповідає температура приблизно рівна 100°C , що менше 300°C . У зв'язку з цим вважаємо? що шини задовольняють термічній стійкості з великим запасом, оскільки здатні витримати ударний струм КЗ з витримкою більше 2-х секунд.

3.5 Вибір системи збудження синхронних генераторів

Для високовольтних безщіткових генераторів HYUNDAI HSRJ7-805-10 з номінальною напругою 6600 В виберемо систему збудження Basler Electric. Пристрій збудження і тиристорний регулятор напруги складають систему збудження DECS-300.

DECS-300 є системою управління збудженням, використовуваної для управління вихідною напругою, реактивною потужністю або коефіцієнтом потужності синхронного генератора шляхом зміни або управління величиною збудження постійним струмом, що додається до основного полю або полю збудження генератора. DECS300 придатна для машин практично будь-якої потужності.

Вхідна потужність або від мережі змінного струму або постійного струму станції забезпечує робочу напругу для DECS-300. DECS-300 вимірює напругу генератора і струму через напруги і трансформаторів струму. Поле напруги і струм вимірюється за допомогою модуля ізоляції і перетворюються в аналогові сигнали напруги для DECS-300.

DECS-300 є контролером збудження з мікропроцесорним управлінням. Вона виробляє керуючі сигнали для контролю збудження (виходу) зовнішнього силового моста. DECS-300 призначена для роботи з силовими мостами SSE і SSEN від компанії Basler Electric, але вона буде також добре працювати з будь-яким силовим мостом, придатним для використання на синхронному генераторі / моторі, який має ланцюг збудження, здатну сприймати сигнали від DECS-300 . DECS-300 є системою всебічного управління збудженням, реалізованої в одному корпусі, монтується в 19-дюймовому стояку. Вона надає всі функціональні можливості, необхідні для обмеження, управління і захисту генератора при роботі машини за межами її можливостей.

DECS-300 може контролювати силові мости, які мають поточні можливості різних вихідних в діапазоні від 20 до 5000 ампер постійного струму при номінальному рівні напруги від 32 до 375 В постійного струму. Ці силові мости можуть бути частково під контролем і повністю контролюється. Повний керовані мости забезпечують більш швидке розбудження поля генератора або збудливим, щоб отримати швидше, навантаження с, короткочасне відновлення.

Модуль ізоляції (перетворювач) вимірює напругу збудження і струм і розвиває аналогові напруги для DECS-300. Він також ізоляє DECS-300 з поля. Ці аналогові сигнали напруги прикладаються до DECS-300 через кабель, підключений між двома з'єднувачами (P1 на DECS-300 і J1 на модуль ізоляції). Робоча напруга для чутливих ланцюгів в модулі ізоляції походить від DECS-300 через той же кабель.

Сучасна конструкція DECS-300 дозволяє пасивного режиму управління всередині блоку простежувати активний режим, забезпечуючи м'яку передачу управління між режимами. Програмне забезпечення здійснює також зв'язок між блоками, забезпечуючи автоматичне супровід і передачу управління між блоками DECS-300. Система може також зв'язуватися з ПК через порт RS-232 передній панелі для місцевого програмування і вимірювання, а також взаємодіяти через протокол ModbusTM заднього порту RS-485 для зв'язку на відстань до 4000 футів від блоку DECS-300. Ця система має всі властивості, функціональні можливості, гнучкість і можливість програмування, які характерні для сучасних пристройів з мікропрограмним управлінням.

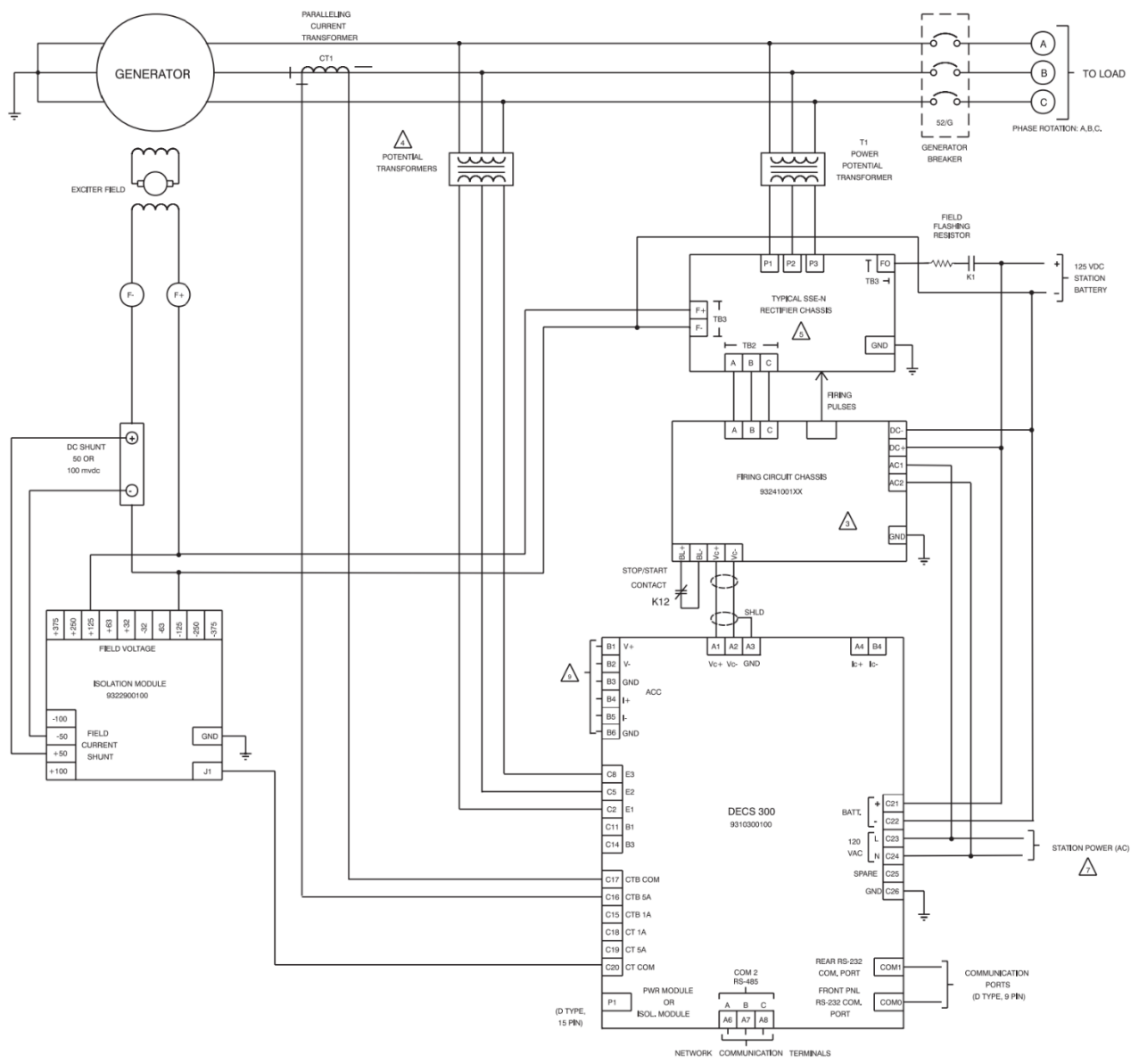
Кожен DECS-300 має вбудований над / недозбудження обмежувачі. Обмежувачі перезбудження присутні як для он-лайн так і офф-лайн рівнів збудження. Ця функція забезпечує максимальний захист перезбудження при наявності різної настройки для роботи в автономному режимі. Під час роботи в автономному режимі, більш низькі налаштування обмежувача повинні належним чином забезпечити захист генератора.

Безщітковий синхронний генератор (БСГ) складається з генератора та збудника. Роторна обмотка збудження генератора живиться від роторної трифазної обмотки збудника через трифазний випрямний міст, який обертається. Стационарна статорна обмотка збудження збудника у свою чергу живиться від статичної системи збудження типу DECS-300.

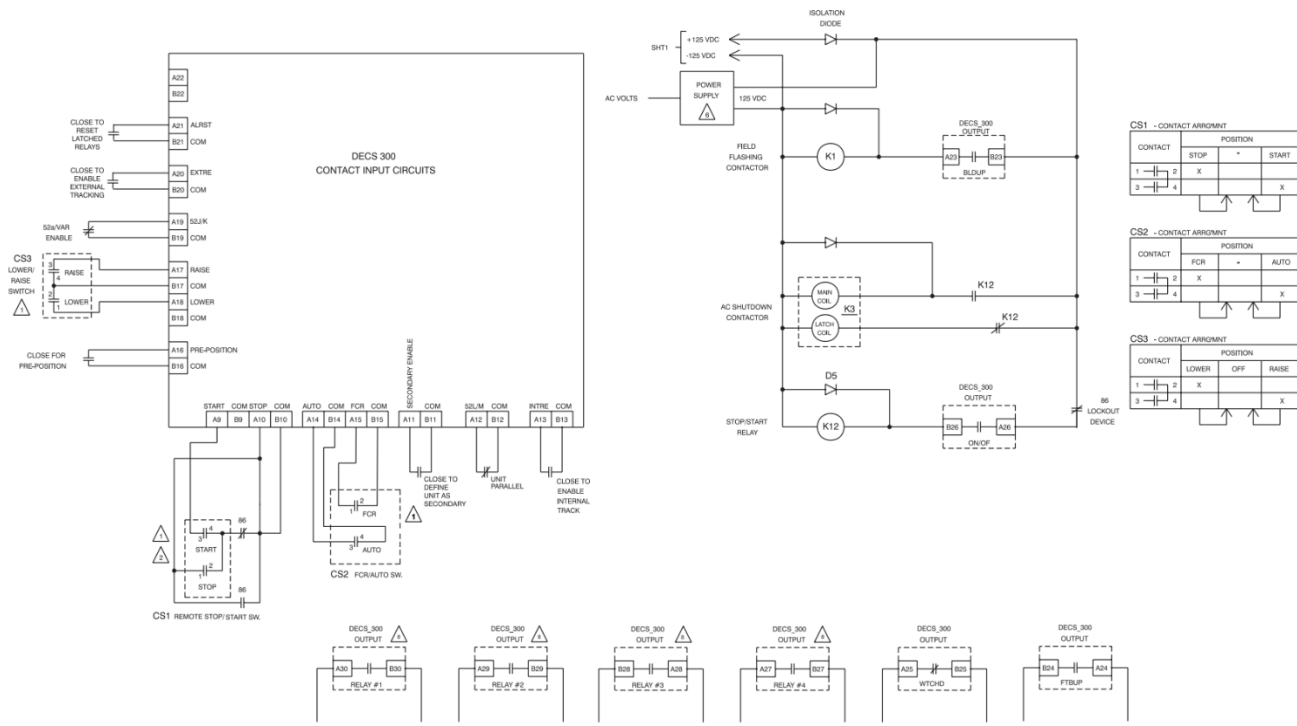
Принципова схема БСГ з системою збудження Basler Electric типу DECS-300 (рис. 3.15) .

Основна відмінність від класичної схеми для низьковольтних генераторів полягає у тому, що на статорі генератора розміщується додаткова низьковольтна обмотка для живлення контурів збудження. Вся система збудження повністю ізольована від силового контуру за допомогою трансформаторів струму та напруги.

Коли БСГ працює, результуюче магнітне поле індукує напругу в обмотці статора генератора. Енергія, яка генерується в цій обмотці, передається до обмотки збудження збудника завдяки тиристору, проходячи через систему збудження. Схема, яка створює збудження, утворює замкнутий контур управління шунтовим пристроєм та імпульсно-фазове управління тиристором.



a)



6)

Рисунок 3.15 – Принципова схема з'єднань системи збудження Basler Electric типу DECS-300 ланцюгів змінного струму (а) та постійного струму (б)

Властивості

- Мікропроцесорне управління
- Зчитування істинного середньоквадратичного діючого значення (RMS), одно- та трифазного
- Керуючі виходи: аналогові виходи 4-20 мА, 0-20 В пост. струму або ± 10 В пост. Струму
 - Точність регулювання напруги: 0,25%
 - Налаштування з передньої панелі HMI (інтерфейсу «людина-машина») або з персонального комп'ютера (ПК) за допомогою безкоштовного настроювального програмного забезпечення під операційною системою Windows
 - Вибір 40 варіантів стандартної стабільності
 - Вибір стабільності, що настроюється користувачем, з двома групами налаштувань ПД-регулювання
 - Компенсація паралельності
 - Компенсація падіння в лині
 - Компенсація зниженої частоти або обмежувач відносини В / Гц
 - Наростання плавного пуску

- Режим регулювання струму збудження (Ручний режим)
- Автоматичний супровід між робочими режимами і між блоками DECS

300

- Автоматична передача управління резервному блоку DECS-300
- Дистанційне керування заданими значеннями через:

- контактні входи - пропорційне керування через ± 10 В пост. струму або 4-

20 мА

- зв'язкові входи RS-232 (ASCII) або RS-485 (ModbusTM)
- Обмежувач мінімального збудження (внутрішньо генерований або

настроюється

- Обмежувачі максимального збудження при роботі в оперативному і автономному режимах

- Обмежувач струму статора
- Контролери реактивної потужності і коефіцієнта потужності
- Запис послідовності подій
- Узгодження напруги

ТЕХНІЧНІ ХАРАКТЕРИСТИКИ

Регулювання напруги

Регулювання напруги дорівнює $\pm 0,25\%$ понад діапазону навантаження при номінальному коефіцієнти потужності і постійній частоті генератора. Стабільність при стійкому стані дорівнює $\pm 0,1\%$ при постійному навантаженні і частоті генератора.

DECS-300 регулює чинне значення напруги генератора в межах 0,25% при відсутності навантаження і при повному навантаженні. При цьому використовуються алгоритми цифрової обробки сигналу і точного регулювання, розроблені компанією Basler Electric.

Підйом напруги при плавному пуску

Перерегулювання напруги генератора, якщо його не контролювати, може бути небезпечним для системи ізоляції генератора. DECS-300 має властивість плавного запуску з налаштуванням, яка встановлюється користувачем, для управління допустимою швидкістю зростання напруги генератора. Це

перешкоджає перевищення напругою генератора номінальних рівнів напруги під час запуску системи генератора.

Вихідні сигнали

DECS-300 посилає неізольований вихідний сигнал 4-20 мА, 0-10 В пост. струму або ± 10 В пост. струму в схеми збудження або управління зовнішніх каскадів посилення потужності. Постійний струм від цих каскадів забезпечує поле збудження для основного генератора або збудника. DECS-300 може керувати практично будь-яким мостом, здатним сприймати такі сигнали, тобто придатний для використання з синхронними генераторами / моторами.

Компенсація паралельності

DECS-300 має засоби для паралельного з'єднання двох і більше генераторів, використовуючи компенсацію реактивного нахилу або реактивного перепаду на додаток до зовнішнього трансформаторів струму з вторинними струмами 1 або 5 А змін. струму. Номінальна потужність токового входу не перевищує 1 ВА. Така мала навантаження означає, що можуть використовуватися існуючі вимірювальні трансформатори струму і не потрібно спеціальних трансформаторів струму.

Стабільність

DECS-300 використовує пропорційне (P), інтегральне (I) і похідне (D) управління стабільністю. DECS-300 має 40 заздалегідь запрограмованих налаштувань стабільності (ПД) - пропорційно-інтегральнодіфференціального регулювання) для основного поля (20 налаштувань) і для поля збудника (20 налаштувань). Це означає, що налаштування стандартної стабільності вже доступні для більшості додатків / машин. DECS-300 має діапазон стабільності, який дозволяє змінювати регулювання стабільності для точної настройки стабільності, яка забезпечить оптимально налаштовану переходну характеристику генератора. Її конфігураційний програмне забезпечення містить програми вибору ПД, що допомагають правильно визначити настройки ПД-регуліровання. DECS-300 передбачає настройку стабільності та переходної характеристики обмежувача мінімального / максимального збудження і контролерів реактивної потужності / коефіцієнта потужності шляхом додаткових налаштувань стабільності.

Робочий режим регулювання струму збудження

DECS-300 надає ручної канал впливу, званий режимом регулювання струму збудження або FCR. В цьому режимі DECS-300 регулює вихідний постійний струм силового моста. В цьому режимі струм не залежить від чутливого входу в DECS-300 і таким чином виходить хороший канал для резервного управління збудженням

при виявленні втрати зчитування. В цьому режимі управління генератором з підтримки номінальної напруги генератора при зміні його навантаження повністю залежить від оператора.

Робочий режим контролера реактивної потужності / коефіцієнта потужності

DECS-300 має, в якості наступного стандартного властивості, два режими роботи, коли генератор підключений паралельно мережі єдиної енергосистеми. DECS-300 може працювати в режимах реактивної потужності (VAR) і коефіцієнта потужності (PF). Якщо генератор підключений паралельно мережі єдиної енергосистеми, DECS-300 може утримувати вихід реактивної потужності генератора на заданому рівні реактивної потужності, або ж ця система може змінювати вихід реактивної потужності генератора, щоб підтримувати заданий коефіцієнт потужності при зміні навантаження генератора.

Обмежувачі максимального збудження

Обмеження перезбудження (OEL) працює у всіх режимах, крім режиму FCR. OEL читає вихід струму збудження регулятора напруги або статичного збудника і обмежує струм збудження, перешкоджаючи перегріву збудження. У режимі FCR DECS-300 тільки сповіщає про те, що виконані всі умови для OEL, але не забезпечені обмеження. DECS-300 режимі можливі два види обмеження перезбудження: точки підсумовування і прийняття на себе.

- OEL точки складання : Для роботи в оперативному режимі задані три рівня струмів OEL. Це верхній, середній і нижній рівні. Генератор може працювати безперервно при нижньому рівні струму OEL і протягом запрограмованого часу при верхній і середній рівнях струму OEL. Два рівня струму OEL задаються для роботи в автономному режимі (головний переривник розімкнутий). Це верхній і нижній рівні. Генератор може працювати безперервно при нижньому рівні струму OEL і протягом запрограмованого часу при верхньому рівні струму OEL.

- OEL прийняття на себе : Рівень струму збудження, при якому відбувається обмеження, визначається характеристикою з зворотною залежністю від часу. Два рівня струмів і тимчасова настройка задаються для обмежувача OEL. окремі криві можуть бути обрані для оперативного і автономного режимів роботи. Якщо система увійшла в стан перезбудження, то струм збудження обмежується і слід обраної кривої. Вибір рівнів / кривих OEL для оперативного і автономного режимів роботи визначається вибором опції OEL.

Обмежувач мінімального збудження

Обмежувач мінімального збудження запобігає падінню величини збудження, що передається полю генератора, нижче безпечних рівнів роботи. Це захищає машини від можливого прослизання полюсів і від пошкодження машини. Він обмежує кількість реактивної потужності, що поглинається машиною, відповідно до настройками користувача. Крива обмеження недозбудження (ВПВ), створюваного внутрішніми засобами, може використовуватися на підставі рівня реактивної потужності при відсутності навантаження або ж може бути обрана крива UEL з 5 налаштованим точкам для забезпечення відповідності характеристикам конкретного генератора.

Обмежувач струму статора

Обмежувач струму статора (SCL) сприймає рівень струму статора і обмежує його, перешкоджаючи перегріву статора. SCL працює у всіх режимах, за винятком FCR. У режимі FCR DECS-300 тільки сповіщає про наявність умов для перегріву, але не забезпечує обмеження струму. Передбачені два рівня струму SCL: верхній і нижній. Генератор може працювати безперервно при нижньому рівні струму SCL і тільки протягом запрограмованого часу при верхньому рівні струму SCL.

Захисні функції

Є кілька захисних функцій, вбудованих в блок DECS-300. Ці функції можуть використовуватися в якості дублювання реле основного захисту і можуть бути призначені програмованим вихідних контактів через програмне забезпечення ПК. Захисні властивості надають повністю регульовані рівні розмикання і тимчасові затримки. Є такі захисні властивості:

- Підвищена напруга генератора
- Перегрів обмоток збудження
- Підвищений струм збудження
- Втрата збудження
- Підвищена напруга збудження
- Знижена напруга генератора
- Втрата чутливості
- Сторожовий таймер

3.6 Перевірка кабелю одного з найбільш віддаленого електропривода на втрату напруги

Розрахуємо втрату напруги в кабелі підруллюючого пристрою з робочим струмом двигуна 262 А при номінальній напрузі 6600 В.

Допустиме струмове навантаження кабелю можна визначити по формулі:

$$I_K = I_1 \cdot k_n \cdot k_{\text{реж}} \cdot k_T^0 \cdot k_{\text{пр}}; \quad (3.40)$$

де I_1 -тривало допустиме струмове навантаження для одножильного кабелю;

k_n - поправочний коефіцієнт, враховуючий кількість жил в кабелю;

$k_{\text{реж}}$ - поправочний коефіцієнт, враховуючий режим роботи живлячого споживача електроенергії;

k_T^0 - поправочний коефіцієнт, враховуючий температуру навколишнього середовища;

$k_{\text{пр}}$ - поправочний коефіцієнт, враховуючий спосіб прокладки кабелю.

Вибираємо паралельно прокладені два кабелі марки FA-TPYCY-150 (150 mm^2 , 255 A на кабель) з ізоляцією із этиленпропиленусумарним перерізом жил 300 mm^2 з наступними характеристиками: $I_1=480 \text{ A}$, $k_n=0.8$ для трижильного кабелю, $k_{\text{реж}}=1.3$ для ПВ 40% при $I_1=500 \text{ A}$, $k_T=1$ для температури 45°C , $k_{\text{пр}}=0.85$ для випадку, коли доступ повітря утруднений, у нашому випадку прокладка кабелю проходить у кабельній трасі:

$$I_K=480 \cdot 0.8 \cdot 1.3 \cdot 1 \cdot 0.85=424 \text{ A}.$$

Для визначення падіння напруги у кабелях у суднових колах трифазного змінного струму користуються формулою:

$$\Delta U = \frac{\sqrt{3} \cdot I_{\text{поз}} \cdot l}{\gamma \cdot U_H \cdot s} \cdot 100\%; \quad (3.41)$$

де ΔU - падіння напруги, %; l - довжина лінії, м; $I_{\text{поз}}$ - розрахунковий струм споживача, A; питома провідність міді $\gamma=48 \text{ m}/(\text{Ohm} \cdot \text{mm}^2)$; U_H - номінальна напруга кола, V; s - переріз струмопровідних жил, mm^2 .

Визначимо падіння напруги для вибраного кабелю: $s=300 \text{ mm}^2$, $U_H=6600 \text{ V}$, $I_{\text{поз}}=424 \text{ A}$, $l=375 \text{ m}$.

$$\Delta U = \frac{\sqrt{3} \cdot 424 \cdot 375}{48 \cdot 6600 \cdot 300} \cdot 100 = 0.29\%.$$

Кабель вибраний вірно, тому що падіння напруги на лінії складає 0.29 %, а це набагато менше, ніж встановлені Регістром максимальні 5%.

3.7. Розрахунок провалу напруги СЕЕС під час пуску найбільш потужнішого споживача електроенергії

Особливістю суднових електростанцій являється наявність потужних асинхронних короткозамкнених двигунів, під час пуску яких виникають великі

струми. При скачках струмів синхронні генератори розмагнічуються і, на деякий час, знижують напругу, що прийнято називати провалом напруги.

Розрахунки провалів напруги синхронних генераторів необхідно виконувати для випадків підключення найбільш потужних асинхронних двигунів.

Але необхідно врахувати, що найбільш потужні двигуни – в приводах підрулюючих пристройів – запускаються перетворювачами частоти. Відомо, що таке навантаження еквівалентне активному опору, так як $\cos \phi = 0.98 \dots 0.995$. Крім того, за рахунок поступової зміни частоти пусковий струм перевищує номінальний не більш, ніж максимально прийнятий в налаштуваннях перетворювача частоти.

На рис. 3.16 наведено типовий графік перехідних процесів в системі «Перетворювач частоти – асинхронний двигун» при вентиляторному навантаженні у відносних одиницях.

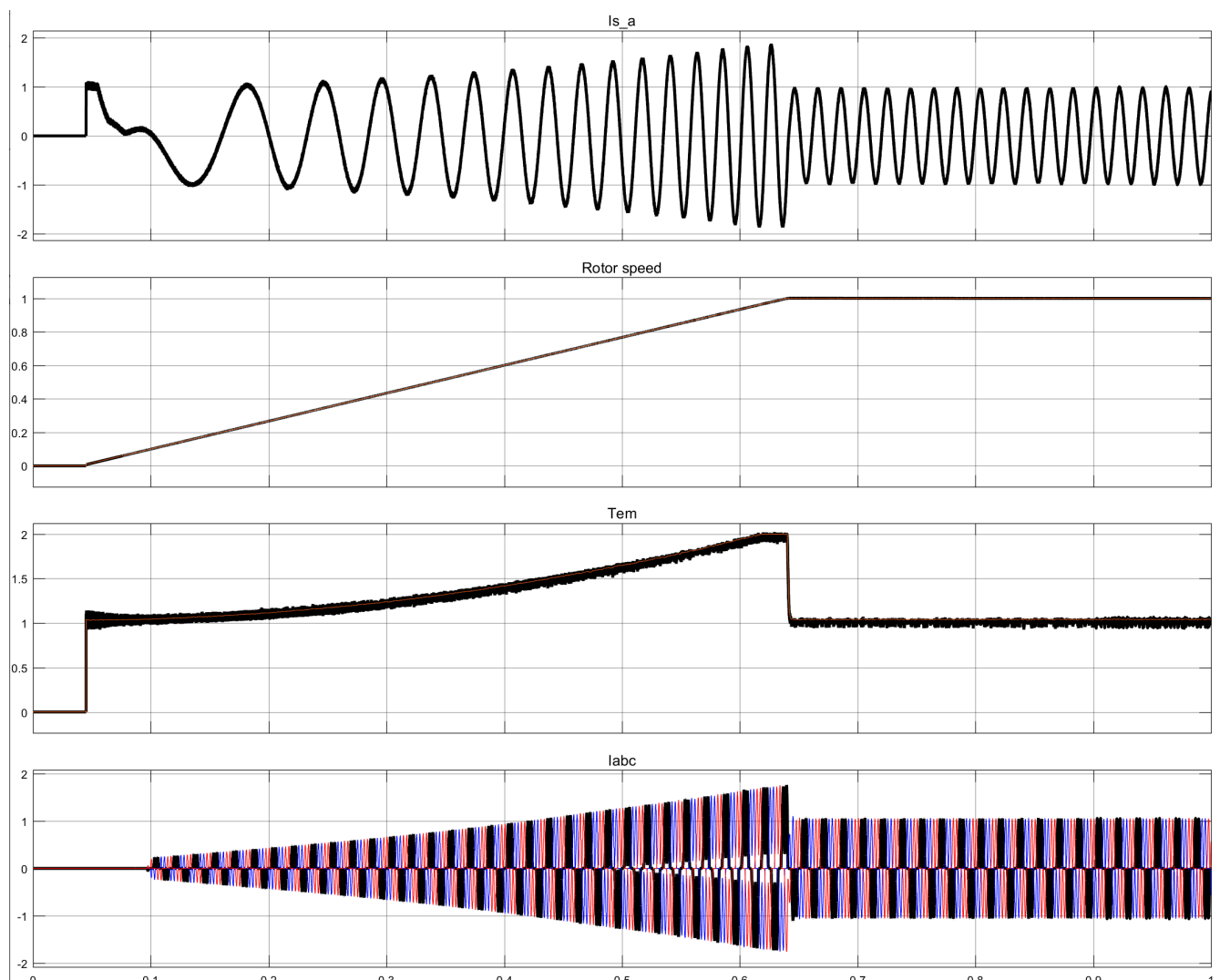


Рисунок 3.16 – Графіки перехідних процесів в системі «ПЧ–АД» при вентиляторному навантаженні у відносних одиницях

Початкові дані електроприводу підрулюючого пристрою:

- Сумарна потужність: 3000 kW;
- Номінальна напруга 6600 В;
- Cos φ: 0.98
- Номінальний струм: 262 A;
- Кратність пускового струму (номінальна): 2;
- Метод пуску: Перетворювач частоти з векторним керуванням.

Генератор:

- Потужність 4000 kVA;
- Cos φ: 0.8;
- Номінальний струм: 350 A;
- Номінальна напруга 6600 В;
- Надперехідний індуктивний опір обмотки статора синхронного генератора

по поздовжній осі: $x_d'' = 0.117$

- Перехідний індуктивний опір обмотки статора синхронного генератора по поздовжній осі: $x_d' = 0.191$

Синхронний індуктивний опір обмотки статора синхронного генератора по поздовжній осі: $x_d = 1.18$

Постійна часу обмотки ротора при розімкненій обмотці статора:

$$\tau_{d0}' = 1.73$$

Спочатку розрахуємо потужність, споживану при пуску даного двигуна:

$$S_n = \sqrt{3} \cdot \frac{U}{1000} + I_n \cdot K_n \cdot \cos(\phi) \quad (3.31)$$

де U – напруга двигуна,

I_n - номінальний струм,

K_n – кратність пускового струму двигуна.

$$P_n = \sqrt{3} \cdot \frac{6600}{1000} \cdot 262 \cdot 2 \cdot 0.98 = 5870 \text{ kW}$$

Оскільки потужність при пуску такого двигуна більше потужності одного генератора, то для роботи підрулюючим пристроєм необхідно запускати 2 генератори одночасно ($2 \cdot 3200 = 6400 \text{ kW} / 8000 \text{ kVA}$). Розрахунок провалу напруги виконаємо при двох працюючих одинакових генераторах. Тоді їх загальні опори будуть рівні:

$$x_d' = 0.0585, \quad x_d'' = 0.0855, \quad x_d = 0.509, \quad \tau_{d0}' = 1,73$$

Визначимо реактивний опір двигуна:

$$x_\delta = \frac{S_{\text{нг}}}{K_n \cdot S_{\text{нд}}} \cdot \left(\frac{U_{\text{нд}}}{U_{\text{нг}}} \right)^2 \quad (3.32)$$

$S_{\text{нг}}, U_{\text{нг}}$ - номінальні потужність і напруга генератора;

$S_{\text{нд}}, U_{\text{нд}}$ - номінальні споживана потужність і напруга двигуна;

K_n - кратність пускового струму двигуна.

$$x_\delta = \frac{8000}{5870} \cdot \left(\frac{6600}{6600} \right)^2 = 1.363$$

Початкова напруга:

$$U_{\text{нач}} = \frac{x_\delta}{x_\delta + x_d'} = \frac{1.363}{1.363 + 0.0585} = 0.959 \quad (3.33)$$

Стала напруга:

$$U_{\text{ycm}} = \frac{x_\delta}{x_\delta + x_d} = \frac{1.363}{1.363 + 0.509} = 0.728 \quad (3.34)$$

Постійна часу обмотки збудження генератора при замкнuttій обмотці статора на опір x_d .

$$\tau_d' = \tau_{d0}' \cdot \frac{x_\delta + x_d'}{x_\delta + x_d} = 1.73 \cdot \frac{1.363 + 0.0585}{1.363 + 0.509} = 1.266 \quad (3.35)$$

Час досягнення мінімального значення напруги для генераторів з самозбудженням.

$$t_{\min} = \tau_d' \cdot \ln \left(\frac{U_{\text{нач}} - U_{\text{ycm}}}{K_2 \cdot K \cdot \tau_d'} + 1 \right) \quad (3.36)$$

З формули (3.36) $K=20$, а K_2 буде:

$$K_2 = \frac{x_\delta}{x_\delta + x_d} = \frac{1.363}{1.363 + 0.509} = 0.728 \quad (3.37)$$

$$t_{\min} = 1.29 \cdot \ln \left(\frac{0.959 - 0.728}{0.728 \cdot 20 \cdot 1.29} + 1 \right) = 0.01577 \text{ s}$$

Значення мінімальної напруги:

$$U_{\min} = U_{y_{cm}} + (U_{\text{нач}} - U_{y_{cm}}) \cdot e^{\frac{-t_{\min}}{\tau_d}} + K_2 \cdot K \cdot \left[t_{\min} - \tau_d \cdot \left(1 - e^{\frac{-t_{\min}}{\tau_d}} \right) \right] \quad (3.38)$$

$$U_{\min} = 0.728 + (0.959 - 0.728) \cdot e^{\frac{-0.016}{1.29}} + 0.728 \cdot 2 \cdot \left[0.016 - 1.29 \cdot \left(1 - e^{\frac{-0.016}{1.29}} \right) \right] = 0.955$$

Максимальний провал напруги:

$$\Delta U_{\max} = (1 - U_{\min}) \cdot 100\% = (1 - 0.955) \cdot 100 = 4.5\% \quad (3.39)$$

Падіння напруги на клемах генератора знаходитьться в дозволених межах згідно вимог Регістра.

3.7. Вибір засобів автоматизації СЕЕС, розробка структурної схеми автоматизованої системи управління, розробка алгоритмів управління СЕЕС

3.7.1. Система автоматизації СЕЕС

Систему автоматизації побудуємо на базі контролера компанії DEIF Delomatic-4 (DM-4) – це цифровий пристрій управління і захисту для використання в низьковольтних, середневольтних і високовольтних енергетичних установках. Завдяки своїм вбудованим функціям захисту і можливостям призначеного для користувача інтерфейсу HMI пристрій є ефективним і вигідним рішенням для всіх типів електроенергетичних установок. Тому DEIF є основою системи автоматизації СЕЕС і вбудований в ГРЩ (рис. 3.17).

Контролер зазвичай використовується с дисплейним модулем DU-delomatic4 та додатковою панеллю оператора Additional Panel Operator APO.



Рисунок 3.17 – ГРЩ судна з контролерами DEIF

Основні функціональні можливості контролерів DM-4:

1. Внутрішній самоконтроль працездатності
2. Управління, захист, моніторинг
3. Захист трифазних генераторів
4. Автоматична синхронізація і розподіл навантаження
5. Резервовані шини CAN
6. Підключення додаткових віддалених дисплеїв і панелей оператора
7. Інтерфейси Modbus RS485 і TCP / IP
8. Підключення графічних сенсорних панелей DEIF AGI
9. Зв'язок з контролером двигуна по CANbus J1939
10. Журнали несправностей і подій, USB порт для сервісного підключення
11. Пряме вимірювання напруги до 690В
12. Алгоритми запуску / зупинки генераторів по навантаженню
13. Автоматичний вихід зі стану знеструмлення
14. Завдання пріоритетів і режим базової потужності
15. Управління підключенням потужних споживачів і відключення невідповідальних
16. Оптимізація витрат палива
17. Функція М-Логіка
18. Функція імітації роботи заданої конфігурації

Журнал нагадування та подій

Розширені розрахунки запуску / зупинки, що залежать від навантаження

Профілактика та відновлення затемнення

Вибір пріоритету

Службове програмне забезпечення через Ethernet для віддаленого доступу

Загальний опис контролера суднової електростанції DM-4

Контролер Delomatic 4 (DM-4) призначений для організації системи управління суднової електростанцією. Пристрій має високу надійність, гнучку архітектуру і широкий набір функцій для автоматизації суднових електростанцій.

Система управління розроблена для важких умов експлуатації і відрізняється високою надійністю.

Система управління на базі контролерів Delomatic 4 (DM-4) може бути використана для автоматизації наступних типів електростанцій:

- Суден з електричним рухом (класів DP2 і DP3)
- Суден постачання з 2 валогенераторами і 2 або більш ДГ
- Суден з генераторним і руховим режимами валогенератора
- Управління декількома секційними вимикачами

Система управління дозволяє організовувати паралельну роботу, моніторинг та захист до 15 генераторних агрегатів різного типу. Крім того, система Delomatic 4 (DM-4) може керувати секційними і береговими вимикачами.

Система включає широкий набір функцій управління, таких як запуск / зупинка в залежності від навантаження, програмований пріоритет запуску, управління групами навантажень, відключення невідповідальних навантажень, автоматичний вихід їх знеструмлення.

Контролер забезпечує відображення вимірюваних параметрів та іншої важливої інформації на РК дисплей.

До дисплея можна додати панель оператора (AOP) з 8 кнопками і 16 світлодіодами.

Панель AOP-1 стандартно поставляється для одного головного контролера генераторного агрегату.

Панель AOP-1 підключається до дисплея кабелем 0,5 м. За допомогою шини CANbus можливо підключення декількох додаткових панелей AOP-2 (макс. 200 м від контролера). Максимально до 5 панелей AOP може бути підключено до шини CANbus. Панелі AOP служать для індикації додаткової інформації про стан з системи і дозволяють задати різні режими роботи.

DM-4 мережі

Внутрішній зв'язок між контролерами електростанції організована по спеціалізованої шині DM-4.

Модуль PCM 4-5 має два комунікаційних інтерфейсу для резервування внутрішнього зв'язку. Функція резервування внутрішнього каналу зв'язку контролерів DM-4 є опцією.

Модуль PCM 4-1 має один комунікаційний інтерфейс для організації внутрішнього каналу зв'язку.

Модулі PCM 4-1 і PCM 4-5 можуть використовуватися спільно також з перетворювачами на оптику для роботи на великих відстанях.

Зв'язок із зовнішньою системою аварійної сигналізації і моніторингу може здійснюватися через інтерфейси RS485 Modbus RTU, Modbus TCP / IP або CANopen.

Контролер генераторного агрегату (DGU)

Всі модулі Delomatic 4 (DM-4) розміщаються в стійці DGU. Доступні 4 різних розміру стійки в залежності від необхідної кількості входів / виходів і керованих вимикачів. Контролер Delomatic 4 (DM-4) складається з модулів всього 4 різних типів:

PCM 4-1 (8TE), модуль включає в себе блок живлення, головний ЦП системи, входи / виходи і різні комунікаційні інтерфейси (3 x CAN, 1 xRS485, DM-4 LAN, сервісний порт USB).

PCM 4-5 (8TE), модуль включає в себе блок живлення, головний ЦП системи, входи / виходи і різні комунікаційні інтерфейси (2 x CAN, 2 xRS485, 1 x Ethernet, DM-4 LAN, сервісний портUSB).

IOM 4-1 (6 TE), універсальний модуль входів / виходів, 16 входів (тип аналоговий або дискретний вибирається за допомогою перемикача), 12 релейних виходів, 2 аналогових виходу (0 (4) ... 20 мА).

SCM 4-1 (6 TE), перетворювач високоточних 3-фазних електричних вимірювань (клас 0.5), інтегрована функція синхронізації і управління вимикачем.

SCM 4-2 (12 TE), перетворювач високоточних 3-фазних електричних вимірювань (клас 0.5), інтегрована функція синхронізації і управління вимикачем.

Дисплей контролера (DU) є окремим пристроєм і встановлюється на двері розподільного щита. До кожного контролера генераторного агрегату можливо підключити до трьох дисплеїв і встановити їх в різних місцях.

Додаткові панелі оператора (AOP-1 / AOP-2) можуть бути підключені до будь-якого з дисплеїв DU для додаткових функцій і індикації, одна панель AOP-1 і до п'яти панелей AOP-2 можуть бути підключені до кожного дисплею DU.

Безпека: Згідно EN 61010-1, категорія перенапруги III 600V AC.

3.7.2. Загальні відомості про систему управління електростанцією

Система складається з Блоків Управління Генераторами (Deif Generator Unit-DGU), їх Панелей Управління (ПУ) (Control Panel-CP) і програмного забезпечення. Взаємодія блоків DGU між собою і зі своїми панелями управління (CP) здійснюється за допомогою мережі ARC-network (ARCNET). Прикладне програмне забезпечення (ПЗ) системи складається з двох блоків, що взаємодіють між собою: ПЗ управління генераторним агрегатом і ПЗ автоматичного управління електростанцією (Power Management System - PMS). Структурна схема АСУ СЕЕС приведена на рис. 3.19.

ПО управління генераторним агрегатом здійснює контроль і безпосереднє управління агрегатом, виконуючи команди, отримані від оператора або PMS.

ПО PMS здійснює управління електростанцією в цілому, відповідно до вибраного режиму управління електростанцією

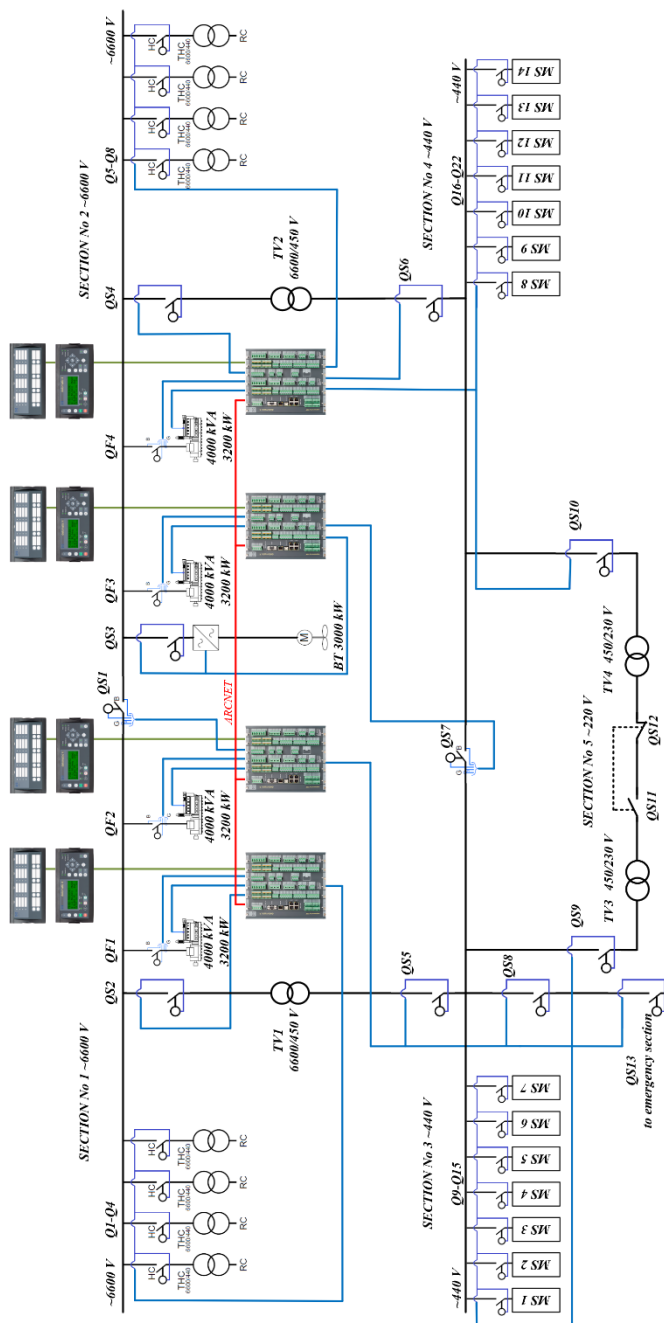


Рисунок 3.19 – Система автоматизації CEEC на базі контролерів DEIF delomatic4 DM4, display unit DU-delomatic4, additional panel operator APO

При управлінні електростанцією з системою PMS можливе завдання наступних режимів:

- Напівавтоматичний (SEMI-AUTO);
- Автоматичний (AUTOMATIC);
- Безпечний (маневрений) (SECURED).

Вибір одного з перерахованих режимів здійснюється за допомогою кнопок, встановлених на панелі DU.

Напівавтоматичний режим роботи.

Даний режим вимагає безпосереднього втручання оператора. Всі автоматичні послідовності виконуються тільки після його команд, що задаються за допомогою кнопок, розташованих на ПУ.

В даному режимі реалізовані наступні автоматичні функції (послідовності):

- Автоматична послідовність запуску і зупинки;
- Автоматична послідовність включення генераторного автомата, в тому числі і динамічна синхронізація;
- Автоматична послідовність виключення генераторного автомата.

Автоматичний режим роботи

В цьому режимі знаходяться всі генераторні агрегати, які були вибрані для контролю РМС. Генератори забезпечують харчування обох секцій шин, міжсекційних автомат включений.

В даному режимі проводиться автоматичне керування частотою і розподілом навантаження.

Навантаження розподіляється між працюючими генераторами в залежності від обраного режиму:

- Симетрично; - Асиметрично.

Автоматичний пуск і зупинка генераторів в залежності від навантаження на ГРЩ виконується відповідно до заданих параметрів і в порядку заданої черги. При цьому враховуються задані обмеження на кількість працюючих / зупинених генераторних агрегатів, також враховуються можливі несправності в процесі пуску і синхронізації. Дані несправності призводить до заміщення несправного ДГ наступним у черзі.

Безпечний режим роботи

Режим роботи схожий на автоматичний. Але в безпечному режимі межа, при якому здійснюється запуск / зупинка чергового ДГ, встановлений рівним номінальної

потужності самого потужного генератора. Це дозволяє мати на шинах достатній резерв потужності, і раптове відключення будь-якого з генераторів не зможе привести до знецтрумлення електростанції.

Режим ручного управління

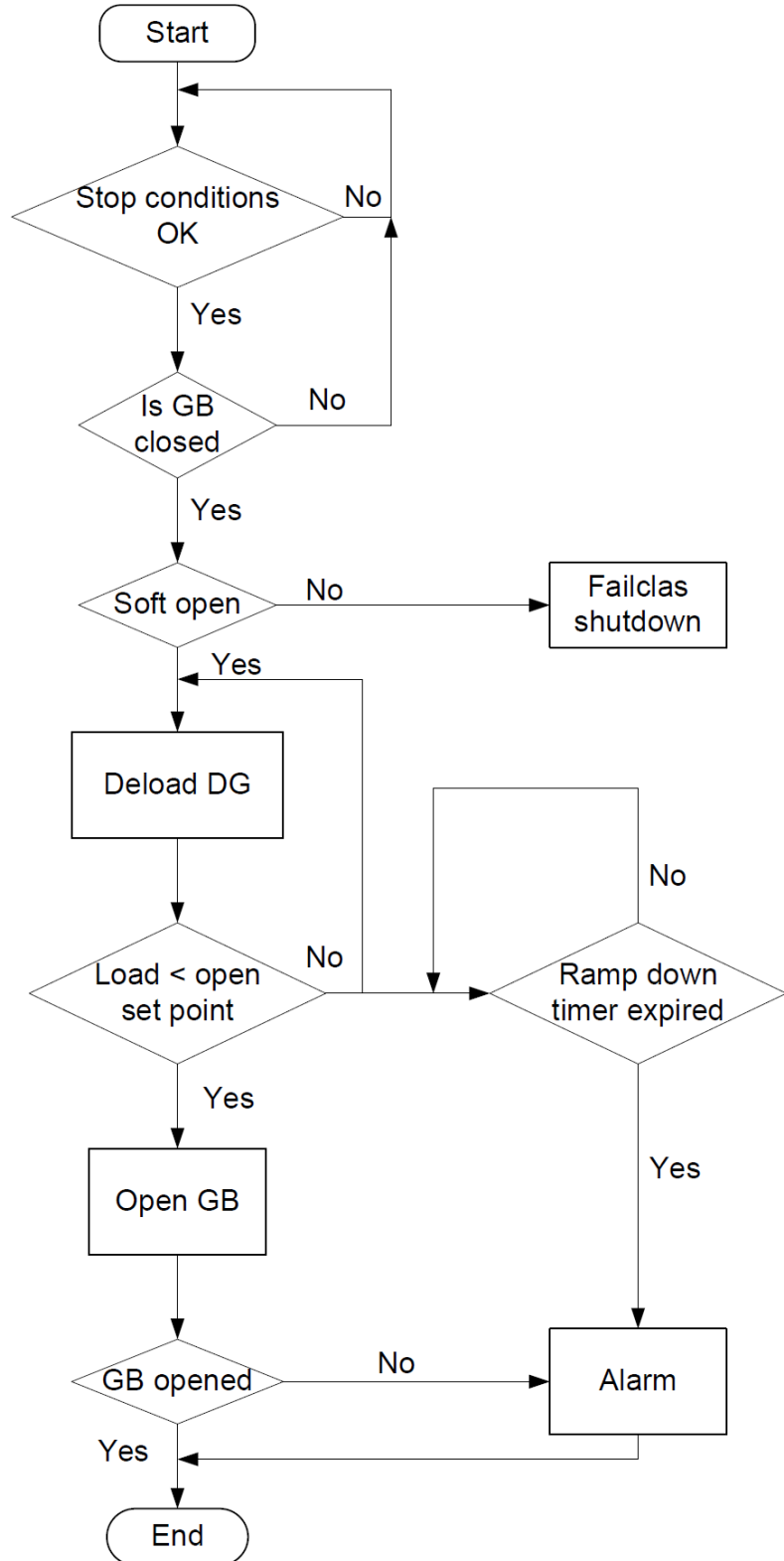
В цьому режимі генераторний агрегат виведений з автоматичного режиму управління. DGU забезпечує тільки такі функції захисту генераторного агрегату:

- Внутрішній контроль системи;
- Контроль параметрів дизеля;
- Контроль параметрів шин ГРЩ;
- Захист дизеля;
- Захист від КЗ;
- Відключення невідповідальних споживачів при перевантаженні ГА.

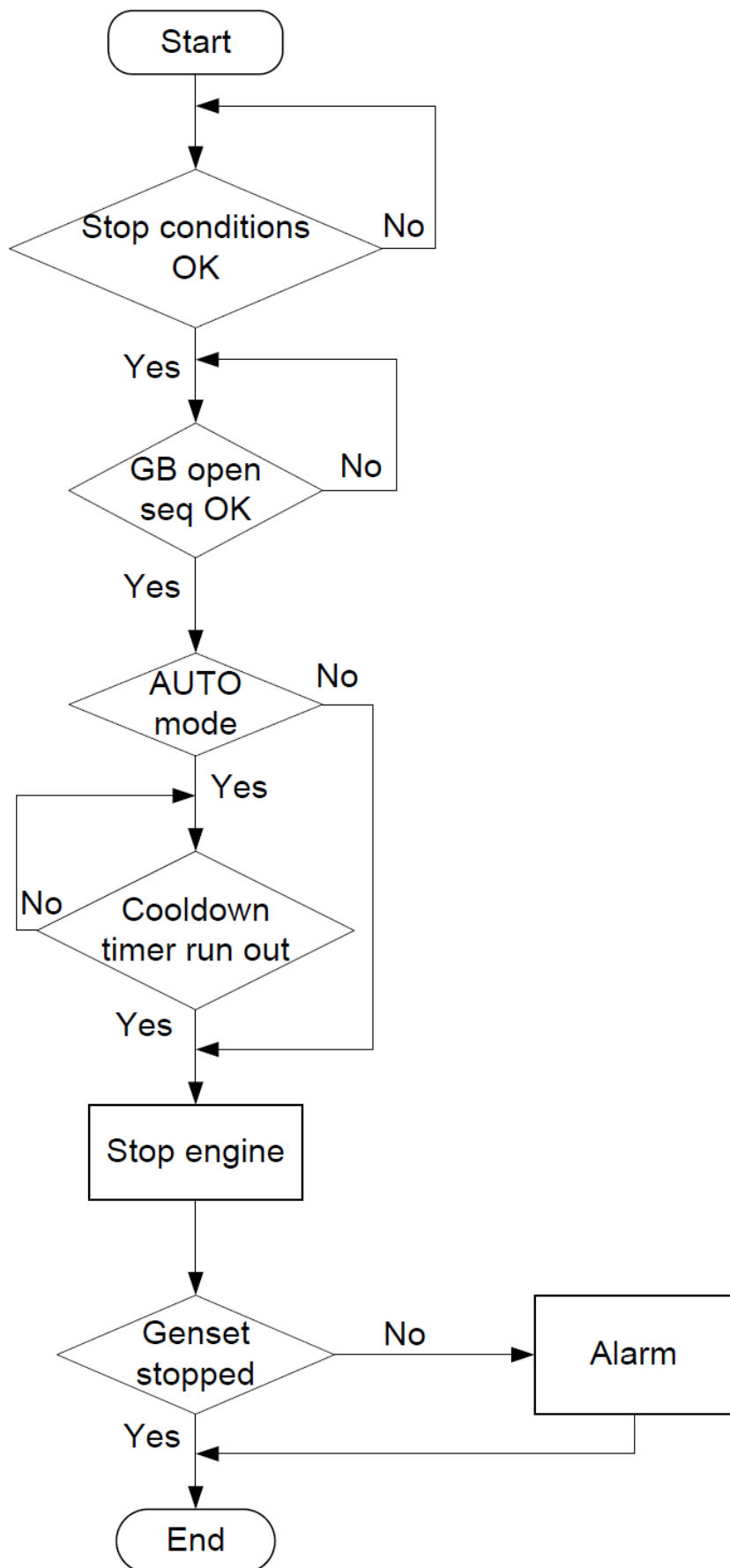
3.8. Функції зупинки, пуску та синхронізації дизель-генераторів

Ці функції включають в себе автоматичне керування обраним Diesel Generator та Generator Breaker.

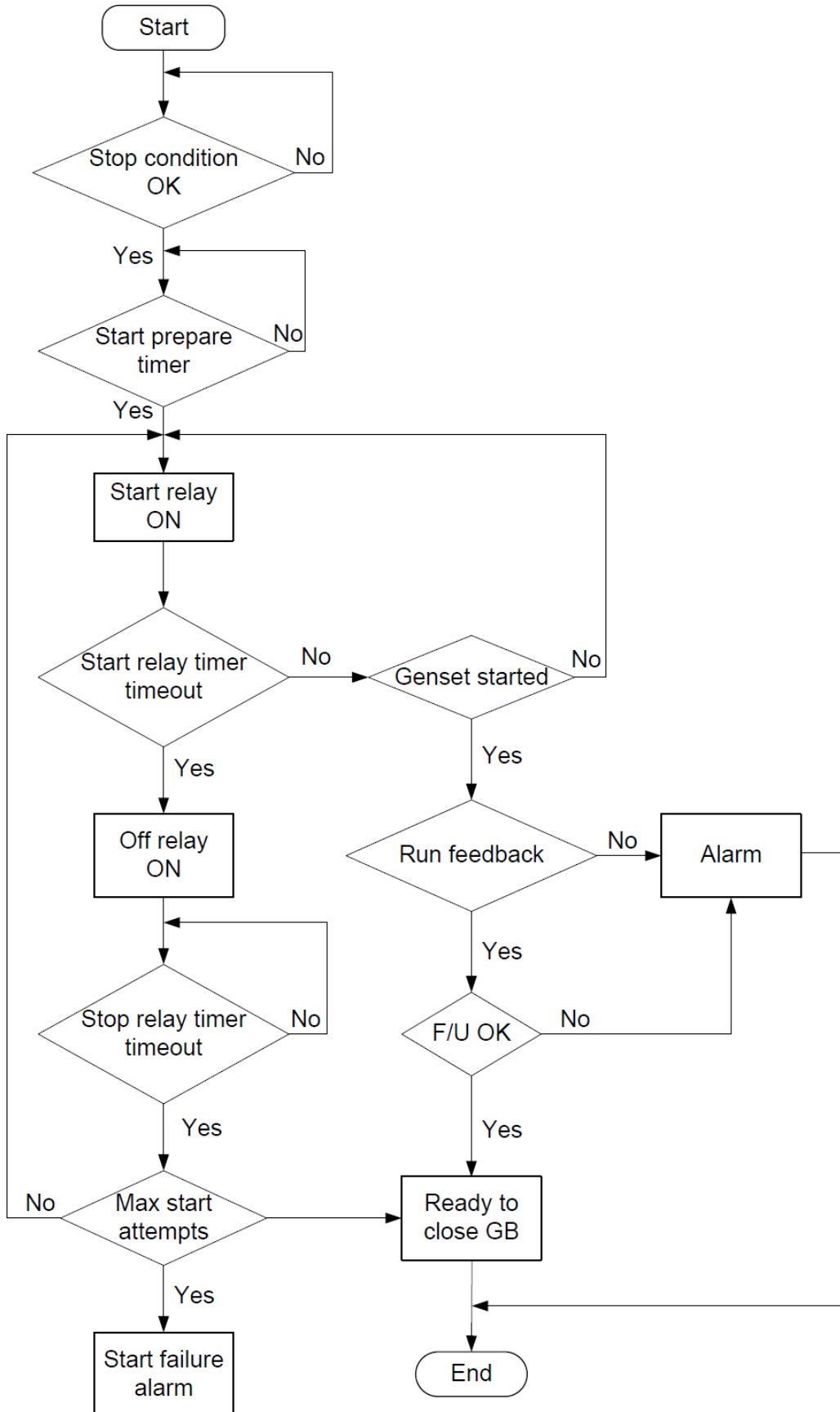
Алгоритм процедури відключення Generator Breaker



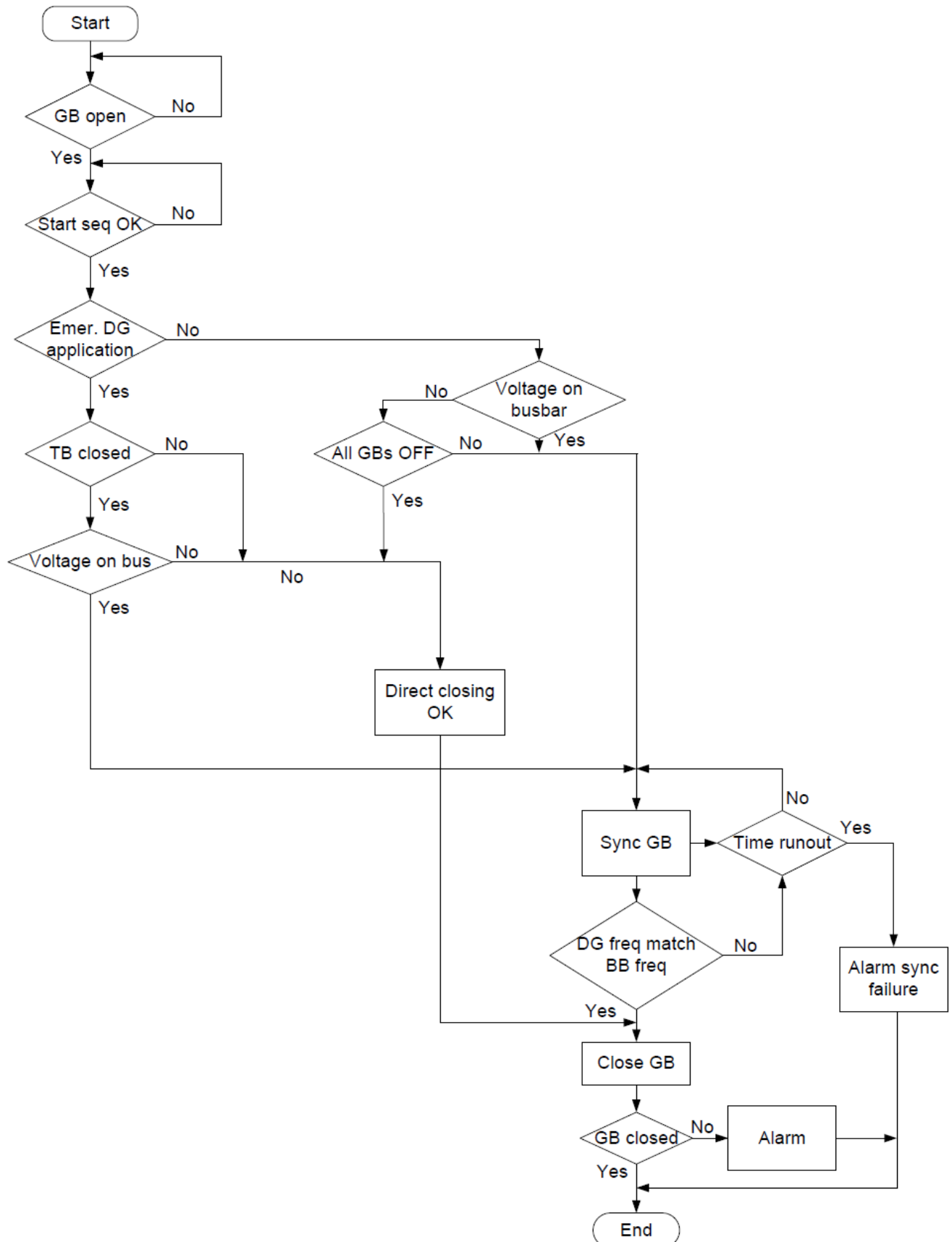
Зупинка ДГ



Запуск ДГ



Вмикання Generator Breaker



4. АНАЛІЗ СИСТЕМ ТА ПРИСТРОЇВ УПРАВЛІННЯ СУДНОМ

4.1. Система дистанційного управління ГД

Система дистанційного автоматизованого управління (ДАУ) Auto Chief C20 двигуном типу MAN B&W-ME-C забезпечує автоматизацію виконання алгоритмів пуску, реверса, зупинки, зміна режиму роботи двигуна відповідно до отриманої команди з ходового містка. Установка забезпечує захист двигуна, сигналізацію про несправності в системі й контроль за правильністю виконання команди.

Основні елементи ДАУ розташовуються в машинному відділенні, в ЦПУ й на ходовому містку. У машинному відділенні знаходиться гіdraulічна система керування, повітряна система пуску, цифровий регулятор та електричний актуатор, блок безпеки ГД, датчики обертання валу ГД.

На центральному посту керування встановлені: Data chief C20 (система сигналізації та моніторингу), система машинного телеграфу, табло маневрене, сигнальне і виконуваних операцій (мнемосхема); головний вимикач, що встановлює режим керування двигуном; маневрений пост керування двигуном.

На ходовому містку встановлений машинний телеграф (основний і два на крилах містка, зв'язані між собою механічно), табло маневрене, сигнальне і виконуваних операцій (мнемосхема), самописець виконуваних команд.

Живлення системи ДАУ здійснюється змінною напругою 440 й 220 В і постійною напругою 24В. Система ДАУ керує електричним актуатором реверсування й повітряною системою пуску двигуна.

Схема ДАУ забезпечує підвищення частоти обертання двигуна до номінальної по нормальній програмі без якого-небудь додаткового втручання.

Уповільнена програма використається звичайно при підвищенні частоті обертання двигуна від 80 до 101 об/хв. для поступового прогріву СДВЗ, для зменшення його теплових навантажень. Прискорена програма використається тільки при аварійній ситуації.

Система автоматизації Auto Chief C20 - це система управління, модульний проект якої дозволяє настроювати систему до індивідуальних умов і складається з системи сигналізації та моніторингу, допоміжної системи контролю, системи розподілення потужності, системи автоматизації баласту, HVAC (кондиціювання повітря), системи підтримка керування.

Система управління розроблена для дистанційного управління головним двигуном від телеграфу. Переміщуючи цей важіль, система автоматично почне виводити двигун на задану швидкість.

Головними компонентами системи Auto Chief C20 є панель управління, система дистанційного управління, система машинного телеграфу, система безпеки головного двигуна, система цифрового регулятора, registrатор маневрів.

Система Auto Chief C20 виконує вимоги IMO, IACS та одинадцяти кваліфікаційних організацій. Вона розроблена для того, щоб полегшити роботу і дати можливість без вартового режиму роботи в машинному відділенні.

Система безпеки головного двигуна має такі функції: Shut Down Warning; Cancel Shut Down; Shut Down Active; Slow Down Warning; Cancel Slow Down; Slow Down Active; Over-speed; Emergency Stop.

4.1.1. Структурна схема та алгоритм системи керування обертання валу головного двигуна

Розглянемо систему контролю обертання валу головного двигуна. Вона складається з панелі Auto Chief (ACP), регулятора (GOV), серво-блоку, електричного актуатора, системи зчитування оборотів на валу ГД.

Функціональну схему системи контролю обертання головного двигуна наведено на рис. 4.1.

Функції регулятора:

- контроль швидкості ГД та відповідності цієї швидкості до заданої уставки оператором;
- захист двигуна від перенавантаження;

- постійна підтримка потрібної кількості пального;
- змащення циліндрів залежно від навантаження.

Функції актуатора:

- підтримка та керування паливної рейки в правильному положенні, в залежності від заданого регулятором;
- при несправності блокування пального для зменшення швидкості.

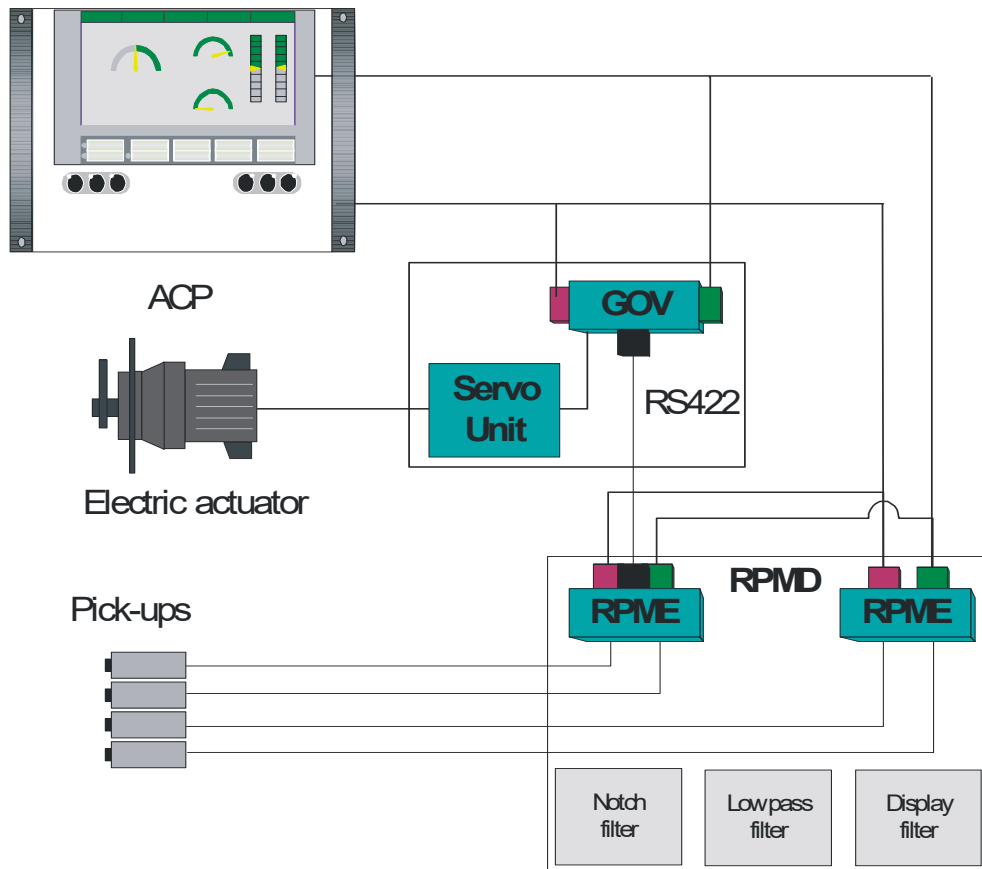


Рисунок 4.1 – Функціональна схема системи контролю обертання валу ГД

Якщо управлінням ДАУ ГД з містка, то управління регулятора здійснює дистанційна система керування. Якщо управління ГД з машинного відділення, то управлінням регулятора буде займатися Auto Chief C20, який знаходиться в ЦПУ.

Система зчитування обертів на валу ГД працює наступним чином. Auto Chief C20 системи регулятора відсилає оберти ГД до Auto Chief C20 системи зчитування обертів ГД, інформація передається за допомогою комунікаційних ліній RS-422, а

потім інформація повертається до Auto Chief C20 за допомогою комунікаційної сітки CAN.

4.1.2. ГСА алгоритму системи контролю обертання валу ГД

Для організації прогностичного контролю вибираємо період τ - це період опитування всіх датчиків заданого об'єкта. Хоча процеси в ГД не дуже швидкоплинні, з огляду на відносно невелику кількість датчиків і високу швидкодію сучасних ЕОМ, приймаємо період опитування датчиків τ рівним 1 сек.

Швидкість зміни параметра обчислюється шляхом обчислення поточного значення узагальненого параметра $K_{оп}(t)$ попереднього значення узагальненого параметра $K_{оп}(t-1)$ по наступній формулі:

$$v_{коп} = \frac{K_{оп}(t-1) - K_{оп}(t)}{\tau}$$

Будемо вважати, що надалі швидкість зміни узагальненого параметра буде постійною, обчислюємо прогноз часу, коли параметр вийде за норму по формулі:

$$\Delta t = \frac{K_{оп}(t) - K(\min)}{v_{коп}}$$

Якщо отримане значення Δt виявляється менше нанеред заданого $\Delta t_{доп}$, то операторові системи видає сигнал, що $K_{оп}$ інтенсивно падає.

Складемо графу-схему алгоритму системи контролю обертання валу ГД із прогнозуванням (рис. 4.2).

A1 - Опитування всіх датчиків системи;

A2 - Визначення $K_{оп}$ у цей момент часу;

A3 - Запам'ятовування значення $K_{оп}(t)$ і присвоєння йому індексу $K_{оп}(t-1)$;

P4 - Кількість опитувань датчиків більше двох?

A5 - Визначення $v_{коп}$ – швидкості зміни $K_{оп}$ по формулі (4.1);

A6 - Визначення часу відходу параметра за норму по формулі (4.2);

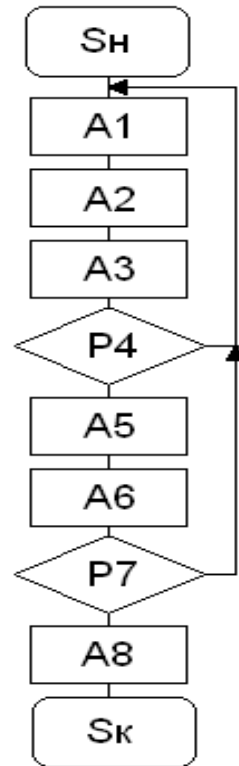


Рисунок 4.2 – Граф-схема алгоритму системи контролю обертання валу ГД

P7 - Значення Δt менше $\Delta t_{\text{доп}}$;

A8 - Видача попереджувального сигналу операторові й формування сигналів на протиаварійне керування ГД.

4.2 Технічні характеристики і конструктивні особливості суднової комп'ютерної мережі інформаційних і управлюючих систем

Доступ будь-якого комп'ютера суднової мережі до пристройів вводу-виводу або контролерів здійснюється за допомогою OPC – серверу.

OPC- сервер – (OLE for Process Control) - набір повсюдно прийнятих специфікацій, що надають універсальний механізм обміну даними в системах контролю і управління. OPC технологія забезпечує незалежність споживачів від наявності або відсутності драйверів або протоколів, що дозволяє вибирати устаткування і програмне забезпечення якнайповніше, що відповідає реальним потребам.

Приклад архітектури такої системи показаний на рисунку 4.4. Вона є достатньо загальною і широко використовується як для лабораторної автоматизації, так і для автоматизації технологічних процесів. Завдяки наявності мережі Ethernet в систему легко можуть бути включені сервери баз даних, комунікаційні сервери, сервери-веб, принтери, плоттери, АТС, факси, технологічне устаткування і інші пристрої з Ethernet-інтерфейсом .

Основою програмного забезпечення, встановленого на комп'ютерах мережі, є SCADA - пакети - програмні засоби диспетчерського управління і збору даних.

Аналіз складних систем управління дозволяє виділити в них декілька однорідних рівнів ієрархії. WAN (Wide Area Network) - глобальна мережа, LAN (Local Area Network) - локальна мережа.

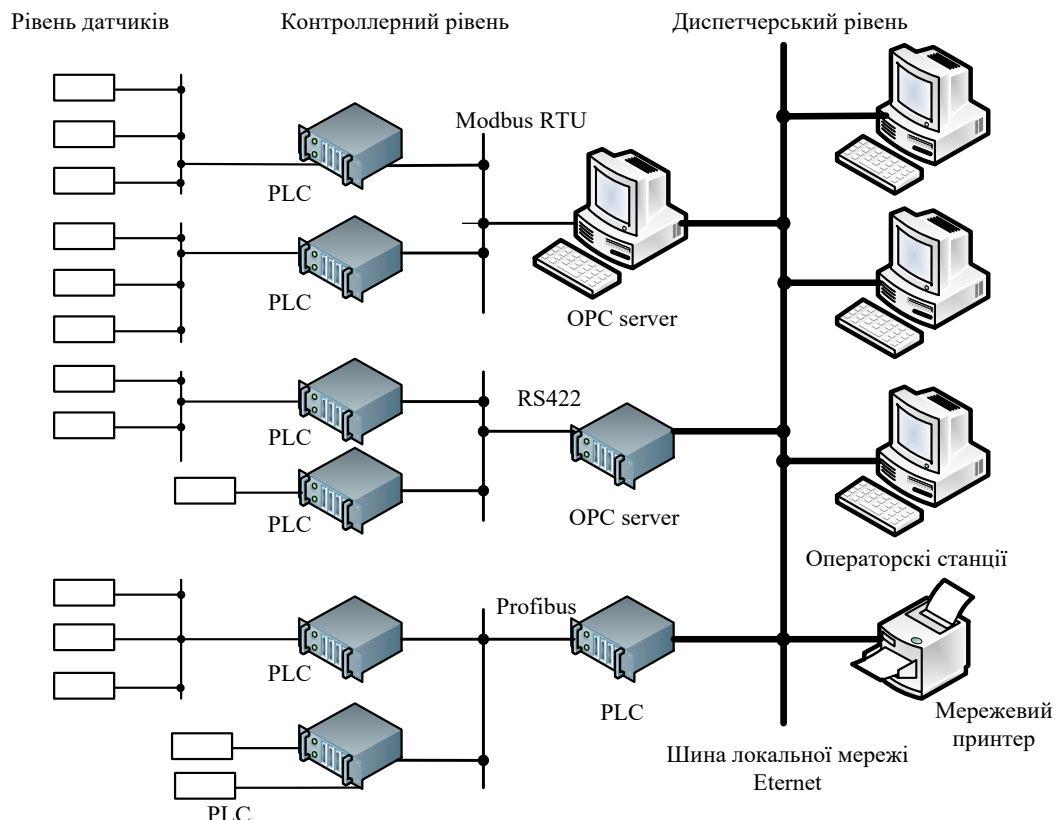


Рисунок 4.3 – Типова сучасна розподілена система автоматизації

Нижчий (нульовий) рівень включає датчики і виконавчі пристрой (актуатори): датчики температури, тиск, кінцеві вимикачі, дискретні датчики наявності напруги, вимірювальні трансформатори, реле-пускачі, контактори, електромагнітні клапани, електроприводи і ін. Датчики і актуатори можуть мати інтерфейси типу AS - інтерфейс (ASI), 1 - Wire або CAN, HART і ін. Перший рівень складається з програмованих логічних контролерів і модулів аналого-цифрового і дискретного введення-висновку, які обмінюються інформацією по промисловій мережі (Fieldbus) типу Modbus RTU, Modbus TCP, Profibus і ін. Іноді модулі вводу-виводу виділяють в окремий рівень ієархії.

Другий рівень складається з робочих станцій - комп'ютерів з людино-машинним інтерфейсом (LMI, HMI – Human Machine Interface), найпоширенішими варіантами якого є SCADA -пакети. Диспетчер (оператор) здійснює спостереження за ходом технологічного процесу або управління ним за допомогою мнемосхеми на екрані монітора комп'ютера. Диспетчерський комп'ютер виконує також архівацію зібраних даних, записує дії оператора, аналізує сигнали системи технічної діагностики, дані аварійної і технологічної сигналізації, сигнали спрацювання пристройв протиаварійних захистів, а також виконує частину алгоритмів управління технологічним процесом. Права операторів встановлюються засобами обмеження доступу мережевого серверу. Важливою частиною другого рівня є також бази даних реального часу, які є сховищами інформації і засобом обміну з третім рівнем ієархії системи управління.

4.3. Технічні характеристики та конструктивні особливості основних пристройв управління судна, системи контролю, сигналізації та внутрішнього зв'язку.

На судні встановлено машинний телеграф. Його прилади служать для безпосереднього управління системою ДАУ, передачі показників про режими ходу

судна з командних постів у виконавчі пости, та для отримання відповіді з виконавчих постів.

Енергоустаткування машинного телеграфу живляється перемінним струмом 440В або 220В через трансформатор. Час заспокоєння стрілок приладу не більше ніж за 3 сек.

До складу приладу входять:

- центральний командний прилад;
- бортові командні прилади;
- виконавчий прилад.
- приймач-передавач.

Система може працювати в режимі ДАУ та машинного телеграфу.

Службовий внутрішній зв'язок

При відсутності інших видів парного переговорного зв'язку повинен бути передбачений парний телефонний зв'язок між рулевою рубкою і постами керування головними механізмами, між рулевою рубкою і радіорубкою. При наявності на судні закритого або відкритого центрального поста керування повинен бути забезпечений парний переговорний зв'язок між ЦПУ і рулевою рубкою.

З цією метою можуть використовуватися незалежні телефонні парні зв'язки, або парний телефонний зв'язок між рулевою рубкою і центральним постом керування з паралельно підключеними і установленими на місцевих постах керування телефонами.

Крім пристройів зв'язку, вказаних вище, повинна бути передбачена окрема система телефонного зв'язку рулевої рубки з основними службовими приміщеннями і постами. Замість телефонів з цією метою можуть використовуватися двосторонні гучномовні пристрої. Системи службового зв'язку повинні забезпечувати можливість виклику абонента і чітке ведення переговорів в умовах специфічного шуму у містах розташування зв'язку. При установці апаратів службового телефонного зв'язку в приміщеннях з великою інтенсивністю шуму повинні бути прийняті міри для шумозаглушення, або передбачені допоміжні телефонні трубки. Для пристройів зв'язку повинні бути передбачені джерела

живлення, які б забезпечували їх роботу при відсутності живлення від загальних джерел живлення. Ушкодження одного апарату не повинно перешкоджати роботі інших апаратів зв'язку. Телефони, які передбачені для переговорів між рулевою рубкою і місцевими постами керування головними механізмами повинні бути обладнані звуковою і світовою сигналізацією.

Авральна сигналізація

Всі судна повинні мати авральну сигналізацію, яка передбачує надійну чутність в усіх місцях судна. Система авральної сигналізації повинна живитися від судової мережі, а також від шин аварійного розподільного щита. Звукові пристрої авральної сигналізації повинні мати яскраві, добре видимі відмітні позначення.

Система аварійно-попереджувальної сигналізації (АПС)

Система аварійно-попереджувальної сигналізації повинна бути незалежною від систем керування і захисних пристрій. Система АПС повинна одночасно подавати звукові і світові сигнали. Світові сигнали повинні показувати причину спрацьовування АПС і, як правило, повинні бути виконані у режимі мигаючого світла.

4.4. ГМЗСБ і навігація. Технічні характеристики та конструктивні особливості електро-радіо-навігаційних пристрій та радіозв'язку

Глобальна морська система зв'язку при лиху та забезпечення безпеки мореплавання (ГМЗЛБ), що використовує сучасні системи цифрової та супутникового радіозв'язку. Обладнання системи дозволило на морських суднах і берегових радіостанціях перейти на автоматизований спосіб прийому сигналів лиха, підвищити достовірність та оперативність зв'язку.

Відповідно до доповнень 1988 до міжнародної конвенції СОЛАС обладнання для ГМЗСБ має бути впроваджене на судах поетапно в період з 1 лютого 1992 по 31 січня 1999 року. Будь-яке судно, що підпадає під вимоги Конвенції, на якому до 1 лютого 1999 не буде встановлено обладнання ГМЗЛБ, позбавляється Сертифікату Безпеки по радіозв'язку.

Вимоги ГМССБ поширюються на:

всі пасажирські судна і вантажні судна валовою місткістю понад 300 тон, які здійснюють міжнародні рейси;

неконвенційні судна (каботажні, рибальські і т.п.) - за рішенням адміністрації країни реєстрації.

У ГМЗСБ задіються супутникові та наземні системи зв'язку.

Супутникові системи зв'язку - ІНМАРСАТ і КОСПАС-САРСАТ.

ІНМАРСАТ заснована на використанні геостаціонарних супутників і працює в діапазонах частот 1,5 і 1,6ГГц. Вона забезпечує оповіщення про лихо, переданому судном, з використанням суднової земної станції (СЗС) або супутникового аварійного радіобуя (АРБ) і можливість двостороннього зв'язку з абонентом;

КОСПАС-САРСАТ заснована на використанні низькоорбітальних супутників на біляполярній орбіті і працююча в діапазоні частот 406,0-406,1 МГц. Система забезпечує оповіщення про лихо і визначення місця розташування супутників АРБ, що працюють в даній системі.

Наземні системи зв'язку, що використовують традиційні засоби радіозв'язку, в діапазонах УКХ, ПХ / КХ та СХ діапазонах:

морська рухома служба в смузі частот 156-174 МГц (УКХ діапазон), що забезпечує оповіщення про лиxo в режимі цифрового виборчого виклику (ЦІВ) і зв'язок в режимі телефонії на близких відстанях;

морська рухома служба в смузі частот 4 - 27,5 МГц (КХ діапазон), що забезпечує оповіщення про лиxo в режимі ЦІВ і зв'язок в режимах телефонії і буквопечатання на далеких відстанях;

морська рухома служба в смузі частот 415-535 кГц (СХ-діапазон) та 1605 - 4000 кГц (ПХ діапазон), що забезпечує оповіщення про лиxo в режимі ЦІВ і зв'язок в режимах телефонії і буквопечатання на середніх відстанях.

Кожне судно повинно бути обладнане зв'язковий апаратурою відповідно до районом плавання.

Кожне судно незалежно від району плавання повинне бути оснащене:

УКВ-радіоустановкою, здатної передавати і приймати:

в режимі ЦІВ на частоте 156,525 МГц (канал 70)

по радіотелефону на частотах 156,3 МГц (канал 6), 156,65 МГц (канал 13) і 156,8 МГц (канал 16)

нести вахту в режимі ЦІВ на каналі 70

Радіолокаційним маяком-відповідачем, що працює в діапазоні 9 ГГц.

Приймачем НАВТЕКС. Якщо район плавання не обслуговується НАВТЕКС, то судно має бути оснащене приймачем РГВ або приймачем ІБМ на КВ.

Аварійним радіобуя АРБ.

Портативними аварійними УКВ радіостанціями.

На кожному судні повинне бути передбачено резервне джерело енергії для живлення радіоустановок, що забезпечують зв'язок у разі виходу з ладу головного та аварійного джерел енергії.

Ємність резервного джерела повинна бути достатньою для одночасної роботи УКХ радіоустановки і, залежно від морського району для якого обладнано судно, або ПХ радіоустановки, або ПХ / КХ радіоустановки, або судновий земної станції ІНМАРСАТ, а також будь-який з додаткових навантажень, підключених до резервного джерела живлення. Якщо в якості резервного джерела енергії використовується акумуляторна батарея, вона повинна мати достатню ємність і повинні бути передбачені засоби для її автоматичної зарядки до мінімально необхідної ємності протягом 10 годин.

Мінімальний склад радіообладнання в залежності від района плавання:

УКХ радіоустановка з ЦІВ

Приймач НАВТЕКС

Радіолокаційний маяк

Аварійний радіобуй

Портативні аварійні радіостанції

УКХ приймач

ПХ радіоустановка з ЦІВ

ПХ/КХ радіоустановка з ЦІВ

Суднова супутникова станція ІНМАРСАТ

УКХ-радіоустановка

УКХ-радіоустановка забезпечує радіотелефонний зв'язок і цифровий виборчий виклик (ЦІВ) на відстані 20-30 морських миль. УКХ радіоустановка консолі Sailor H2192 включає в себе:

- прийомопередавач з антеною, телефонною слухавкою і вбудованим або виносним гучномовцем - RT2048;
- пристрій ЦІВ і спеціальний приймач для несення безперервної вахти на 70 каналі в режимі ЦІВ - RM +2042.

Радіоустановка працює на міжнародних частотах у діапазоні морської рухомої служби 156-174 МГц. Антени радіостанції мають вертикальну поляризацію і кругову діаграму спрямованості.

ПХ радіоустановка

ПХ радіоустановка забезпечує радіотелефонний зв'язок ЦІВ на відстані до 100 морських миль. ПХ радіоустановка повинна:

- передавати і приймати на частоті 2187,5 кГц в режимі ЦІВ і на частоті 2 182 кГц в режимі телефонії;
- нести безперервну вахту в режимі ЦІВ на частоті 2187,5 кГц;
- забезпечувати передачу і прийом общий кореспонденції в режимах радіотелефону або УБПЧ.

Вона містить в собі:

- прийомопередавач з антеною, пультом управління, мікротелефонної слуховкою і вбудованим або виносним гучномовцем;
- пристрій ЦІВ (вбудоване або окреме);
- приймач для несення безперервної вахти ЦІВ на частоті лиха 2187,5 кГц.

Радіоустановка працює на виділених для морської рухомої служби частотах в діапазоні 1605 - 4000 кГц

ПХ / КХ-радіоустановка

ПХ / КХ-радіоустановка забезпечує радіотелефонний зв'язок, вузькосмугове буквопечатання та ЦІВ на великих відстанях. ПХ / КХ радіоустановка повинна:

- передавати і приймати на частотах лиха і безпеки в діапазонах 1605 - 4000 кГц і 4000 - 27500 кГц в режимах ЦІВ, телефонії і УБПЧ;
- нести безперервну вахту з режимі ЦІВ на частотах 2187,5 кГц, 8414,5 кГц і принаймні еще одній частоті лиха і безпеки ЦІВ в діапазоні 4, 6, 12 або 16 МГц;
- забезпечувати передачу і прийом загальної кореспонденції в режимах радіотелефону або УБПЧ в ПВ і КВ діапазонах.

Для консолі Sailor H2192 вона включає в себе:

- пріємовозбудітель з антеною, пультом управління, телефонною слухавкою і вбудованим або виносним гучномовцем-RE2100;
- пристрій ЦІВ Телекс - RM2151;
- приймач для несення безперервної вахти ЦІВ на частотах лиха 2187,5 кГц, 4207,5 кГц, 6312 кГц, 8414,5 кГц, 12577 кГц і 16804,5 кГц - RM2150;
- пристрій вузькосмугового буквопечатання (УБПЧ).

Радіоустановка працює на виділених для морської рухомої служби частотах у діапазоні 1605 - 27500 кГц.

Аварійний радіобуй (АРБ)

АРБ супутникової системи зв'язку КОСПАС / САРСАТ забезпечує передачу повідомлень про лихо через систему супутників на біля полярних орбітах і працює в діапазоні 406 МГц. Даний радіобуй придатний для судів будь-якого району плавання.

Технічні характеристики переданого повідомлення і формат повідомлення відповідають рекомендації 633 МККР. До складу повідомлення входить ідентифікаційний номер, який прошивается в пам'яті радіобуя і вказується у формулярі на виріб. За цим номером проводиться упізнання судна рятувально-координаційним центром та пошуково-рятувальними службами.

Аварійний радіобуй повинен автоматично вмикатися після вільного спливання. Пристрій відділення АРБ повинно забезпечувати його автоматичне відділення від тонучого судна. Механізм відділення повинен спрацьовувати на глибині від 1,5 до 4-х метрів при будь-якої орієнтації судна.

Джерело живлення повинен мати достатню ємність для забезпечення роботи АРБ протягом принаймні 48 годин.

Радіолокаційний маяк-відповідач

Радіолокаційний маяк-відповідач (РЛМВ) забезпечує визначення розташування суден, що терплять лихо, за допомогою передачі сигналів, які на екрані радіолокаційної станції представлені серією точок, розташованих на рівній відстані один від одного в радіальному напрямку. РЛМВ працює в діапазоні 9,2 - 9,5 ГГц.

На кожному борту будь-якого пасажирського судна і вантажного судна валовою місткістю 500 рег. тон і більше повинні матися принаймні два РЛМО. На суднах валової місткості від 300 до 500 рег. тон повинен матися принаймні один РЛМВ. РЛО повинні бути встановлені в таких місцях, звідки вони можуть бути швидко перенесені в рятувальну шлюпку або пліт. Висота встановленої антени відповідача повинна бути принаймні на 1 метр вище рівня моря. При цьому він забезпечує нормальну роботу на відстані не менше 5 морських миль при запиті суднового радара, антена якого встановлена на висоті 15 метрів і не менше 30 морських миль при запиті авіаційного радара з потужністю імпульсу не менше 10 кВт, встановленого на борту літального апарату, що перебуває на висоті 1000м.

Приймач служби НАВТЕКС

НАВТЕКС (навігаційний телекс) - міжнародна автоматизована система передачі навігаційних і метеорологічних попереджень і термінової інформації в режимі вузькосмугового букводрукування. Служба використовує спеціально виділену для цих цілей частоту 518 кГц, на якій берегові станції передають інформацію англійською мовою, розподіливши, щоб уникнути взаємних перешкод,

час роботи кожної станції за розкладом. НАВТЕКС є компонентом Всесвітньої служби навігаційних попереджень, прийнятої Резолюцією Асамблеї А.419 (XI), і входить до складу ГМЗСБ.

Однією з характерних особливостей розвитку сучасного морського флоту є підвищення швидкості судна. Це створило перед навігаційним обладнанням складну задачу – забезпечити безпеку мореплавання суден. У рішенні цієї задачі важливе місце займає створення гірокомпасів, які могли б при високій швидкості і відповідно кращій маневреності суден, видавати справжній курс з високою точністю. На судні встановлено два гірокомпаси типу ANSHUTZ St.4 DHI-02G та TOKIMEC TG-3000, а також магнітний компас John Lilley & Gillie Type SR.2, для забезпечення утримання курсу судна. На крилах містка встановлено по одному репітеру для пеленгування. Репітери встановлено також і в навігаційній рубці, та рульовий. Живлення гірокомпаса здійснюється трифазним струмом через понижувальний трансформатор 440/115В.

Лаг – це пристрій необхідний для вимірювання швидкості ходу судна. Принцип роботи сучасних пристрій побудований на вимірюванні напору води або гідролокації морського дна. Найбільш розповсюджений лаг представляє собою вертушку, яка крутиться під напором води. Число обертів вертушки за одиницю часу визначається за допомогою електронного або механічного пристрій. Зазвичай вертушка кріпиться на корпусі судна, але на малих суднах використовують портативний варіант лагу, в якому вертушка викидається за корму на тросі, а замірювальний механізм знаходитьться в руках у матроса. На судні встановлено гідродинамічний лаг типу Doppler Speed Log FURUNO DS-70, призначений для вимірювання швидкості судна та пройденої відстані.

Показники швидкості встановлено у машинному відділенні. Показники швидкості та пройденої відстані встановлено також і в навігаційній рубці. Схема лагу отримує живлення від щита навігаційних пристрій напруженням 220В перемінного струму.

Ехолот – це прилад, необхідний для вимірювання глибини, розпізнання рельєфу дна. Для проведення аналізу підводних просторів ехолоти використовують датчики, які посилають ультразвукові хвилі за допомогою одного або декількох промінів та приймають віддзеркалені сигнали назад. На основі даних про час проходження цих хвиль і виводяться дані о глибині, рельєфі і структурі дна, наявності різного роду перешкод на шляху промінів, які пізніше ідентифікуються – риба, підводні каміння і т.д. На судні встановлено ехолот типу ELAC NAUTIC LAZ-5000, призначений для вимірювання глибини. До складу цієї системи входить кольоровий TFT Дисплей, який дає змогу постійного наочного моніторингу. Вібратор-випромінювач та приймач встановлені в шахті лагу. Самописець та показчик глибини встановлено у стерновій рубці. Схема отримує живлення від щита навігаційних приладів напруженням 220В перемінного струму.

Для забезпечення безпеки плавання судна у відкритому морі, у вузкостях, в умовах поганої погоди чи видимості на судні встановлено сучасні антени AIS TRANSPONDER SAAB R4-AIS. Приймально-передаючий пристрій знаходитьться в приміщенні високочастотних блоків. Індикатори відносного руху встановлено в навігаційній рубці. Живлення AIS здійснюється від суднової мережі трифазного струму 220В, через перетворювач AT-04-400-51, який знаходитьться в приміщенні агрегатної радіозв'язку.

У таблиці 4.1 приведено перелік радіонавігаційного обладнання.

Таблиця 4.1 – Перелік радіонавігаційного обладнання

No.	Найменування	Кількість	Виробник	Модель
1	PA System	1	Right Sound	DGRS-800/C
2	Internal Telephone System	1	Panasonic	KX-TD500
3	GMDSS Inmarsat-C	2	Sailor	H2095C
4	GMDSS Printers for Inm-C	2	Sailor	H1252B
5	GMDSS MF/HF RTF/DSC	1	Sailor	HC4500B
6	GMDSS VHF RTF/DSC	2	Sailor	RT4822

7	GMDSS Alarm Panel	1	Sailor	AP4365
8	GMDSS Battery	2	EAS	Type 66015 12V 160 Ah.
9	GMDSS AC Power Supply Console	1	Sailor	PS 4655
10	GMDSS Portable VHF Tranceivers for Survival Craft	3	ICOM	IC-GM 1500E
11	GMDSS Aeronautical	1	ICOM	IC-A22E
12	EPIRB	1	KANNAD	406 SV
13	EPIRB	1	KANNAD	406 GPS
14	SART	2	McMurdo	RT9-3
15	Ship Security Alert System	1	Sky Wave	DMR-200C
16	IRIDIUM	1	Nal Research Corp.	A3LA-X
17	Voyage Data Recorder	1	Rutter	VDR-100
18	AIS TRANSPONDER	1	SAAB	R4-AIS
19	Radar X-Band	1	JRC	JMA-9922-6XA
20	Radar S-Band	1	Sperry Marine	Bridge Master
21	GPS	1	SIMRAD	GN 33
22	GPS	1	SIMRAD	GN 30
23	Girocompass	1	ANSHUTZ	St.4 DHI-02G
24	Girocompass	1	TOKIMEC	TG-3000
25	Magnetic Compass	1	John Lilley & Gillie	Type SR.2
26	Magnetic Compass (spare)	1	John Lilley & Gillie	Type SR.2
27	Magnetic Compass for LifeBoat	6	ZHANHUI	CPT 4-100
28	Magnetic Compass for LifeBoat	1	EEC	13-16
29	Magnetic Compass for LifeBoat	2	SESTREL	

30	Magnetic Compass for LifeBoat	1	RIVIERE GENOVA URANIA	-
31	BNWAS	1	FURUNO	BR-500
32	LRIT	1	Sailor	TT-3020C
33	Echosounder	1	ELAC NAUTIC	LAZ-5000
34	Doppler Speed Log	1	FURUNO	DS-70
35	NAVTEX	1	JRC	NCR-330
36	VHF RTF	1	Sailor	RT2048
37	Weather Facsimile Receiver	1	FURUNO	FAX-208 A/N
38	Digital El. Anemometer	1	WALKERS	7070

5. ОХОРОНА ПРАЦІ

5.1. Шкідливі та небезпечні виробничі фактори, класифікація за джерелами і властивостями

Шкідливий виробничий фактор - виробничий фактор, вплив якого на працюючого, в певних умовах, призводить до захворювання або зниження працездатності.

Небезпечний виробничий фактор - виробничий фактор, вплив якого на працюючого, в певних умовах, призводить до травми або іншого ралтового погіршення здоров'я.

Шкідливий виробничий фактор, в залежності від інтенсивності та тривалості впливу, може стати небезпечним.

Під ідентифікацією розуміють процес виявлення і встановлення кількісних, тимчасових, просторових та інших характеристик, які необхідні та достатні для розробки профілактичних і оперативних заходів, спрямованих на забезпечення життедіяльності.

У процесі ідентифікації виявляють:

- номенклатуру небезпек;
- ймовірність прояви небезпек;
- просторову локалізацію (координати) небезпек;
- можливі збитки та інші параметри.

Головним є встановлення причини прояви небезпек.

Причини характеризують сукупність обставин, завдяки яким небезпеки проявляються і викликають ті чи інші небажані наслідки (травми, захворювання, загибель, збиток, тощо).

Небезпека, причини, наслідки є основними характеристиками таких подій як нещасний випадок, надзвичайна ситуація, пожежа.

Небезпека - причини – слідства нещасний випадок, надзвичайна ситуація, пожежа.

Тріада "небезпека-причини-небажані наслідки" - це логічний процес розвитку, який реалізує потенційну небезпеку у реальний збиток (наслідки).

Одна і та ж небезпека може реалізовуватися в небажану подію через різні чинники. Поняття "небезпека" включає в себе ступінь незахищеності при наявності джерела небезпеки.

Джерело небезпеки - це явище, процес, предмет, що містить фактори, що ушкоджують.

Ушкоджує (травмує) фактор - це явище, предмет, власне заподіює пошкодження.

Приклади джерел небезпеки та факторів наведені в таблиці 5.1.

Небезпечні та шкідливі виробничі фактори поділяються за своєю природою дії на наступні групи:

- фізичні;
- хімічні;
- біологічні;
- психофізіологічні.

Фізичні небезпечні та шкідливі виробничі фактори поділяються на такі:

- рухомі машини та механізми;
- рухомі частини виробничого обладнання;
- пересування виробів, заготовок, матеріалів;
- руйнування конструкцій;
- обрушенння гірської породи;

Таблиця 5.1

Джерело небезпеки	Небезпека (потенційний надзвичайний випадок)	Фактор який ушкоджує
ємність з газом під тиском	механічний вибух, витік з ємності	летячи осколки, токсичний газ
електроустановка	замикання на корпус	електричний струм
підйомний кран	обрив троса	вантаж який падає
нагрітий колектор	пошкодження ізоляції	підвищена температура
ядерна установка	попадання в заборонену зону, вибух	радіація
вибухонебезпечна суміш	хімічний вибух	ударна хвиля

- підвищена запиленість та загазованість повітря робочої зони;
- підвищена або знижена температура поверхонь обладнання, матеріалів;
- підвищена або знижена температура повітря робочої зони;

- підвищений рівень шуму на робочому місці;
- підвищений рівень вібрації;
- підвищений рівень інфразвукових коливань;
- підвищений рівень ультразвуку;
- підвищений або знижений барометричний тиск у робочій зоні та його різка зміна;

- підвищена або знижена вологість повітря;

- підвищена або знижена рухомість повітря;

- підвищена або знижена іонізація повітря;

- підвищений рівень іонізуючого випромінювання у робочій зоні;

- підвищене значення напруги у електричному ланцюзі, замикання якого може

- відбутися через тіло людини;
- підвищений рівень статичної електрики;
 - підвищений рівень електромагнітного випромінювання;
 - підвищена напруженість електричного поля;
 - підвищена напруженість магнітного поля;
 - відсутність або недостатність природного світла;
 - недостатня освітленість робочої зони;
 - підвищена яскравість світла;
 - знижена контрастність;
 - прямий та відбитий блиск;
 - підвищена пульсація світлового потоку;
 - підвищений рівень ультрафіолетового випромінювання;
 - підвищений рівень інфрачервоного випромінювання;
 - гострі кромки, задирки та шорсткість на поверхнях заготовок, інструментів та

обладнання;

- розташування робочого місця на значній висоті відносно землі (підлоги);
- невагомість.

Хімічно небезпечні та шкідливі виробничі фактори поділяються:

за характером впливу на організм людини на:

- токсичні;
- дратівливі;
- сенсибілізуючі;
- канцерогенне;

- мутагенні;
- впливають на репродуктивну функцію; по шляху проникнення в організм людини через:
- органи дихання;
- шлунково-кишковий тракт;
- шкірні покриви і слизові оболонки.

Біологічні небезпечні та шкідливі виробничі фактори включають наступні біологічні об'єкти:

- патогенні мікроорганізми (бактерії, віруси, рикетсії, спірохети, гриби, найпростіші) та продукти їх життєдіяльності;
- мікроорганізми (рослини і тварини).

Психофізіологічні небезпечні та шкідливі виробничі фактори за характером дії

поділяються на такі:

- фізичні перевантаження;
- нервово-психічні перевантаження.

Фізичні перевантаження підрозділяються на:

- статичні;
- динамічні.

Нервово-психічні перевантаження підрозділяються на:

- розумове перенапруження;
- перенапруження аналізаторів;
- монотонність праці;
- емоційні перевантаження.

Один і той же небезпечний та шкідливий виробничий фактор за природою своєї дії може належати одночасно до різних груп.

Між шкідливими та небезпечними виробничими факторами спостерігається певний взаємозв'язок. У багатьох випадках наявність шкідливих факторів сприяє прояву травмонебезпечних факторів. Наприклад, надмірна вологість в виробничому приміщенні та наявність струмопровідного пилу (шкідливі фактори) підвищують небезпеку ураження людини електричним струмом (небезпечний фактор).

Рівні впливу на працюючих шкідливих виробничих факторів нормовані допустимими рівнями, значення яких наведені у системі стандартів безпеки праці та санітарно-гігієнічні правила.

ГДК (гранично-допустима концентрація) - встановлений безпечний рівень речовини у повітрі робочої зони (можливо у ґрунті, воді, снігу) дотримання якого дозволяє зберегти здоров'я працівника протягом робочої зміни.

ГДУ (гранично-допустимий рівень) - характеристика, що застосовується до фізичних небезпечних та шкідливих виробничих факторів (по ГОСТ 12.0.002-80) - це граничне значення величини шкідливого виробничого фактору, вплив якого при щоденній регламентованої тривалості протягом усього трудового стажу не призводить до зниження працездатності та захворювання як в період трудової діяльності, так і наступний період життя.

Шкідливі умови праці - це умови праці, що характеризуються наявністю шкідливих виробничих факторів, що перевищують гігієнічні нормативи та погано впливають на організм працюючого та (або) його потомство.

5.2. Класифікація пожеж

Пожежа - це неконтрольоване горіння поза спеціальним вогнищем, що розповсюджується в часі та просторі. Слід зазначити, що пожеж безпечних не буває. Якщо вони і не створюють прямої загрози життю та здоров'ю людини (наприклад, лісові пожежі), то завдають збитків довкіллю, призводять до значних матеріальних втрат.

Під час пожежі відбуваються певні хімічні та фізичні явища:

- хімічна реакція горіння;
- виділення і передача тепла;
- виділення і поширення продуктів горіння;
- газовий обмін.

Характер і масштаби горіння під час пожежі залежать від таких чинників:

-агрегатного стану горючих матеріалів (найбільш вибухопожежонебезпечними є газоподібні горючі речовини);

- особливостей розміщення пожежного навантаження (розосереджене в приміщенні та займає більшу частину площині, зосереджене в одній або декількох ділянках приміщення та займає меншу частину площині);

- об'ємно-планувальних особливостей об'єкта пожежі;
- метеорологічних умов.

Вищезазначені чинники спричиняють особливості газового обміну та димоутворення, температурний режим та види теплообміну.

Газообмін на пожежах може бути вільним, розвиненим або обмеженим, а теплообмін - здійснюватися конвекцією, випромінюванням та теплопередачою.

Характер газового та теплового обмінів суттєво залежить від об'ємно-планувальних особливостей об'єкта пожежі. Виходячи з такого твердження, пожежі за умовами газового та теплового обмінів, а також об'ємно-планувальними особливостями підрозділяються на групи та підгрупи (рис. 9.1).

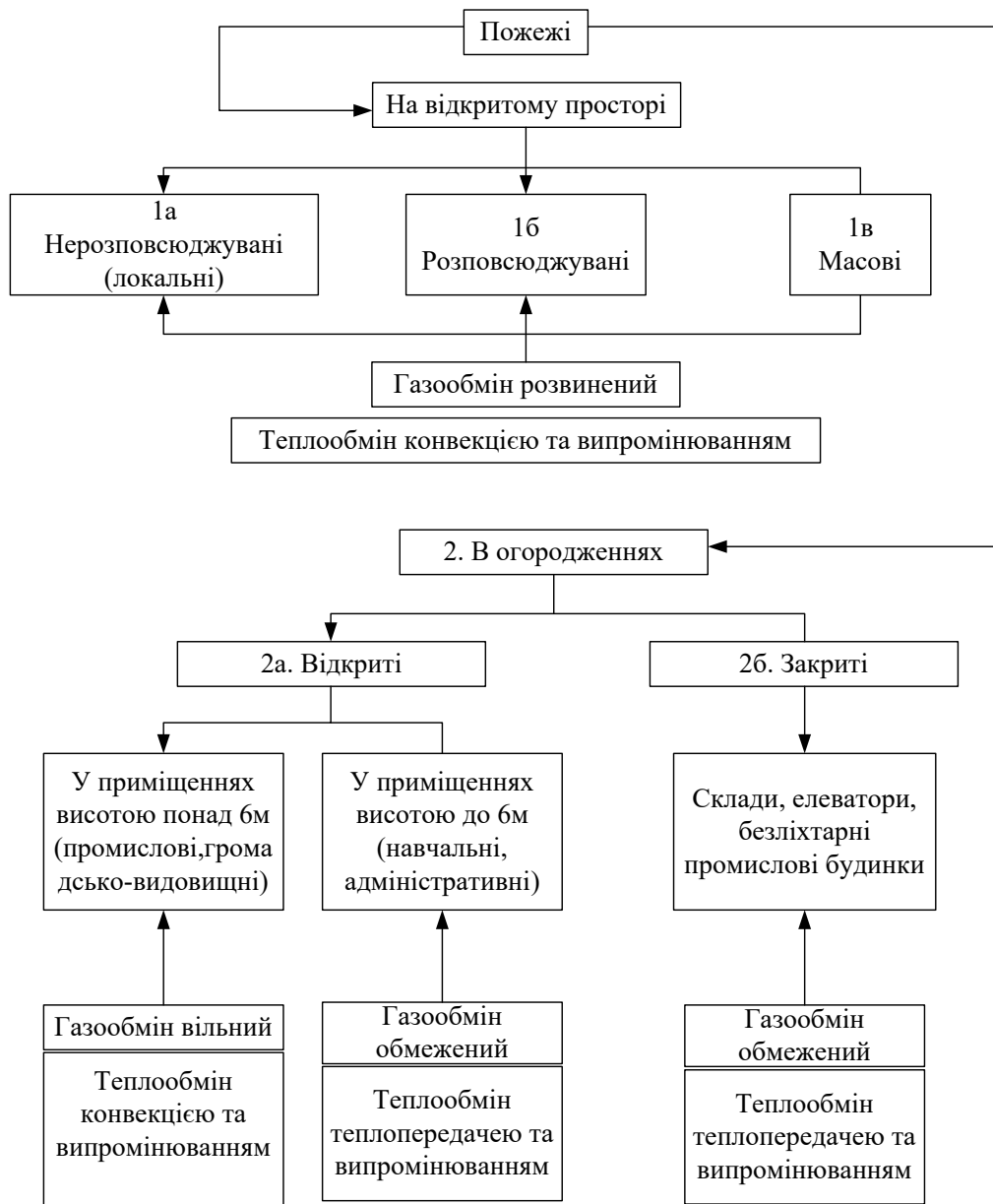


Рисунок 9.1 – Розподіл пожеж на групи та підгрупи за умовами газового та теплового обмінів, а також об'ємно-планувальними особливостями об'єкта пожежі

Пожежі за місцем виникнення підрозділяються на дві групи:

- пожежі на відкритому просторі (наприклад, лісові, степові, на хлібних полях);
- пожежі в огорожах, які виникають та розвиваються всередині будівель та споруд.

Пожежі I групи

На відкритому просторі, характеризуються розвиненим газообміном, переважає теплообмін конвекцією та випромінюванням.

Нерозповсюджувані (локальні) пожежі підгрупи 1а мають незмінні розміри. Вони являють собою окремий випадок пожеж, коли не відбувається загоряння навколоїшніх об'єктів унаслідок променистого тепла.

Розповсюджувані пожежі підгрупи 1б характеризуються геометричними параметрами, які збільшуються у часі. Розповсюдження пожеж на великому просторі відбувається за різними напрямками та з різною швидкістю залежно від умов теплообміну, величини відстаней між об'єктами, напрямку та сили вітру, інших чинників. Пожежі цієї групи характерні для складів лісоматеріалів, будівель у районах старої міської забудови з вузькими вулицями, на хлібних полях тощо.

Масова пожежа підгрупи 1в - це сукупність суцільних та окремих пожеж у будинках або різноманітних горючих матеріалів на відкритих складах. Утворюється загальна зона газифікації палаючих будівель та споруд за умови невеликого вітру або штилю. Окремі пожежі утворюють єдиний турбулентний факел полум'я з потужною конвективною колонкою.

Пожежі II групи

Такі пожежі в огороженнях поділяються на відкриті та закриті. Залежно від об'ємно-планувальних особливостей та наявності отворів пожежі цієї групи характеризуються вільним або обмеженим газообміном. Теплообмін відбувається конвекцією, випромінюванням або теплопередачою.

Відкриті пожежі підгрупи 2а (наприклад, у адміністративних приміщеннях) розвиваються за умови повністю або частково відкритих отворів. Горіння швидко поширюється, переважно в бік відчинених отворів.

Газообмін може здійснюватися у межах висоти віконних отворів, які розташовані на одному рівні в приміщеннях шкіл, лікарень, побутових та адміністративних приміщень, висотою до 6 м, через загальний еквівалентний отвір.

Для приміщень висотою понад 6 м, у яких отвори в огороженнях розташовані на різних рівнях, існують значні відстані між центрами припливних та витяжних отворів, характерні значні перепади тиску за висотою. Тому газові потоки переміщуються вільно із значними швидкостями, відповідно швидше вигорає пожежне навантаження.

Закриті пожежі підгрупи 2б (наприклад, у складах) відбуваються за умови повністю зачинених отворів у огорожувальних конструкціях. Має місце обмежений газообмін унаслідок інфільтрації повітря та газів, що виділяються із

зони горіння, через нещільноті в огороженнях, притворах дверей, віконних рам, а також витяжну вентиляцію (за наявністю).

Простір, у якому розвивається пожежа, умовно поділяють на три основні зони (рисунок 9.2): горіння, теплової дії та задимлення.

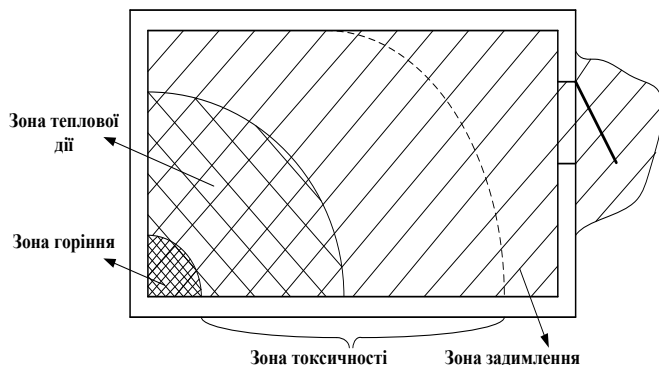


Рисунок 9.2 – Зони пожежі

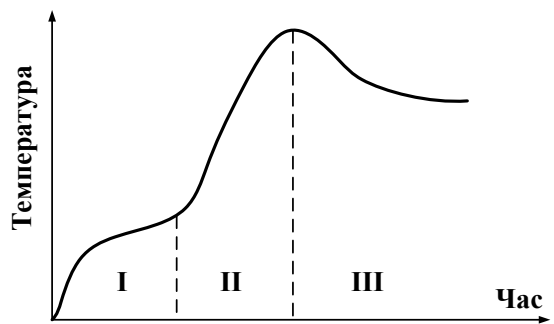


Рисунок 9.3 – Основні фази розвитку пожежі в приміщенні: I - початкова; II - основна; III - кінцева

Зона горіння - це активна частина простору пожежі, в якій безпосередньо відбувається горіння. Вона може обмежуватися огорожувальними конструкціями будівлі (приміщення), стінками технологічного устаткування. Ця зона розвивається за рахунок зони теплової дії, в якій формуються умови для подальшого поширення полум'я.

Зона теплової дії - це прилеглий до зони горіння простір, в якому проходить тепловий обмін між зоною горіння та навколоишнім середовищем, конструкціями та матеріалами. Межі такої зони визначаються гранично допустимими значеннями теплових потоків і температур для людей, конструкцій та горючих матеріалів.

Зона задимлення - це прилеглий до зони горіння простір, заповнений димовими газами у таких концентраціях, що створюють загрозу для життя та здоров'я людей або ускладнюють дії пожежних підрозділів. Ця зона включає в себе зону теплової дії та за розмірами перевищує її. Зовнішніми межами зони задимлення вважаються місця, де видимість предметів становить 6-12 метрів, концентрація кисню в задимленому середовищі не менше 16 %, токсичність газів не є небезпечною для людей, що знаходяться без засобів захисту органів дихання.

Чим більше діє зона горіння, тим вищою є концентрація димових газів. Тому іноді виділяють ще й зону токсичності - частину зони задимлення, в якій концентрація токсичних продуктів горіння є небезпечною для життя людей, які не мають засобів захисту органів дихання.

Якщо пожежа відбувається в приміщенні, то можна виділити три основні фази її розвитку: початкову, основну та кінцеву. Основні фази розвитку пожежі в приміщенні показано на рисунку 9.3

У початковій фазі полум'я поширюється по площині приміщення від осередку займання. Температура в приміщенні при цьому поступово підвищується. Тривалість початкової фази становить від 2 до 30% загального часу пожежі. Наприкінці цієї фази починає різко підвищуватися температура в зоні горіння, а полум'я поширюється на більшу частину горючих матеріалів і конструкцій.

Під час основної фази розвитку пожежі вигорає 80-90% пожежного навантаження, що знаходиться в приміщенні. У цей період середньо об'ємна температура в приміщенні підвищується до максимуму, а небезпечні чинники пожежі набувають найбільших значень. Саме в цей період створюються умови для досягнення межі вогнестійкості будівельних конструкцій, що може привести до їх руйнування. В основній фазі розвитку пожежі найважче проводити процес гасіння, тому доцільно не допускати переходу до цієї фази.

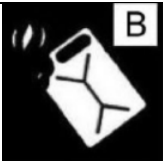
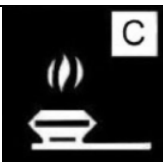
У кінцевій фазі відбувається догорання матеріалу, а горіння волокнистих матеріалів переходить у тління. Температура починає поступово знижуватися.

Про розвиток та особливості протікання пожежі в будівлях і спорудах можна судити за певними зовнішніми ознаками пожежі. Так, різке падіння висоти полум'я з вікон будівлі, що горить, свідчить про обвалювання огорожувальних конструкцій у будівлі; поступове зниження висоти полум'я з вікон - про закінчення вигорання внутрішньої начинки будівлі; різке зростання висоти полум'я з вікон - про надходження свіжого повітря в зону горіння; велика кількість густого диму з вікон - про недостатню кількість повітря в зоні горіння.

Відповідно до міжнародного стандарту ISO № 3941-77 та ГОСТ 27331-87, залежно від характеристики горючих речовин та матеріалів або об'єкта, що горить, пожежі підрозділяються на п'ять класів: А, В, С, D, Е (таблиця 9.1). Кожному класу пожежі (крім Е) відповідає свій графічний символ.

Таблиця 9.1 – Класифікація пожеж

Клас пожежі	Символ класу пожежі	Характеристика горючих речовин та матеріалів або об'єкта що горить
А		Тверді речовини, переважно органічного походження, горіння яких супроводжується тлінням (деревина, текстиль, папір та інші.)

B		Легкозаймисті та горючі рідини, а також тверді речовини які розтоплюються (нафтопродукти, спирти, стеарин, каучук, деякі синтетичні матеріали та інші.)
C		Горючі гази (водень, ацетилен, вуглеводні та інше)
D		Метали та їх сплави (калій, натрій, алюміній, магній тощо).
E		Електроустановки під напругою

5.3. Призначення та зміст плану управління енергоефективності судна.

В останні роки все більше фактів свідчать про істотні зміни у поглядах і підходах до вирішення проблем в електроенергетичному комплексі. Зазначена тенденція базується на еволюційному розвитку технологій в силовій електроніці, нових високопродуктивних накопичувачах енергії та все більшому застосуванню альтернативних джерел електроенергії.

Ефективність використання енергії в контексті морського транспорту, якого вимагає Міжнародна морська організація (IMO), оцінюється Індексом розрахунку енергоефективності (EEDI) і Операційним показником енергоефективності (EEOI), аналіз яких дозволяє застосувати системний підхід до вирішення енергоекологічних завдань і сформулювати шляхи зниження цих коефіцієнтів [1].

На цей час пропонується кілька методів подальшого підвищення ефективності використання палива на судах з електрорухом [2]:

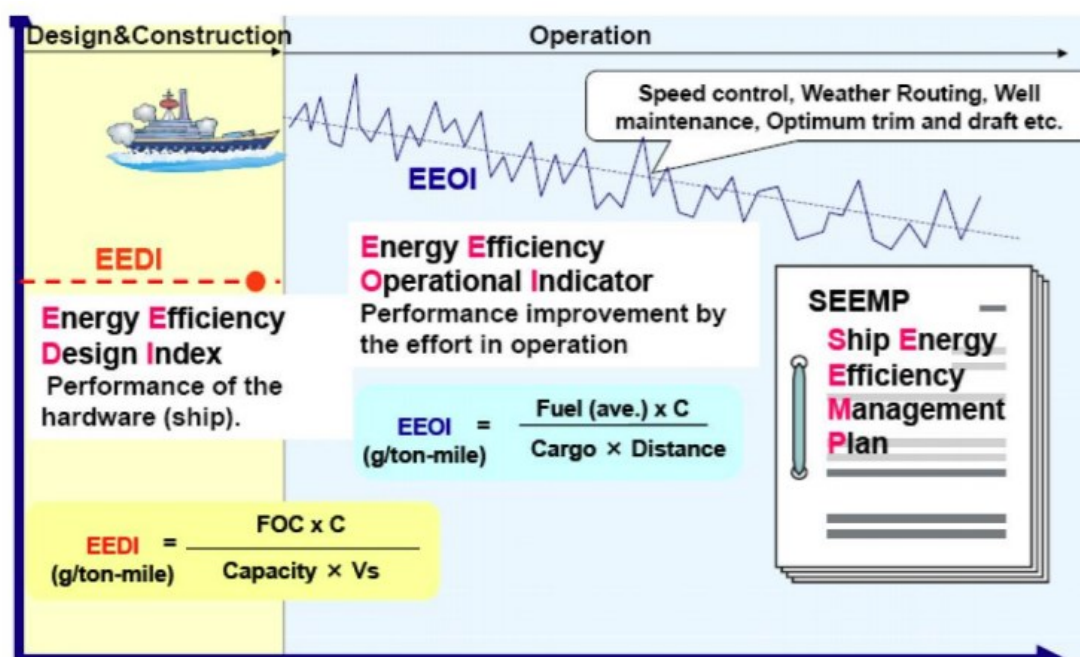
- інтеграція систем накопичення енергії;
- впровадження розподілу постійного струму;
- оптимальне управління розподілом і використанням енергії;
- вдосконалення методів експлуатації на існуючих звичайних судах.

Дослідники енергетичних проблем в морській індустрії звертають увагу на переваги впровадження на судах, поряд з «klassичними» мережами змінного струму, також мереж постійного струму. До таких переваг слід віднести можливість відмовитися від громіздких та дорогих трансформаторів напруги, як

обов'язкових елементів мережі, за рахунок застосування потужних високочастотних напівпровідниківих перетворювачів постійного струму, що відкриває нові шляхи підвищення енергетичної ефективності судів [3,4]. Особливості мережі змінного струму також перешкоджають підвищенню живучості суднової енергосистеми і якості електроенергії.

Відповідно до Резолюції IMO MERC.203 (62) з 1 січня 2013 року введено поправки до Додатку VI Міжнародної конвенції щодо запобігання забрудненню із суден МАРПОЛ і встановлені дві основні вимоги з управління енергоефективністю судна (рис.1):

- для кожного нового судна валовою місткістю 400 тонн і більше, повинні бути визначені необхідний і досягнутий конструктивні коефіцієнти енергоефективності (EEDI);
- на кожному новому або існуючому судні валовою місткістю 400 тонн і більше, повинен бути і виконуватися Судновий план управління енергоефективністю судна (SEEMP).
-



Судновий план управління енергоефективністю судна розробляється компанією для кожного судна з використанням експлуатаційного коефіцієнта енергетичної ефективності (EEOI). Аналіз коефіцієнтів EEDI і EEOI дозволяє застосувати системний підхід до вирішення енергоекологічного завдання та сформулювати шляхи зниження цих коефіцієнтів. Резолюція МЕРС.213 (63) наводить приклад методів підвищення енергоефективності, до яких належать [1, 2]:

- планування рейсу;

- погодне планування;
- часове планування;
- оптимізація швидкості судна;
- оптимізація потужності головного двигуна, що розвивається;
- оптимальне керування судном;
- обслуговування корпусу;
- оптимізація роботи суднової енергетичної установки;
- обслуговування суднової енергетичної установки;
- утилізація теплоти;
- поліпшення управління судном;
- оптимізація вантажних операцій;
- управління електроенергією;
- використання альтернативних видів палива.

Підвищення енергоефективності системи електропостачання судна направлено на пошук технічних рішень і можливих способів зниження втрат, які впливають на весь процес - від генерації до споживання енергії. Одним з таких способів є поліпшення якості енергії (КЕ), яке визначається амплітудою, частотою і наявністю спотворення форми сигналу, що йде від системи електропостачання. Форма хвилі (напруги або струму) спотворюється споживачами, оскільки в даний час більшість типових навантажень на судах є нелінійними, наприклад, пристрой плавного пуску, частотне-регульований електропривод, тощо.

6. ПИТАННЯ ЦІВІЛЬНОГО ЗАХИСТУ

6.1. Прогнозування наслідків надзвичайної ситуації на об'єкті морського транспорту

Вихідні дані (сценарій виникнення надзвичайної ситуації на об'єкті морського транспорту).

Круїзне судно «Seabourn Sojourn» стоїть біля пасажирського причалу № 1 порту Ріо-де-Жанейро (Бразилія). Отримано повідомлення про інцидент зі зрідженим газом на території спеціалізованого перевантажувального комплексу для хімічних і наливних вантажів: внаслідок пошкодження запірної арматури залізничної цистерни стався витік хлору, що є сильнодіючою отруйною речовиною (СДОР). Кількість розлився СДОР - 0,25 т, характер розливу - «вільно». Метеорологічні умови на момент аварії: час доби - день, 9.00, температура повітря 200, швидкість вітру 2 м / с, вітер - зустрічний, суцільна хмарність. Відстань від судна до місця аварії - 2 км. Характер місцевості - міських (промислова) забудова.

Виконати оперативний прогноз хімічної обстановки на час через 1 годину після аварії. Запропонувати заходи по зменшенню можливих втрат серед екіпажу та пасажирів судна.

Оцінка масштабів хімічного зараження території.

Виконання розрахунків ведеться за допомогою формул і таблиць, наведених у методиці прогнозування наслідків надзвичайних ситуацій на об'єктах морського транспорту.

а) Визначення ступеня вертикальної стійкості повітря.

За заданими метеорологічними умовами (час доби - день, швидкість вітру 2 м/с, суцільна хмарність) визначаємо по таблиці 5.1 ступень вертикальної стійкості повітря - ізотермія.

Таблиця 6.1 – Визначення ступеня вертикальної стійкості повітря за прогнозом погоди

б) Розрахунок еквівалентної кількості СДОР у первинній хмарі.

Кількісні характеристики викиду СДОР для розрахунку масштабів зараження визначаються за його еквівалентними значеннями.

Розраховуємо еквівалентну кількість $Q_{\text{e1}}(t)$ хлору в первинній хмарі:

$$Q_{\text{e1}} = K_1 \cdot K_3 \cdot K_5 \cdot K_7^1 \cdot Q_o = 0,18 \cdot 1 \cdot 0,23 \cdot 1 \cdot 0,25 = 0,01035 \text{ т} \quad (5.1)$$

де: $K_1 = 0,18$ – коефіцієнт, що залежить від умов зберігання СДОР (таблиця 5.2);

$K_3 = 1$ – коефіцієнт (таблиця 5.2);

$K_5 = 0,23$ – коефіцієнт, який враховує ступень вертикальної стійкості повітря для ізотермії (п. 3.2. Методики прогнозування наслідків надзвичайних ситуацій на об'єктах морського транспорту);

$K_7^1 = 1$ – коефіцієнт, що враховує вплив температури навколошнього повітря на швидкість утворення первинної хмари (таблиця 5.2);

$Q_o = 0,25$ – кількість хлору, що розлився при аварії, т.

У таблиці наведені значення K_7 у чисельнику - K_7^I (для первинної хмари), у знаменнику - K_7^{II} (для вторинної хмари).

в) Розрахунок площі розливу, тривалості вражаючої дії та еквівалентної кількості СДОР у вторинній хмарі.

Площа розливу S_p (m^2) хлору дорівнює:

$$S_p = \frac{V_p}{h} = \frac{\frac{Q_o}{\rho}}{h} = \frac{0,25 / 0,0062}{0,05} = 806,45 \text{ m}^2, \quad (5.2)$$

де V_p – об'єм хлору, що розлився, m^3 ;

$\rho = 0,0062$ – щільність хлору, t/m^3 (таблиця 5.2);

$h = 0,05$ – товщина шару хлору (для характеру розливу – «вільно»), м.

Таблиця 6.2 – Характеристики СДОР і значення допоміжних коефіцієнтів

Найменування СДОР	Щільність СДОР, t/m^3		Температура кипіння, $^{\circ}\text{C}$	Порогова токсодоза, $\text{МГ}\cdot\text{ХВ}/\text{l}$	Значення допоміжних коефіцієнтів								
	Газ	Рідинна			K1	K2	K3	K7 для температури повітря ($^{\circ}\text{C}$)					
								-40	-20	0	20	40	
ХЛОР	0,0062	1,558	-34,1	0,6	0,18	0,052	1,0	$\frac{0}{0,9}$	$\frac{0,3}{1}$	$\frac{0,6}{1}$	$\frac{1}{1}$	$\frac{1,4}{1}$	

Тривалість вражаючої дії СДОР визначається часом, що потрібний на його випаровування з площині розливу, і часом, протягом якого триває спад його

концентрації до безпечноого рівня після відходу хмари зараженого повітря від заданої точки.

Розраховуємо тривалість вражаючої дії T (год.) хлору:

$$T = \frac{h \cdot \rho}{K_2 \cdot K_4 \cdot K_7^{II}} + \frac{1}{K_m \cdot v_p} = \frac{0,05 \cdot 0,0062}{0,052 \cdot 1,33 \cdot 1} + \frac{1}{0,2 \cdot 12} = 0,424 \text{ год} \quad (5.3)$$

де: $K_2 = 0,052$ – коефіцієнт, що залежить від фізико-хімічних властивостей хлору (таблиця 5.2);

$K_4 = 1,33$ – коефіцієнт, що враховує швидкість вітру (таблиця 5.3);

$K_7^{II} = 1$ – коефіцієнт, що враховує вплив температури навколошнього повітря на швидкість утворення вторинної хмари (таблиця 5.2);

$K_m = 0,2$ – коефіцієнт, що враховує вплив місцевості на швидкість поширення хмари хлору (таблиця 5.4);

$v_p = 12$ – швидкість перенесення переднього фронту зараженого повітря, км/год. (таблиця 5.5).

Таблиця 6.3 – Значення коефіцієнту K_4 залежно від швидкості вітру

Швидкість вітру (u), м/с	1≤	2	3	4	5	6	7	8	9	10
K_4	1	1,33	1,67	2,0	2,34	2,67	3,0	3,34	3,67	4,0

Таблиця 6.4 – Значення коефіцієнту K_m залежно від впливу характеру місцевості

Рельєф місцевості, вид рослинності і забудови	Вертикальна стійкість повітря		
	конвекція	ізотермія	інверсія
Територія порту	0,2	0,2	0,3

Таблиця 5.5 – Швидкість (км/год.) перенесення v_p переднього фронту хмари зараженого повітря залежно від швидкості вітру

Ступень вертикальної стійкості повітря	Швидкість вітру (u), м/с									
	1≤	2	3	4	5	6	7	8	9	10
Ізотермія	6	12	18	24	29	35	41	47	53	59

Розраховуємо еквівалентну кількість хлору Q_{e2} (т) у вторинній хмарі:

$$Q_{e2} = (1 - K_1) \cdot K_2 \cdot K_3 \cdot K_4 \cdot K_5 \cdot K_6 \cdot K_7^{II} \cdot \frac{Q_o}{h \cdot \rho} = (1 - 0,18) \cdot 0,052 \cdot 1,0 \cdot 1,33 \cdot 0,23 \cdot 1 \cdot 1 \cdot \frac{0,25}{0,05 \cdot 0,0062} = 10,519 \text{ т.} \quad (5.4)$$

де $K_6 = N^{0,8} = 1^{0,8} = 1$ – коефіцієнт, що залежить від часу N , що пройшов з моменту початку аварії. За умовами завдання $N = 1$ год.

г) Визначення глибини і площі зони зараження.

Глибину зони зараження первинною (вторинною) хмарою СДОР при аваріях на технологічних ємностях, сховищах і транспорті визначаємо за допомогою таблиці 5.6.

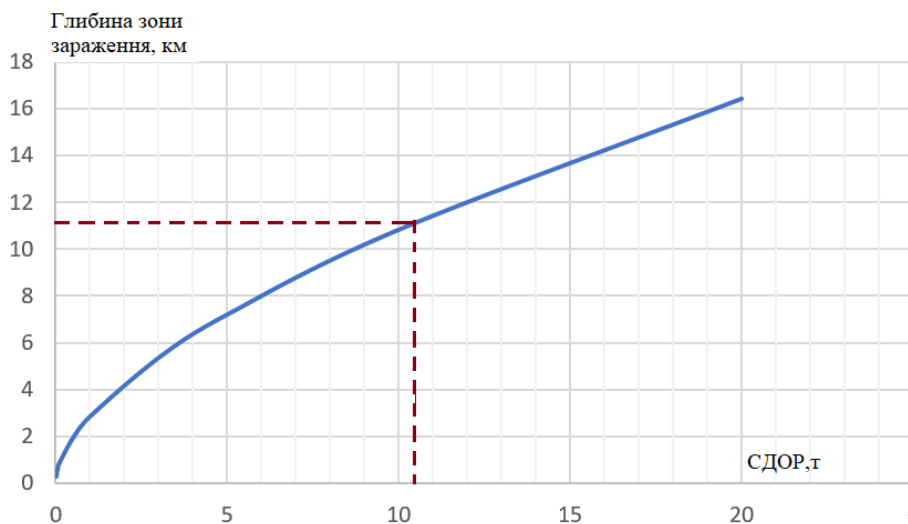
Таблиця 6.6 – Глибина (км) зони зараження

Швидкість вітру, м/с	Еквівалентна кількість СДОР, т								
	0,01	0,05	0,1	0,5	1	3	5	10	20
2	0,26	0,59	0,84	1,92	2,84	5,35	7,20	10,83	16,44

Для визначення глибини зони зараження хмарою хлору побудуємо графік залежності глибини зони зараження (км) від еквівалентної кількості СДОР (т) при швидкості вітру 2 м/с.

Для $Q_{\text{з1}} = 0,01035$ т та швидкості вітру $u = 2$ м/с визначаємо глибину зони зараження первинною хмарою хлору: $\Gamma_1 = 0,26$ км.

Для $Q_{\text{з2}} = 0,41$ т та швидкості вітру $u = 2$ м/с визначаємо глибину зони зараження вторинною хмарою хлору: $\Gamma_2 = 11$ км.



Визначаємо гранично можливе значення глибини перенесення повітряних мас $\Gamma_{\text{п}}$ (км):

$$\Gamma_{\text{п}} = N \cdot v_{\text{п}} = 1 \cdot 12 = 12 \text{ км} \quad (5.6)$$

За остаточну розрахункову глибину зони зараження Γ (км) приймаємо менше з двох порівнюваних між собою значень Γ_{Σ} и $\Gamma_{\text{п}}$:

$$\Gamma = \min \left\{ \Gamma_{\Sigma}, \Gamma_{\text{п}} \right\} = 11,13 \text{ км.} \quad (5.7)$$

Визначаємо площину зони можливого зараження $S_{\text{в}}$ (км^2) хмарою хлору:

$$S_{\text{в}} = \pi \cdot \Gamma^2 \cdot \phi / 360^0 = 2,31 \cdot 11,13^2 \cdot 90^0 / 360^0 = 97,24 \text{ км}^2 \quad (5.8)$$

де $\Gamma = 11,13$ - розрахункова глибина зони зараження, км; $\phi = 90^0$ - кутовий розмір зони зараження, град (таблиця 5.7).

Таблиця 6.7 – Кутові розміри зони можливого зараження СДОР залежно від швидкості вітру

Швидкість вітру (u), м/с	$\leq 0,5$	0,6 - 1	1,1 - 2	>2
ϕ , град	360	180	90	45

Визначаємо площину зони фактичного зараження S_{ϕ} (км^2):

$$S_{\phi} = K_8 \cdot \Gamma^2 \cdot N^{0,2} = 0,133 \cdot 11,13^2 \cdot 1^{0,2} = 16,48 \text{ км}^2 \quad (5.9)$$

де $K_8 = 0,133$ – коефіцієнт, що залежить від ступеня вертикальної стійкості повітря – ізотермії (п. 3.4. методики прогнозування наслідків надзвичайних ситуацій на об'єктах морського транспорту).

д) Розрахунок глибин поширення хмари СДОР у вражуючих концентраціях при смертельному, важкому, середньому і легкому ураженні.

Територія можливого хімічного зараження представляє собою сектор, що має кутовий розмір $\phi = 90^0$ (таблиця 5.7) і радіус, який дорівнює значенню розрахунковій глибині зони зараження $\Gamma = 11,13$ км. Центр сектора співпадає з джерелом зараження – місцем розливу хлору. Бісектриса сектора співпадає з віссю сліду хмари та орієнтована по напряму вітру.

У районі хімічного зараження виділяють зони смертельної концентрації, важкого, середнього і легкого ураження.

Розраховуємо глибину зони смертельних уражень Γ_1 (км):

$$\Gamma_L = \lambda \cdot K_M \cdot \left(\frac{Q_e}{D_L} \right)^\Psi = 2,31 \cdot 0,2 \cdot \left(\frac{10,529}{6} \right)^{0,58} = 0,64 \text{ км.} \quad (5.10)$$

де $\lambda = 2,31$; $\Psi = 0,580$ – коефіцієнти, що залежать від швидкості вітру (таблиця 5.8); $Q_e = Q_{e1} + Q_{e2} = 0,01035 + 10,519 = 10,529$ – загальна еквівалентна кількість СДОР, що перейшла в первинну і вторинну хмару, т; $D_L = 6$ – летальна токсодоза для хлору, мг.хв/л.

Таблиця 6.8 – Коефіцієнти λ и ψ , що залежать від швидкості вітру

Коефіцієнти	Швидкість вітру (u), м/с							
	1 і менше	2	3	4	5	6	7	10
λ	3,73	2,31	1,80	1,52	1,34	1,20	1,11	0,92
ψ	0,606	0,580	0,563	0,551	0,542	0,537	0,531	0,515

Розраховуємо глибину зони важких уражень $\Gamma_{0,4L}$ (км):

$$\Gamma_{0,4L} = \lambda \cdot K_M \cdot \left(\frac{Q_e}{D_{0,4L}} \right)^\Psi = 2,31 \cdot 0,2 \cdot \left(\frac{10,529}{2,4} \right)^{0,58} = 1,09 \text{ км.} \quad (5.11)$$

де: $D_{0,4L} = 0,4 \cdot D_L = 0,4 \cdot 6 = 2,4$ – значення токсодози, що відповідає 40% летальної токсодози для хлору, мг.хв/л.

Розраховуємо глибину зони уражень середньої важкості $\Gamma_{0,2L}$ (км):

$$\Gamma_{0,2L} = \lambda \cdot K_M \cdot \left(\frac{Q_e}{D_{0,2L}} \right)^\Psi = 2,31 \cdot 0,2 \cdot \left(\frac{10,529}{1,2} \right)^{0,58} = 1,63 \text{ км,} \quad (5.12)$$

де: $D_{0,2L} = 0,2 \cdot D_L = 0,2 \cdot 6 = 1,2$ – значення токсодози, що відповідає 20% летальної токсодози для хлору, мг.хв/л.

Глибина зони легких уражень відповідає значенню розрахункової глибини зони зараження $\Gamma = 1,13$ км.

е) Визначення часу підходу зараженого повітря до об'єкту (судна).

Час підходу хмари СДОР до заданого об'єкту t (год.) залежить від швидкості перенесення хмари повітряним потоком і визначається за формулою:

$$t = \frac{x}{K_M \cdot v_n} = \frac{2}{0,2 \cdot 12} = 0,83 \text{ год.} = 49 \text{ хв.} 48 \text{ сек.} \quad (5.13)$$

де x – відстань від джерела зараження до заданого об'єкту, км.



Рис.6.2

6.2. Висновки і рекомендовані заходи для зменшення людських втрат

Проведена оцінка масштабів хімічного зараження території в результаті аварійного розливу хлористого водню показала, що хмара зараженого повітря досягне межі судна, де знаходитьться екіпаж, через 49 хв. 48 сек. В результаті утворення хмари зараженого повітря при розливі хлористого водню судно, де може знаходитися екіпаж, потрапляють в зону легких уражень, що у свою чергу є загрозою для здоров'я моряків.

Для зменшення людських втрат пропонується виконати наступні заходи:

- якнайскоріше прибрати усіх людей з палуби всередину надбудови судна;
- обмежити вихід членів екіпажу на палубу судна;
- по можливості максимально герметизувати усі приміщення в надбудові судна;
- контролювати напрямок переміщення хмари зараженого повітря та концентрацію хлористого водню в повітрі;
- встановити контроль концентрації СДОР на відкритому повітрі і в повітрі приміщень судна.

ВИСНОВКИ

У дипломній роботі виконано аналіз електротехнічних систем судна типу контейнеровоз місткістю 8400 контейнерів. Описано техніко-експлуатаційні характеристики і конструктивні особливості судна.

Зроблено розрахунок режимів роботи і вибір електроприводу підрулює пристрою. Розроблено модель багаторівневого перетворювача частоти, розроблений алгоритм корекції системи трифазного напруги при виході з ладу одного з модулів, а також принципова схема системи управління електроприводу.

Виконаний розрахунок суднової електроенергетичної системи. Табличним методом було розраховано потужність і зроблено вибір кількості дизель-генераторів суднової електростанції. Описано безщітковий синхронний генератор і його система збудження. Розроблено однолінійну схему головного і аварійного розподільних щитів. Описано схему розподілу електроенергії по судну. Обрано засоби автоматизації СЕЕС, розроблено функціональну схему автоматизованої системи управління (АСУ) СЕЕС, надано алгоритми управління СЕЕС для характерних режимів роботи. Додатково виконано аналіз динамічних процесів в штатних та аварійних режимах каскадного багаторівневого перетворювача частоти, який керує двигуном підрулюючого пристрою. Показано вплив часу обробки аварійної ситуації з окремими каскадами на пікові струми та електромагнітний момент двигуна, зроблено висновок про достатність задекларованого виробником часу 0.02 с. Виконано аналіз систем керування судновою електроенергетичною установкою та суднових радіонавігаційних засобів. Розглянуті питання засобів автоматизації, цивільного захисту та охорони праці.

СПИСОК ВИКОРИСТАНОЇ ЛІТЕРАТУРИ

1. Москаленко В.В. Электрический привод: учебник для студ.высш.учеб. заведений/ В.В.Москаленко.-М.: Издательский центр «Академия», 2007.-368с.
2. Осипов О.И. Частотно-регулируемый асинхронный электропривод: Учебное пособие по курсу «Типовые решения и техника современного электропривода» -М.: Издательство МЭИ, 2004.-80с.
3. Теория электропривода, ч.1: учебное пособие / Сост.: А.Б.Зеленов – Алчевск, ДонГТУ, 2005. – 382 с.
4. Богословский А. П., Судовые электроприводы/ Справочник. Том 2. – Л.: Судостроение, 1983. – 384 с.
5. Усатенко С.Т., Выполнение электрических схем по ЕСКД: Справочник. - М.: Издательство стандартов, 1989. - 325с.
6. Правила технической эксплуатации судовых технических средств. - М.: В/О Мортехинформреклама, 1984. - 388с.
7. Правила Регистра Украины для морских и речных судов. Киев: 2003.
8. Піпченко О.М. Розрахунок суднових електроенергетичних систем. - М.: Мортехінформреклама, 1988- 39 с.
9. Яковлев Г.С. Суднові електроенергетичні системи,- Л.; Суднобудування, 1987.- 272 с.
10. Толстов А.А. Устройство и эксплуатация судовых синхронных генераторов: Учеб.пособие.- Одеська нац. морська академія. – Одеса, 2006.
11. Іванов Б.Н., Колегаев М.А., Касилов Ю.И., Іванов А.І. Основы охорани труда на морском транспорте – Одесса: Компас, 2003.
12. Колегаєв М.О., Іванов Б.М., Басанець М.Г. Під редакцією В.В. Пономаренка. Безпека життєдіяльності і виживання на морі. Навч. посібн. Друге видання – перероблене та доповнене./ Одеська нац. морська академія. – Одеса, 2008. – 416 с.
13. ABB Drive ACS880–01 user`s manual.
14. ABB Synpol®D user`s manal.
15. AMS Human interface Aconis-DS user`s manual.
16. Міжнародна конвенція по охороні людського життя на морі (SOLAS - 74).
17. Правила техники безопасности на судах морского флота. РД31.81.10-75. - М «Мортехинформреклама», 2004.-300с.
18. Міжнародний кодекс по системам пожежної безпеки (FSS Code).
19. Міжнародна конвенція по запобіганню забрудненню з суден 1973 року, змінена Протоколом 1978 року до ней (МАРПОЛ 73/78).
20. Інтернет ресурс, сайти: www.abb.com, www.hhi.com

Додаток Б

Таблиця електричних навантажень СЕЕС в ходовому режимі

НН	Найменування груп споживачів	n	P, kW	Pn, kW	η	cos(φ)	Сумарна потужність			КзВ	Ко.р.	cos(φ)	Сумарна споживана потужність		
							P, kW	Q, kVAr	S, kVA				P, kW	Q, kVAr	S, kVA
1	2	3	4	5	6	7	8	9	10	11	12	13	14	15	16
1. Пропульсивна установка															
1	Компресор пускового повітря	4	75,00	79,79	0,94	0,7	319,16	325,61	455,94	0,9	0,5	0,7	100,54	102,57	143,62
2	Насос прісної води охолодження ГД	2	84	90,32	0,63	0,9	180,64	87,49	200,71	0,9	0,66	0,9	96,57	46,77	107,30
3	Насос підігріва зарубашечного простору ГД	2	9	10,23	0,88	0,84	20,46	13,22	24,36	0,9	0,5	0,84	7,73	5,00	9,21
4	Насос воздушного холодильника очищувача забортної води ГД	2	1,3	1,63	0,8	0,69	3,26	3,42	4,72	0,9	0,5	0,69	1,01	1,06	1,47
5	Насос зарубашечного простору ГД водою охолодження	2	1,3	1,63	0,8	0,69	3,26	3,42	4,72	0,9	0,5	0,69	1,01	1,06	1,47
6	Насос подачі важкого палива ГД	2	18	20,45	0,88	0,78	40,90	32,81	52,44	0,9	0,5	0,78	14,36	11,52	18,41
7	Циркуляційний насос важкого палива ГД	2	8,6	10,36	0,83	0,77	20,72	17,17	26,91	0,9	0,5	0,77	7,18	5,95	9,32
8	Валоповоротний пристрій	1	15	18,07	0,83	0,77	18,07	14,97	23,47	0,9	0	0,77	0,00	0,00	0,00
9	Головний насос мастила	2	355	373,68	0,95	0,8	747,36	560,52	934,20	0,9	1	0,8	538,10	403,57	672,62
2. Генераторна установка															
10	Насос підігріва зарубашечного простору ДГ	2	1,5	1,88	0,8	0,8	3,76	2,82	4,70	0,9	1	0,8	2,71	2,03	3,38
11	Бустерний насос дизельного палива	1	1,52	1,92	0,79	0,83	1,92	1,29	2,31	0,9	1	0,83	1,43	0,96	1,73
12	Насос подачі важкого палива ДГ	2	13,5	16,27	0,83	0,75	32,54	28,70	43,39	0,8	1	0,75	19,52	17,22	26,03
13	Циркуляційний насос важкого палива ДГ	2	20	23,26	0,86	0,74	46,52	42,28	62,86	0,8	1	0,74	27,54	25,03	37,22
14	Насос подачі важкого палива ДГ	2	3,5	4,22	0,83	0,68	8,44	9,10	12,41	0,8	1	0,68	4,59	4,95	6,75
15	Насос мастила запалення	4	0,8	1,08	0,74	0,8	4,32	3,24	5,40	0,9	0,66	0,8	2,05	1,54	2,57
3. Водо-оброблююче обладнання															
16	Головний насос забортної води	3	220	234,04	0,94	0,85	702,12	435,13	826,02	0,9	0,66	0,85	354,50	219,70	417,06
17	Насос НТ охолодження прісної води	3	147	156,38	0,94	0,85	469,14	290,75	551,93	0,9	0,5	0,85	179,45	111,21	211,11
18	Насос дистилляційної прісної води	1	1,5	1,88	0,8	0,82	1,88	1,31	2,29	0,85	1	0,82	1,31	0,91	1,60
19	Електронний насос прісної води	1	21	23,6	0,89	0,87	23,60	13,37	27,13	0,9	0,5	0,87	9,24	5,24	10,62
20	Насос охолодження воздушного кондиціонування ПК	2	1,1	1,38	0,8	0,64	2,76	3,31	4,31	0,9	1	0,64	1,59	1,91	2,48
4. Масило-оброблююче обладнання															
21	Сепаратор ВП	4	26	28,89	0,9	0,74	115,56	105,04	156,16	0,9	0,5	0,74	38,48	34,98	52,00
22	Насос живлення сепаратора ВП	4	3,5	4,07	0,86	0,68	16,28	17,55	23,94	0,9	1	0,68	9,96	10,74	14,65
23	Насос розвантаження сепаратора ВП	1	3,5	4,07	0,86	0,7	4,07	4,15	5,81	0,9	1	0,7	2,56	2,62	3,66
24	Сепаратор ДП	2	8	10	0,8	0,8	20,00	15,00	25,00	1	1	0,8	16,00	12,00	20,00
25	Насос живлення сепаратора ДП	1	1,8	2,2	0,82	0,73	2,20	2,06	3,01	0,9	1	0,73	1,45	1,35	1,98
26	Перекачуючий насос ВП	2	26	28,89	0,9	0,81	57,78	41,83	71,33	1	0	0,81	0,00	0,00	0,00
27	Підкачуючий насос ВП	1	15	17,44	0,88	0,68	17,44	18,80	25,65	0,9	1	0,68	10,67	11,51	15,70
28	Перекачуючий насос ВП / ДП	1	26	28,89	0,9	0,67	28,89	32,01	43,12	0,9	1	0,67	17,42	19,30	26,00
29	Сепаратор мастила ГД	2	17,5	19,66	0,89	0,8	39,32	29,49	49,15	1	1	0,8	31,46	23,59	39,32
30	Насос живлення сепаратора мастила	2	3,5	4,07	0,86	0,7	8,14	8,30	11,63	0,9	0,5	0,7	2,56	2,62	3,66
31	Сепаратор мастила ДГ	2	8,6	10,49	0,82	0,72	20,98	20,22	29,14	0,9	0,5	0,72	6,80	6,55	9,44
32	Насос живлення сепаратора мастила	2	1,5	2,03	0,74	0,68	4,06	4,38	5,97	0,9	0,5	0,68	1,24	1,34	1,83
33	Перекачуючий насос мастила кормової труби	1	1,2	1,5	0,8	0,7	1,50	1,53	2,14	0,9	0,5	0,7	0,47	0,48	0,68
34	Перекачуючий насос мастила кормової труби	1	1,2	1,5	0,8	0,7	1,50	1,53	2,14	0,9	0,5	0,7	0,47	0,48	0,68
35	Перекачуючий насос циліндрового мастила	2	1,8	4,38	0,82	0,75	8,76	7,73	11,68	0,9	0	0,75	0,00	0,00	0,00

Продовження Додатку Б

1	2	3	4	5	6	7	8	9	10	11	12	13	14	15	16
5. Котельна установка															
36	Вентилятор ДК	1	16,5	19,41	0,85	0,83	19,41	13,04	23,39	0,9	1	0,83	14,50	9,74	17,47
37	Двигун пальника	1	3,6	4,19	0,86	0,8	4,19	3,14	5,24	0,9	0	0,8	0,00	0,00	0,00
38	насоса важкого палива ДК	2	0,6	0,81	0,74	0,8	1,62	1,22	2,03	0,9	1	0,8	1,17	0,87	1,46
39	Живлячий водяний насос ДК	2	9,6	11,43	0,84	0,82	22,86	15,96	27,88	0,9	1	0,82	16,87	11,78	20,57
40	Живлячий водяний насос економайзера	2	13	14,61	0,8	0,87	29,22	16,56	33,59	0,9	1	0,87	22,88	12,97	26,30
41	Перекачуючий насос живлячої води	1	1,8	2,2	0,82	0,77	2,20	1,82	2,86	0,9	0,5	0,77	0,76	0,63	0,99
6. Решта обладнання та вентилятори															
42	Головний повітряний компресор	4	64	69,6	0,92	0,8	278,26	208,70	347,83	0,9	1	0,8	200,35	150,26	250,43
43	Сервісний повітряний компресор	1	35	38,9	0,9	0,97	38,89	9,75	40,09	0,9	0	0,97	0,00	0,00	0,00
44	Вентилятор машинного відділення	6	75	82,4	0,91	0,83	494,51	332,31	595,79	0,9	1	0,83	369,40	248,24	445,05
45	Вентилятор сепараторного відділення	2	11	12,6	0,87	0,86	25,29	15,00	29,40	0,9	1	0,86	19,57	11,61	22,76
46	Вентилятор робочого відділення	1	0,4	0,6	0,68	0,7	0,59	0,60	0,84	0,9	1	0,7	0,37	0,38	0,53
47	Вентилятор форсуночного відділення	1	0,4	0,6	0,68	0,77	0,59	0,49	0,76	0,9	1	0,77	0,41	0,34	0,53
48	Відстійний насос	1	18,5	20,8	0,89	0,85	20,79	12,88	24,45	0,9	0	0,85	0,00	0,00	0,00
49	Насос льяльних вод	2	3,7	4,3	0,86	0,8	8,60	6,45	10,76	0,9	0	0,8	0,00	0,00	0,00
50	Інверторний насос	1	34,5	38,3	0,9	0,8	38,33	28,75	47,92	1	0	0,8	0,00	0,00	0,00
7. Суднові системи															
51	Баластний насос	2	90	96,8	0,93	0,9	193,55	93,74	215,05	0,8	0	0,9	0,00	0,00	0,00
52	Хілінговий насос	2	112	120,4	0,93	0,84	240,86	155,58	286,74	0,9	0	0,84	0,00	0,00	0,00
53	Пожежний насос	1	180	191,5	0,94	0,9	191,49	92,74	212,77	0,9	0	0,9	0,00	0,00	0,00
54	Аварійний пожежний насос	1	49	52,1	0,94	0,87	52,13	29,54	59,92	0,9	0	0,87	0,00	0,00	0,00
8. Рефрижератори															
55	Вентилятор реф. Контейнерного трюма	24	5,5	7,2	0,76	0,8	173,68	130,26	217,11	0,9	1	0,8	125,05	93,79	156,32
56	Рефрижераторна розетка	700	7	7,0	1	1	4900,00	0,00	4900,00	0,9	1	1	4410,00	0,00	4410,00
9. Маневрове обладнання															
57	Рульова машина	4	80	88,9	0,9	0,84	355,56	229,67	423,28	0,9	1	0,84	268,80	173,63	320,00
58	Аварійна рульова машина	1	80	88,9	0,9	0,83	88,89	59,73	107,10	0,9	0	0,83	0,00	0,00	0,00
59	Підруллюючий пристрій	1	3000	3157,9	0,95	0,93	3157,89	1248,08	3395,59	0,9	1	0,93	2643,16	1044,64	2842,11
60	Гідравлічний насос ПП	2	5,5	6,4	0,86	0,8	12,79	9,59	15,99	0,9	1	0,8	9,21	6,91	11,51
61	Вентилятор приміщення ПП	1	11	12,5	0,88	0,82	12,50	8,73	15,24	0,9	1	0,82	9,23	6,44	11,25
10. Палубні механізми															
62	Брашпіль	3	110	122,2	0,9	0,8	366,67	275,00	458,33	0,8	0	0,8	0,00	0,00	0,00
63	Швартова лебідка	10	80	86,0	0,93	0,84	860,22	555,64	1024,07	0,8	0	0,84	0,00	0,00	0,00
64	Провізійний кран	2	15	17,9	0,84	0,8	35,71	26,79	44,64	0,8	0	0,8	0,00	0,00	0,00
11. Повітряне кондиціонування та вентиляція															
65	Вантажний трюм	9	3	3,5	0,86	0,74	31,40	28,54	42,43	0,8	1	0,74	18,59	16,89	25,12
66	Кладова бомбана	1	1,6	2,0	0,8	0,8	2,00	1,50	2,50	0,8	1	0,8	1,28	0,96	1,60
67	СО2 приміщення	1	1,7	2,0	0,83	0,75	2,05	1,81	2,73	1	1	0,75	1,54	1,35	2,05
68	Вантажний трюм 1	12	2,3	2,7	0,86	0,84	32,09	20,73	38,21	0,8	0,5	0,84	10,78	6,97	12,84
69	Вантажний трюм 2	15	11	15,5	0,71	0,72	232,39	223,99	322,77	0,6	1	0,72	100,39	96,77	139,44
70	Вантажний трюм 3	10	22	29,7	0,74	0,76	297,30	254,24	391,18	0,6	1	0,76	135,57	115,93	178,38
71	Компресор надбудови повітряного кондиціонування	2	150	172,4	0,87	0,88	344,83	186,12	391,85	0,9	0,5	0,88	136,55	73,70	155,17

Продовження Додатку Б

Таблиця електричних навантажень СЕЕС в маневровому режимі

НН	Найменування груп споживачів	n	P, kW	Pn, kW	η	cos(φ)	Сумарна потужність			КзВ	Ко.р.	cos(φ)	Сумарна споживана потужність		
							P, kW	Q, kVAr	S, kVA				P, kW	Q, kVAr	S, kVA
1	2	3	4	5	6	7	8	9	10	11	12	13	14	15	16
1. Пропульсивна установка															
1	Компресор пускового повітря	4	75,00	79,79	0,94	0,7	319,16	325,61	455,94	0,9	0,5	0,7	100,54	102,57	143,62
2	Насос прісної води охолодження ГД	2	84	90,32	0,63	0,9	180,64	87,49	200,71	0,9	0,5	0,9	73,16	35,43	81,29
3	Насос підігріва зарубашечного простору ГД	2	9	10,23	0,88	0,84	20,46	13,22	24,36	0,9	0	0,84	0,00	0,00	0,00
4	Насос воздушного холодильника очищувача забортної води ГД	2	1,3	1,63	0,8	0,69	3,26	3,42	4,72	0,9	0	0,69	0,00	0,00	0,00
5	Насос зарубашечного простору ГД водою охолодження	2	1,3	1,63	0,8	0,69	3,26	3,42	4,72	0,9	0	0,69	0,00	0,00	0,00
6	Насос подачі важкого палива ГД	2	18	20,45	0,88	0,78	40,90	32,81	52,44	0,9	0,5	0,78	14,36	11,52	18,41
7	Циркуляційний насос важкого палива ГД	2	8,6	10,36	0,83	0,77	20,72	17,17	26,91	0,9	0,5	0,77	7,18	5,95	9,32
8	Валоповоротний пристрій	1	15	18,07	0,83	0,77	18,07	14,97	23,47	0,9	0	0,77	0,00	0,00	0,00
9	Головний насос мастила	2	355	373,68	0,95	0,8	747,36	560,52	934,20	0,9	0,5	0,8	269,05	201,79	336,31
2. Генераторна установка															
10	Насос підігріва зарубашечного простору ДГ	2	1,5	1,88	0,8	0,8	3,76	2,82	4,70	0,9	1	0,8	2,71	2,03	3,38
11	Бустерний насос дизельного палива	1	1,52	1,92	0,79	0,83	1,92	1,29	2,31	0,9	0,5	0,83	0,72	0,48	0,86
12	Насос подачі важкого палива ДГ	2	13,5	16,27	0,83	0,75	32,54	28,70	43,39	0,8	1	0,75	19,52	17,22	26,03
13	Циркуляційний насос важкого палива ДГ	2	20	23,26	0,86	0,74	46,52	42,28	62,86	0,8	1	0,74	27,54	25,03	37,22
14	Насос подачі важкого палива ДГ	2	3,5	4,22	0,83	0,68	8,44	9,10	12,41	0,8	1	0,68	4,59	4,95	6,75
15	Насос мастила запалення	4	0,8	1,08	0,74	0,8	4,32	3,24	5,40	0,9	0,6	0,8	1,87	1,40	2,33
3. Водо-оброблююче обладнання															
16	Головний насос забортної води	3	220	234,04	0,94	0,85	702,12	435,13	826,02	0,9	0,5	0,85	268,56	166,44	315,95
17	Насос НТ охолодження прісної води	3	147	156,38	0,94	0,85	469,14	290,75	551,93	0,9	0,5	0,85	179,45	111,21	211,11
18	Насос дистилляційної прісної води	1	1,5	1,88	0,8	0,82	1,88	1,31	2,29	0,85	0	0,82	0,00	0,00	0,00
19	Електронний насос прісної води	1	21	23,6	0,89	0,87	23,60	13,37	27,13	0,9	0	0,87	0,00	0,00	0,00
20	Насос охолодження воздушного кондиціонування ПК	2	1,1	1,38	0,8	0,64	2,76	3,31	4,31	0,9	1	0,64	1,59	1,91	2,48
4. Масило-оброблююче обладнання															
21	Сепаратор ВП	4	26	28,89	0,9	0,74	115,56	105,04	156,16	0,9	0,5	0,74	38,48	34,98	52,00
22	Насос живлення сепаратора ВП	4	3,5	4,07	0,86	0,68	16,28	17,55	23,94	0,9	1	0,68	9,96	10,74	14,65
23	Насос розвантаження сепаратора ВП	1	3,5	4,07	0,86	0,7	4,07	4,15	5,81	0,9	1	0,7	2,56	2,62	3,66
24	Сепаратор ДП	2	8	10	0,8	0,8	20,00	15,00	25,00	1	1	0,8	16,00	12,00	20,00
25	Насос живлення сепаратора ДП	1	1,8	2,2	0,82	0,73	2,20	2,06	3,01	0,9	1	0,73	1,45	1,35	1,98
26	Перекачуючий насос ВП	2	26	28,89	0,9	0,81	57,78	41,83	71,33	1	0	0,81	0,00	0,00	0,00
27	Підкачуючий насос ВП	1	15	17,44	0,88	0,68	17,44	18,80	25,65	0,9	1	0,68	10,67	11,51	15,70
28	Перекачуючий насос ВП / ДП	1	26	28,89	0,9	0,67	28,89	32,01	43,12	0,9	1	0,67	17,42	19,30	26,00
29	Сепаратор мастила ГД	2	17,5	19,66	0,89	0,8	39,32	29,49	49,15	1	1	0,8	31,46	23,59	39,32
30	Насос живлення сепаратора мастила	2	3,5	4,07	0,86	0,7	8,14	8,30	11,63	0,9	0,5	0,7	2,56	2,62	3,66
31	Сепаратор мастила ДГ	2	8,6	10,49	0,82	0,72	20,98	20,22	29,14	0,9	0,5	0,72	6,80	6,55	9,44
32	Насос живлення сепаратора мастила	2	1,5	2,03	0,74	0,68	4,06	4,38	5,97	0,9	0,5	0,68	1,24	1,34	1,83
33	Перекачуючий насос мастила кормової труби	1	1,2	1,5	0,8	0,7	1,50	1,53	2,14	0,9	0,5	0,7	0,47	0,48	0,68
34	Перекачуючий насос мастила кормової труби	1	1,2	1,5	0,8	0,7	1,50	1,53	2,14	0,9	0,5	0,7	0,47	0,48	0,68
35	Перекачуючий насос циліндрового мастила	2	1,8	4,38	0,82	0,75	8,76	7,73	11,68	0,9	0	0,75	0,00	0,00	0,00

Продовження Додатку Б

1	2	3	4	5	6	7	8	9	10	11	12	13	14	15	16
72	Вентилятор надбудови	7	42	51,2	0,82	0,8	358,54	268,90	448,17	0,9	0,66	0,8	170,38	127,78	212,97
73	Вентилятор приміщення ЦПУ	1	0,5	0,7	0,76	0,8	0,66	0,49	0,82	0,9	1	0,8	0,47	0,36	0,59
74	Вентилятор надбудови малий	4	1,4	1,9	0,72	0,75	7,78	6,86	10,37	0,9	1	0,75	5,25	4,63	7,00
75	Вентилятор камбуза	2	0,8	1,1	0,72	0,75	2,22	1,96	2,96	0,9	1	0,75	1,50	1,32	2,00
76	Вентиляція машинного приміщення	4	22	26,8	0,82	0,88	107,32	57,92	121,95	0,9	1	0,88	85,00	45,88	96,59
77	Вентиляція вантажних трюмів	10	12	14,8	0,81	0,85	148,15	91,81	174,29	0,9	0	0,85	0,00	0,00	0,00
78	Приміщення АДГ	1	0,7	0,9	0,78	0,77	0,90	0,74	1,17	0,9	1	0,77	0,62	0,52	0,81
79	Вентилятори загальносуднової вентиляції	14	2	2,8	0,71	0,76	39,44	33,72	51,89	0,9	1	0,76	26,97	23,07	35,49
80	Вентиляція рульового приміщення	2	1,5	2,2	0,69	0,7	4,35	4,44	6,21	0,9	0,5	0,7	1,37	1,40	1,96
81	Вентиляція камбуза	2	1,3	1,7	0,78	0,8	3,33	2,50	4,17	0,9	1	0,8	2,40	1,80	3,00

12. Освітлення

82	Освітлення приміщень	5	25	25,0	1	1	125,00	0,00	125,00	1	0,5	1	62,50	0,00	62,50
83	Освітлення машинного відділення	1	21	21,0	1	1	21,00	0,00	21,00	1	1	1	21,00	0,00	21,00
84	Зовнішнє освітлення	3	12	12,0	1	1	36,00	0,00	36,00	1	0,25	1	9,00	0,00	9,00
85	Освітлення трюмів	10	19	19,0	1	1	190,00	0,00	190,00	1	0	1	0,00	0,00	0,00
86	Аварійне освітлення	2	6	6,0	1	1	12,00	0,00	12,00	1	1	1	12,00	0,00	12,00
87	Навігаційні та сигнальні огні	1	0,8	0,8	1	1	0,80	0,00	0,80	1	1	1	0,80	0,00	0,80
88	Носове проекторне освітлення	10	12	12,0	1	1	120,00	0,00	120,00	1	1	1	120,00	0,00	120,00
89	Кормове проекторне освітлення	7	15	15,0	1	1	105,00	0,00	105,00	1	1	1	105,00	0,00	105,00

13. Зв'язок, управління, слабкий струм

90	Штурманське обладнання	1	25	25,0	1	1	25,00	0,00	25,00	1	1	1	25,00	0,00	25,00
91	Радіозв'язок	1	1,6	1,6	1	1	1,60	0,00	1,60	1	1	1	1,60	0,00	1,60
92	Трансляція	1	3,5	3,5	1	1	3,50	0,00	3,50	1	1	1	3,50	0,00	3,50
93	Система зв'язку INMARSAT-C	1	1,5	1,5	1	1	1,50	0,00	1,50	1	1	1	1,50	0,00	1,50
94	Схеми автоматики систем	1	1,5	1,5	1	1	1,50	0,00	1,50	1	1	1	1,50	0,00	1,50
95	Сигналізація	1	0,9	0,9	1	1	0,90	0,00	0,90	1	1	1	0,90	0,00	0,90

14 Інші споживачі

14. Інші споживачі																
96	Токарний верстат		2	13	16,7	0,78	0,82	33,33	23,27	40,65	0,9	0,5	0,82	12,30	8,59	15,00
97	Свердлувальний верстат		1	2,5	3,1	0,8	0,85	3,13	1,94	3,68	0,9	1	0,85	2,39	1,48	2,81
98	Точильний верстат		1	3	3,7	0,82	0,85	3,66	2,27	4,30	0,9	1	0,85	2,80	1,73	3,29
99	Зарядний пристрій		3	1,1	1,1	1	1	3,30	0,00	3,30	0,8	1	1	2,64	0,00	2,64
100	Зварювальний апарат		2	14,6	14,6	1	1	29,20	0,00	29,20	0,8	0	1	0,00	0,00	0,00
101	Гострильно-шлифувальний верстат		1	1,2	1,7	0,72	0,78	1,67	1,34	2,14	0,9	1	0,78	1,17	0,94	1,50

Активна, реактивна та повна потужність суднової мережі

Основна конфігурація

Неперіодична РНП, ОНП, СНП

4122.54 1739.74 4474.60

Періодична Рпр, Опр,

5565,43 **2348,65** **6040,71**

Коефіцієнт одночасності

0,85

тежі з урахуванням коефіцієнту

7884,36 | 3327,25 | 8557,67

на, реактивна та повна потужність ДГ

3200,00 2400,00 4000,00

Кількість дизель-генераторів

3 | 3 | 3

Відмінність резервних дизель-генераторів

1 1 1

активна та повна потужність валогенератора

--	--	--

Використання валогенераторів

—
—
—

Ефективність використання генераторів

0,821 **0,462** **0,713**

Продовження Додатку Б

1	2	3	4	5	6	7	8	9	10	11	12	13	14	15	16
5. Котельна установка															
36	Вентилятор ДК	1	16,5	19,41	0,85	0,83	19,41	13,04	23,39	0,9	1	0,83	14,50	9,74	17,47
37	Двигун пальника	1	3,6	4,19	0,86	0,8	4,19	3,14	5,24	0,9	0	0,8	0,00	0,00	0,00
38	насоса важкого палива ДК	2	0,6	0,81	0,74	0,8	1,62	1,22	2,03	0,9	1	0,8	1,17	0,87	1,46
39	Живлячий водяний насос ДК	2	9,6	11,43	0,84	0,82	22,86	15,96	27,88	0,9	1	0,82	16,87	11,78	20,57
40	Живлячий водяний насос економайзера	2	13	14,61	0,8	0,87	29,22	16,56	33,59	0,9	1	0,87	22,88	12,97	26,30
41	Перекачуючий насос живлячої води	1	1,8	2,2	0,82	0,77	2,20	1,82	2,86	0,9	0,5	0,77	0,76	0,63	0,99
6. Решта обладнання та вентилятори															
42	Головний повітряний компресор	4	64	69,6	0,92	0,8	278,26	208,70	347,83	0,9	1	0,8	200,35	150,26	250,43
43	Сервісний повітряний компресор	1	35	38,9	0,9	0,97	38,89	9,75	40,09	0,9	0,5	0,97	16,98	4,25	17,50
44	Вентилятор машинного відділення	6	75	82,4	0,91	0,83	494,51	332,31	595,79	0,9	1	0,83	369,40	248,24	445,05
45	Вентилятор сепараторного відділення	2	11	12,6	0,87	0,86	25,29	15,00	29,40	0,9	1	0,86	19,57	11,61	22,76
46	Вентилятор робочого відділення	1	0,4	0,6	0,68	0,7	0,59	0,60	0,84	0,9	1	0,7	0,37	0,38	0,53
47	Вентилятор форсуночного відділення	1	0,4	0,6	0,68	0,77	0,59	0,49	0,76	0,9	1	0,77	0,41	0,34	0,53
48	Відстійний насос	1	18,5	20,8	0,89	0,85	20,79	12,88	24,45	0,9	1	0,85	15,90	9,85	18,71
49	Насос льяльних вод	2	3,7	4,3	0,86	0,8	8,60	6,45	10,76	0,9	1	0,8	6,20	4,65	7,74
50	Інсегнераторний насос	1	34,5	38,3	0,9	0,8	38,33	28,75	47,92	1	0,5	0,8	15,33	11,50	19,17
7. Суднові системи															
51	Баластний насос	2	90	96,8	0,93	0,9	193,55	93,74	215,05	0,8	0,5	0,9	69,68	33,75	77,42
52	Хілінговий насос	2	112	120,4	0,93	0,84	240,86	155,58	286,74	0,9	0	0,84	0,00	0,00	0,00
53	Пожежний насос	1	180	191,5	0,94	0,9	191,49	92,74	212,77	0,9	0	0,9	0,00	0,00	0,00
54	Аварійний пожежний насос	1	49	52,1	0,94	0,87	52,13	29,54	59,92	0,9	0	0,87	0,00	0,00	0,00
8. Рефрижератори															
55	Вентилятор реф. Контейнерного трюма	24	5,5	7,2	0,76	0,8	173,68	130,26	217,11	0,9	1	0,8	125,05	93,79	156,32
56	Рефрижераторна розетка	700	7	7,0	1	1	4900,00	0,00	4900,00	0,9	1	1	4410,00	0,00	4410,00
9. Маневрове обладнання															
57	Рульова машина	4	80	88,9	0,9	0,84	355,56	229,67	423,28	0,9	1	0,84	268,80	173,63	320,00
58	Аварійна рульова машина	1	80	88,9	0,9	0,83	88,89	59,73	107,10	0,9	0	0,83	0,00	0,00	0,00
59	Підроюючий пристрій	1	3000	3157,9	0,95	0,93	3157,89	1248,08	3395,59	0,9	0	0,93	0,00	0,00	0,00
60	Гідравлічний насос ПП	2	5,5	6,4	0,86	0,8	12,79	9,59	15,99	0,9	1	0,8	9,21	6,91	11,51
61	Вентилятор приміщення ПП	1	11	12,5	0,88	0,82	12,50	8,73	15,24	0,9	1	0,82	9,23	6,44	11,25
10. Палубні механізми															
62	Брашпіль	3	110	122,2	0,9	0,8	366,67	275,00	458,33	0,8	0	0,8	0,00	0,00	0,00
63	Швартова лебідка	10	80	86,0	0,93	0,84	860,22	555,64	1024,07	0,8	0	0,84	0,00	0,00	0,00
64	Провізійний кран	2	15	17,9	0,84	0,8	35,71	26,79	44,64	0,8	0	0,8	0,00	0,00	0,00
11. Повітряне кондиціонування та вентиляція															
65	Вантажний трюм	9	3	3,5	0,86	0,74	31,40	28,54	42,43	0,8	1	0,74	18,59	16,89	25,12
66	Кладова бомбана	1	1,6	2,0	0,8	0,8	2,00	1,50	2,50	0,8	1	0,8	1,28	0,96	1,60
67	СО2 приміщення	1	1,7	2,0	0,83	0,75	2,05	1,81	2,73	1	1	0,75	1,54	1,35	2,05
68	Вантажний трюм 1	12	2,3	2,7	0,86	0,84	32,09	20,73	38,21	0,8	0,5	0,84	10,78	6,97	12,84
69	Вантажний трюм 2	15	11	15,5	0,71	0,72	232,39	223,99	322,77	0,6	1	0,72	100,39	96,77	139,44
70	Вантажний трюм 3	10	22	29,7	0,74	0,76	297,30	254,24	391,18	0,6	1	0,76	135,57	115,93	178,38
71	Компресор надбудови повітряного кондиціонування	2	150	172,4	0,87	0,88	344,83	186,12	391,85	0,9	0,5	0,88	136,55	73,70	155,17

Продовження Додатку Б

1	2	3	4	5	6	7	8	9	10	11	12	13	14	15	16
72	Вентилятор надбудови	7	42	51,2	0,82	0,8	358,54	268,90	448,17	0,9	0,66	0,8	170,38	127,78	212,97
73	Вентилятор приміщення ЦПУ	1	0,5	0,7	0,76	0,8	0,66	0,49	0,82	0,9	1	0,8	0,47	0,36	0,59
74	Вентилятор надбудови малий	4	1,4	1,9	0,72	0,75	7,78	6,86	10,37	0,9	1	0,75	5,25	4,63	7,00
75	Вентилятор камбуза	2	0,8	1,1	0,72	0,75	2,22	1,96	2,96	0,9	1	0,75	1,50	1,32	2,00
76	Вентиляція машинного приміщення	4	22	26,8	0,82	0,88	107,32	57,92	121,95	0,9	1	0,88	85,00	45,88	96,59
77	Вентиляція вантажних трюмів	10	12	14,8	0,81	0,85	148,15	91,81	174,29	0,9	0,5	0,85	56,67	35,12	66,67
78	Приміщення АДГ	1	0,7	0,9	0,78	0,77	0,90	0,74	1,17	0,9	1	0,77	0,62	0,52	0,81
79	Вентилятори загальносуднової вентиляції	14	2	2,8	0,71	0,76	39,44	33,72	51,89	0,9	1	0,76	26,97	23,07	35,49
80	Вентиляція рульового приміщення	2	1,5	2,2	0,69	0,7	4,35	4,44	6,21	0,9	0,5	0,7	1,37	1,40	1,96
81	Вентиляція камбуза	2	1,3	1,7	0,78	0,8	3,33	2,50	4,17	0,9	1	0,8	2,40	1,80	3,00

12. Освітлення

82	Освітлення приміщень	5	25	25,0	1	1	125,00	0,00	125,00	1	0,5	1	62,50	0,00	62,50
83	Освітлення машинного відділення	1	21	21,0	1	1	21,00	0,00	21,00	1	1	1	21,00	0,00	21,00
84	Зовнішнє освітлення	3	12	12,0	1	1	36,00	0,00	36,00	1	0,25	1	9,00	0,00	9,00
85	Освітлення трюмів	10	19	19,0	1	1	190,00	0,00	190,00	1	0,25	1	47,50	0,00	47,50
86	Аварійне освітлення	2	6	6,0	1	1	12,00	0,00	12,00	1	1	1	12,00	0,00	12,00
87	Навігаційні та сигнальні огні	1	0,8	0,8	1	1	0,80	0,00	0,80	1	1	1	0,80	0,00	0,80
88	Носове прожекторне освітлення	10	12	12,0	1	1	120,00	0,00	120,00	1	1	1	120,00	0,00	120,00
89	Кормове прожекторне освітлення	7	15	15,0	1	1	105,00	0,00	105,00	1	1	1	105,00	0,00	105,00

13. Зв'язок, управління, слабкий струм

90	Штурманське обладнання	1	25	25,0	1	1	25,00	0,00	25,00	1	1	1	25,00	0,00	25,00
91	Радіозв'язок	1	1,6	1,6	1	1	1,60	0,00	1,60	1	1	1	1,60	0,00	1,60
92	Трансляція	1	3,5	3,5	1	1	3,50	0,00	3,50	1	1	1	3,50	0,00	3,50
93	Система зв'язку INMARSAT-C	1	1,5	1,5	1	1	1,50	0,00	1,50	1	1	1	1,50	0,00	1,50
94	Схеми автоматики систем	1	1,5	1,5	1	1	1,50	0,00	1,50	1	1	1	1,50	0,00	1,50
95	Сигналізація	1	0,9	0,9	1	1	0,90	0,00	0,90	1	1	1	0,90	0,00	0,90

14 Інші споживачі

14. Інші споживачі															
96	Токарний верстат	2	13	16,7	0,78	0,82	33,33	23,27	40,65	0,9	0,5	0,82	12,30	8,59	15,00
97	Свердлувальний верстат	1	2,5	3,1	0,8	0,85	3,13	1,94	3,68	0,9	1	0,85	2,39	1,48	2,81
98	Точильний верстат	1	3	3,7	0,82	0,85	3,66	2,27	4,30	0,9	1	0,85	2,80	1,73	3,29
99	Зарядний пристрій	3	1,1	1,1	1	1	3,30	0,00	3,30	0,8	1	1	2,64	0,00	2,64
100	Зварювальний апарат	2	14,6	14,6	1	1	29,20	0,00	29,20	0,8	0,5	1	11,68	0,00	11,68
101	Гострильно-шлифувальний верстат	1	1,2	1,7	0,72	0,78	1,67	1,34	2,14	0,9	1	0,78	1,17	0,94	1,50

Активна, реактивна та повна потужність суднової мережі

Основна конфігурація

Неперіодична РНП, ОНП, СНП

2490.82

Періодична Рпр, Опр, Сп

3487,15 **1202,72** **3688,73**

Коефіцієнт одночасності

0,85

S мережі з урахуванням коефіцієнту одночасності

i 4940,13 1703,85 5225,70

Активна, реактивна та повна потужність ДГ

3200,00 2400,00 4000,00

Кількість дизель-генераторів

2 2 2

Кількість резервних дизель-генераторів

2 2 2

Коєфіцієнт використання генераторів

0.773 **0.355** **0.653**

Продовження Додатку Б

Таблиця електричних навантажень СЕЕС в режимі стоянки

НН	Найменування груп споживачів	n	P, kW	Pn, kW	η	cos(φ)	Сумарна потужність			КзВ	Ко.р.	cos(φ)	Сумарна споживана потужність		
							P, kW	Q, kVAr	S, kVA				P, kW	Q, kVAr	S, kVA
1	2	3	4	5	6	7	8	9	10	11	12	13	14	15	16
1. Пропульсивна установка															
1	Компресор пускового повітря	4	75,00	79,79	0,94	0,7	319,16	325,61	455,94	0,5	0,25	0,7	27,93	28,49	39,90
2	Насос прісної води охолодження ГД	2	84	90,32	0,63	0,9	180,64	87,49	200,71	0,9	0	0,9	0,00	0,00	0,00
3	Насос підігріва зарубашечного простору ГД	2	9	10,23	0,88	0,84	20,46	13,22	24,36	0,9	0	0,84	0,00	0,00	0,00
4	Насос воздушного холодильника очищувача забортної води ГД	2	1,3	1,63	0,8	0,69	3,26	3,42	4,72	0,9	0,5	0,69	1,01	1,06	1,47
5	Насос зарубашечного простору ГД водою охолодження	2	1,3	1,63	0,8	0,69	3,26	3,42	4,72	0,9	0	0,69	0,00	0,00	0,00
6	Насос подачі важкого палива ГД	2	18	20,45	0,88	0,78	40,90	32,81	52,44	0,9	0	0,78	0,00	0,00	0,00
7	Циркуляційний насос важкого палива ГД	2	8,6	10,36	0,83	0,77	20,72	17,17	26,91	0,9	0	0,77	0,00	0,00	0,00
8	Валоповоротний пристрій	1	15	18,07	0,83	0,77	18,07	14,97	23,47	0,9	1	0,77	12,52	10,38	16,26
9	Головний насос мастила	2	355	373,68	0,95	0,8	747,36	560,52	934,20	0,9	0	0,8	0,00	0,00	0,00
2. Генераторна установка															
10	Насос підігріва зарубашечного простору ДГ	2	1,5	1,88	0,8	0,8	3,76	2,82	4,70	0,9	0	0,8	0,00	0,00	0,00
11	Бустерний насос дизельного палива	1	1,52	1,92	0,79	0,83	1,92	1,29	2,31	0,9	1	0,83	1,43	0,96	1,73
12	Насос подачі важкого палива ДГ	2	13,5	16,27	0,83	0,75	32,54	28,70	43,39	0,8	1	0,75	19,52	17,22	26,03
13	Циркуляційний насос важкого палива ДГ	2	20	23,26	0,86	0,74	46,52	42,28	62,86	0,8	1	0,74	27,54	25,03	37,22
14	Насос подачі важкого палива ДГ	2	3,5	4,22	0,83	0,68	8,44	9,10	12,41	0,8	1	0,68	4,59	4,95	6,75
15	Насос мастила запалення	4	0,8	1,08	0,74	0,8	4,32	3,24	5,40	0,9	0,66	0,8	2,05	1,54	2,57
3. Вода-оброблююче обладнання															
16	Головний насос забортної води	3	220	234,04	0,94	0,85	702,12	435,13	826,02	0,9	0	0,85	0,00	0,00	0,00
17	Насос НТ охолодження прісної води	3	147	156,38	0,94	0,85	469,14	290,75	551,93	0,9	0,5	0,85	179,45	111,21	211,11
18	Насос дистилляційної прісної води	1	1,5	1,88	0,8	0,82	1,88	1,31	2,29	0,85	1	0,82	1,31	0,91	1,60
19	Електронний насос прісної води	1	21	23,6	0,89	0,87	23,60	13,37	27,13	0,9	0,5	0,87	9,24	5,24	10,62
20	Насос охолодження воздушного кондиціонування ПК	2	1,1	1,38	0,8	0,64	2,76	3,31	4,31	0,9	1	0,64	1,59	1,91	2,48
4. Мастило-оброблююче обладнання															
21	Сепаратор ВП	4	26	28,89	0,9	0,74	115,56	105,04	156,16	0,9	0,5	0,74	38,48	34,98	52,00
22	Насос живлення сепаратора ВП	4	3,5	4,07	0,86	0,68	16,28	17,55	23,94	0,9	0	0,68	0,00	0,00	0,00
23	Насос розвантаження сепаратора ВП	1	3,5	4,07	0,86	0,7	4,07	4,15	5,81	0,9	0	0,7	0,00	0,00	0,00
24	Сепаратор ДП	2	8	10	0,8	0,8	20,00	15,00	25,00	1	1	0,8	16,00	12,00	20,00
25	Насос живлення сепаратора ДП	1	1,8	2,2	0,82	0,73	2,20	2,06	3,01	0,9	0,5	0,73	0,72	0,68	0,99
26	Перекачуючий насос ВП	2	26	28,89	0,9	0,81	57,78	41,83	71,33	1	0	0,81	0,00	0,00	0,00
27	Підкачуючий насос ВП	1	15	17,44	0,88	0,68	17,44	18,80	25,65	0,9	1	0,68	10,67	11,51	15,70
28	Перекачуючий насос ВП / ДП	1	26	28,89	0,9	0,67	28,89	32,01	43,12	0,9	1	0,67	17,42	19,30	26,00
29	Сепаратор мастила ГД	2	17,5	19,66	0,89	0,8	39,32	29,49	49,15	1	0	0,8	0,00	0,00	0,00
30	Насос живлення сепаратора мастила	2	3,5	4,07	0,86	0,7	8,14	8,30	11,63	0,9	0	0,7	0,00	0,00	0,00
31	Сепаратор мастила ДГ	2	8,6	10,49	0,82	0,72	20,98	20,22	29,14	0,9	0,5	0,72	6,80	6,55	9,44
32	Насос живлення сепаратора мастила	2	1,5	2,03	0,74	0,68	4,06	4,38	5,97	0,9	0	0,68	0,00	0,00	0,00
33	Перекачуючий насос мастила кормової труби	1	1,2	1,5	0,8	0,7	1,50	1,53	2,14	0,9	0	0,7	0,00	0,00	0,00
34	Перекачуючий насос мастила кормової труби	1	1,2	1,5	0,8	0,7	1,50	1,53	2,14	0,9	0	0,7	0,00	0,00	0,00
35	Перекачуючий насос циліндрового мастила	2	1,8	4,38	0,82	0,75	8,76	7,73	11,68	0,9	0	0,75	0,00	0,00	0,00

Продовження Додатку Б

1	2	3	4	5	6	7	8	9	10	11	12	13	14	15	16
5. Котельна установка															
36	Вентилятор ДК	1	16,5	19,41	0,85	0,83	19,41	13,04	23,39	0,9	1	0,83	14,50	9,74	17,47
37	Двигун пальника	1	3,6	4,19	0,86	0,8	4,19	3,14	5,24	0,9	0	0,8	0,00	0,00	0,00
38	насоса важкого палива ДК	2	0,6	0,81	0,74	0,8	1,62	1,22	2,03	0,9	0	0,8	0,00	0,00	0,00
39	Живлячий водяний насос ДК	2	9,6	11,43	0,84	0,82	22,86	15,96	27,88	0,9	0	0,82	0,00	0,00	0,00
40	Живлячий водяний насос економайзера	2	13	14,61	0,8	0,87	29,22	16,56	33,59	0,9	0	0,87	0,00	0,00	0,00
41	Перекачуючий насос живлячої води	1	1,8	2,2	0,82	0,77	2,20	1,82	2,86	0,9	0,5	0,77	0,76	0,63	0,99
6. Решта обладнання та вентилятори															
42	Головний повітряний компресор	4	64	69,6	0,92	0,8	278,26	208,70	347,83	0,9	0	0,8	0,00	0,00	0,00
43	Сервісний повітряний компресор	1	35	38,9	0,9	0,97	38,89	9,75	40,09	0,9	0,5	0,97	16,98	4,25	17,50
44	Вентилятор машинного відділення	6	75	82,4	0,91	0,83	494,51	332,31	595,79	0,9	0,5	0,83	184,70	124,12	222,53
45	Вентилятор сепараторного відділення	2	11	12,6	0,87	0,86	25,29	15,00	29,40	0,9	1	0,86	19,57	11,61	22,76
46	Вентилятор робочого відділення	1	0,4	0,6	0,68	0,7	0,59	0,60	0,84	0,9	1	0,7	0,37	0,38	0,53
47	Вентилятор форсуночного відділення	1	0,4	0,6	0,68	0,77	0,59	0,49	0,76	0,9	1	0,77	0,41	0,34	0,53
48	Відстійний насос	1	18,5	20,8	0,89	0,85	20,79	12,88	24,45	0,9	1	0,85	15,90	9,85	18,71
49	Насос льяльних вод	2	3,7	4,3	0,86	0,8	8,60	6,45	10,76	0,9	1	0,8	6,20	4,65	7,74
50	Інсегнераторний насос	1	34,5	38,3	0,9	0,8	38,33	28,75	47,92	1	0,5	0,8	15,33	11,50	19,17
7. Суднові системи															
51	Баластний насос	2	90	96,8	0,93	0,9	193,55	93,74	215,05	0,8	0,5	0,9	69,68	33,75	77,42
52	Хілінговий насос	2	112	120,4	0,93	0,84	240,86	155,58	286,74	0,9	0	0,84	0,00	0,00	0,00
53	Пожежний насос	1	180	191,5	0,94	0,9	191,49	92,74	212,77	0,9	0	0,9	0,00	0,00	0,00
54	Аварійний пожежний насос	1	49	52,1	0,94	0,87	52,13	29,54	59,92	0,9	0	0,87	0,00	0,00	0,00
8. Рефрижератори															
55	Вентилятор реф. Контейнерного трюма	24	5,5	7,2	0,76	0,8	173,68	130,26	217,11	0,9	0	0,8	0,00	0,00	0,00
56	Рефрижераторна розетка	700	7	7,0	1	1	4900,00	0,00	4900,00	0,9	0,1	1	441,00	0,00	441,00
9. Маневрове обладнання															
57	Рульова машина	4	80	88,9	0,9	0,84	355,56	229,67	423,28	0,9	0	0,84	0,00	0,00	0,00
58	Аварійна рульова машина	1	80	88,9	0,9	0,83	88,89	59,73	107,10	0,9	0	0,83	0,00	0,00	0,00
59	Підрульюючий пристрій	1	3000	3157,9	0,95	0,93	3157,89	1248,08	3395,59	0,9	0	0,93	0,00	0,00	0,00
60	Гідравлічний насос ПП	2	5,5	6,4	0,86	0,8	12,79	9,59	15,99	0,9	1	0,8	9,21	6,91	11,51
61	Вентилятор приміщення ПП	1	11	12,5	0,88	0,82	12,50	8,73	15,24	0,9	1	0,82	9,23	6,44	11,25
10. Палубні механізми															
62	Брашпіль	3	110	122,2	0,9	0,8	366,67	275,00	458,33	0,8	1	0,8	234,67	176,00	293,33
63	Швартова лебідка	10	80	86,0	0,93	0,84	860,22	555,64	1024,07	0,8	1	0,84	578,06	373,39	688,17
64	Провізійний кран	2	15	17,9	0,84	0,8	35,71	26,79	44,64	0,8	1	0,8	22,86	17,14	28,57
11. Повітряне кондиціонування та вентиляція															
65	Вантажний трюм	9	3	3,5	0,86	0,74	31,40	28,54	42,43	0,8	1	0,74	18,59	16,89	25,12
66	Кладова боцмана	1	1,6	2,0	0,8	0,8	2,00	1,50	2,50	0,8	1	0,8	1,28	0,96	1,60
67	CO2 приміщення	1	1,7	2,0	0,83	0,75	2,05	1,81	2,73	1	1	0,75	1,54	1,35	2,05
68	Вантажний трюм 1	12	2,3	2,7	0,86	0,84	32,09	20,73	38,21	0,8	0,5	0,84	10,78	6,97	12,84
69	Вантажний трюм 2	15	11	15,5	0,71	0,72	232,39	223,99	322,77	0,6	1	0,72	100,39	96,77	139,44
70	Вантажний трюм 3	10	22	29,7	0,74	0,76	297,30	254,24	391,18	0,6	1	0,76	135,57	115,93	178,38
71	Компресор надбудови повітряного кондиціонування	2	150	172,4	0,87	0,88	344,83	186,12	391,85	0,9	0,5	0,88	136,55	73,70	155,17

Продовження Додатку Б

1	2	3	4	5	6	7	8	9	10	11	12	13	14	15	16
72	Вентилятор надбудови	7	42	51,2	0,82	0,8	358,54	268,90	448,17	0,9	0,66	0,8	170,38	127,78	212,97
73	Вентилятор приміщення ЦПУ	1	0,5	0,7	0,76	0,8	0,66	0,49	0,82	0,9	1	0,8	0,47	0,36	0,59
74	Вентилятор надбудови малий	4	1,4	1,9	0,72	0,75	7,78	6,86	10,37	0,9	1	0,75	5,25	4,63	7,00
75	Вентилятор камбуза	2	0,8	1,1	0,72	0,75	2,22	1,96	2,96	0,9	1	0,75	1,50	1,32	2,00
76	Вентиляція машинного приміщення	4	22	26,8	0,82	0,88	107,32	57,92	121,95	0,9	1	0,88	85,00	45,88	96,59
77	Вентиляція вантажних трюмів	10	12	14,8	0,81	0,85	148,15	91,81	174,29	0,9	0,5	0,85	56,67	35,12	66,67
78	Приміщення АДГ	1	0,7	0,9	0,78	0,77	0,90	0,74	1,17	0,9	1	0,77	0,62	0,52	0,81
79	Вентилятори загальносуднової вентиляції	14	2	2,8	0,71	0,76	39,44	33,72	51,89	0,9	1	0,76	26,97	23,07	35,49
80	Вентиляція рульового приміщення	2	1,5	2,2	0,69	0,7	4,35	4,44	6,21	0,9	0,5	0,7	1,37	1,40	1,96
81	Вентиляція камбуза	2	1,3	1,7	0,78	0,8	3,33	2,50	4,17	0,9	1	0,8	2,40	1,80	3,00
12. Освітлення															
82	Освітлення приміщень	5	25	25,0	1	1	125,00	0,00	125,00	1	0,5	1	62,50	0,00	62,50
83	Освітлення машинного відділення	1	21	21,0	1	1	21,00	0,00	21,00	1	1	1	21,00	0,00	21,00
84	Зовнішнє освітлення	3	12	12,0	1	1	36,00	0,00	36,00	1	0,25	1	9,00	0,00	9,00
85	Освітлення трюмів	10	19	19,0	1	1	190,00	0,00	190,00	1	0,25	1	47,50	0,00	47,50
86	Аварійне освітлення	2	6	6,0	1	1	12,00	0,00	12,00	1	1	1	12,00	0,00	12,00
87	Навігаційні та сигнальні огні	1	0,8	0,8	1	1	0,80	0,00	0,80	1	0	1	0,00	0,00	0,00
88	Носове прожекторне освітлення	10	12	12,0	1	1	120,00	0,00	120,00	1	1	1	120,00	0,00	120,00
89	Кормове прожекторне освітлення	7	15	15,0	1	1	105,00	0,00	105,00	1	1	1	105,00	0,00	105,00
13. Зв'язок, управління, слабкий струм															
90	Штурманське обладнання	1	25	25,0	1	1	25,00	0,00	25,00	1	1	1	25,00	0,00	25,00
91	Радіозв'язок	1	1,6	1,6	1	1	1,60	0,00	1,60	1	1	1	1,60	0,00	1,60
92	Трансляція	1	3,5	3,5	1	1	3,50	0,00	3,50	1	1	1	3,50	0,00	3,50
93	Система зв'язку INMARSAT-C	1	1,5	1,5	1	1	1,50	0,00	1,50	1	1	1	1,50	0,00	1,50
94	Схеми автоматики систем	1	1,5	1,5	1	1	1,50	0,00	1,50	1	1	1	1,50	0,00	1,50
95	Сигналізація	1	0,9	0,9	1	1	0,90	0,00	0,90	1	1	1	0,90	0,00	0,90
14. Інші споживачі															
96	Токарний верстат	2	13	16,7	0,78	0,82	33,33	23,27	40,65	0,9	0,5	0,82	12,30	8,59	15,00
97	Свердлувальний верстат	1	2,5	3,1	0,8	0,85	3,13	1,94	3,68	0,9	1	0,85	2,39	1,48	2,81
98	Точильний верстат	1	3	3,7	0,82	0,85	3,66	2,27	4,30	0,9	1	0,85	2,80	1,73	3,29
99	Зарядний пристрій	3	1,1	1,1	1	1	3,30	0,00	3,30	0,8	1	1	2,64	0,00	2,64
100	Зварювальний апарат	2	14,6	14,6	1	1	29,20	0,00	29,20	0,8	0,5	1	11,68	0,00	11,68
101	Гострильно-шліфувальний верстат	1	1,2	1,7	0,72	0,78	1,67	1,34	2,14	0,9	1	0,78	1,17	0,94	1,50

Активна, реактивна та повна потужність суднової мережі

Неперіодична Рпп, Qпп, Sпп	1286,80	660,72	1500,25
Періодична Рпр, Qпр, Sпр	1930,20	991,08	2250,38
Коефіцієнт одночасності	0,85	0,85	0,85
P, Q, S мережі з урахуванням коефіцієнту одночасності	2734,46	1404,03	3188,04
Активна, реактивна та повна потужність ДГ	3200,00	2400,00	4000,00
Кількість ДГ (при відсутності берегового живлення)	1	1	1
Кількість резервних дизель-генераторів	3	3	3
Коефіцієнт використання генераторів	0,855	0,585	0,797
Загальний коефіцієнт використання генераторів		0,855	

Продовження Додатку Б

Таблиця електричних навантажень СЕЕС в аварійному режимі

НН	Найменування груп споживачів	n	P, kW	Pn, kW	η	cos(φ)	Сумарна потужність			КзВ	Ко.р.	cos(φ)	Сумарна споживана потужність		
							P, kW	Q, kVAr	S, kVA				P, kW	Q, kVAr	S, kVA
1	2	3	4	5	6	7	8	9	10	11	12	13	14	15	16
1. Пропульсивна установка															
1	Компресор пускового повітря	4	75,00	79,79	0,94	0,7	319,16	325,61	455,94	0,9	0,15	0,7	30,16	30,77	43,09
2	Насос прісної води охолодження ГД	2	84	90,32	0,63	0,9	180,64	87,49	200,71	0,9	0	0,9	0,00	0,00	0,00
3	Насос підгріва зарубашечного простору ГД	2	9	10,23	0,88	0,84	20,46	13,22	24,36	0,9	0	0,84	0,00	0,00	0,00
4	Насос воздушного холодильника очищувача забортної води ГД	2	1,3	1,63	0,8	0,69	3,26	3,42	4,72	0,9	0	0,69	0,00	0,00	0,00
5	Насос зарубашечного простору ГД водою охолодження	2	1,3	1,63	0,8	0,69	3,26	3,42	4,72	0,9	0	0,69	0,00	0,00	0,00
6	Насос подачі важкого палива ГД	2	18	20,45	0,88	0,78	40,90	32,81	52,44	0,9	0	0,78	0,00	0,00	0,00
7	Циркуляційний насос важкого палива ГД	2	8,6	10,36	0,83	0,77	20,72	17,17	26,91	0,9	0	0,77	0,00	0,00	0,00
8	Валоповоротний пристрій	1	15	18,07	0,83	0,77	18,07	14,97	23,47	0,9	0	0,77	0,00	0,00	0,00
9	Головний насос мастила	2	355	373,68	0,95	0,8	747,36	560,52	934,20	0,9	0	0,8	0,00	0,00	0,00
2. Генераторна установка															
10	Насос підгріва зарубашечного простору ДГ	2	1,5	1,88	0,8	0,8	3,76	2,82	4,70	0,9	0	0,8	0,00	0,00	0,00
11	Бустерний насос дизельного палива	1	1,52	1,92	0,79	0,83	1,92	1,29	2,31	0,9	0,25	0,83	0,36	0,24	0,43
12	Насос подачі важкого палива ДГ	2	13,5	16,27	0,83	0,75	32,54	28,70	43,39	0,8	0	0,75	0,00	0,00	0,00
13	Циркуляційний насос важкого палива ДГ	2	20	23,26	0,86	0,74	46,52	42,28	62,86	0,8	0	0,74	0,00	0,00	0,00
14	Насос подачі важкого палива ДГ	2	3,5	4,22	0,83	0,68	8,44	9,10	12,41	0,8	0,5	0,68	2,30	2,48	3,38
15	Насос мастила запалення	4	0,8	1,08	0,74	0,8	4,32	3,24	5,40	0,9	0,25	0,8	0,78	0,58	0,97
3. Вода-оброблююче обладнання															
16	Головний насос забортної води	3	220	234,04	0,94	0,85	702,12	435,13	826,02	0,9	0	0,85	0,00	0,00	0,00
17	Насос НТ охолодження прісної води	3	147	156,38	0,94	0,85	469,14	290,75	551,93	0,9	0	0,85	0,00	0,00	0,00
18	Насос дистилляційної прісної води	1	1,5	1,88	0,8	0,82	1,88	1,31	2,29	0,85	0	0,82	0,00	0,00	0,00
19	Електронний насос прісної води	1	21	23,6	0,89	0,87	23,60	13,37	27,13	0,9	0,25	0,87	4,62	2,62	5,31
20	Насос охолодження воздушного кондиціонування ПК	2	1,1	1,38	0,8	0,64	2,76	3,31	4,31	0,9	0	0,64	0,00	0,00	0,00
4. Мастило-оброблююче обладнання															
21	Сепаратор ВП	4	26	28,89	0,9	0,74	115,56	105,04	156,16	0,9	0	0,74	0,00	0,00	0,00
22	Насос живлення сепаратора ВП	4	3,5	4,07	0,86	0,68	16,28	17,55	23,94	0,9	0	0,68	0,00	0,00	0,00
23	Насос розвантаження сепаратора ВП	1	3,5	4,07	0,86	0,7	4,07	4,15	5,81	0,9	0	0,7	0,00	0,00	0,00
24	Сепаратор ДП	2	8	10	0,8	0,8	20,00	15,00	25,00	1	1	0,8	16,00	12,00	20,00
25	Насос живлення сепаратора ДП	1	1,8	2,2	0,82	0,73	2,20	2,06	3,01	0,9	1	0,73	1,45	1,35	1,98
26	Перекачуючий насос ВП	2	26	28,89	0,9	0,81	57,78	41,83	71,33	1	0	0,81	0,00	0,00	0,00
27	Підкачуючий насос ВП	1	15	17,44	0,88	0,68	17,44	18,80	25,65	0,9	0	0,68	0,00	0,00	0,00
28	Перекачуючий насос ВП / ДП	1	26	28,89	0,9	0,67	28,89	32,01	43,12	0,9	0,25	0,67	4,36	4,83	6,50
29	Сепаратор мастила ГД	2	17,5	19,66	0,89	0,8	39,32	29,49	49,15	1	0	0,8	0,00	0,00	0,00
30	Насос живлення сепаратора мастила	2	3,5	4,07	0,86	0,7	8,14	8,30	11,63	0,9	0	0,7	0,00	0,00	0,00
31	Сепаратор мастила ДГ	2	8,6	10,49	0,82	0,72	20,98	20,22	29,14	0,9	0	0,72	0,00	0,00	0,00
32	Насос живлення сепаратора мастила	2	1,5	2,03	0,74	0,68	4,06	4,38	5,97	0,9	0	0,68	0,00	0,00	0,00
33	Перекачуючий насос мастила кормової труби	1	1,2	1,5	0,8	0,7	1,50	1,53	2,14	0,9	0	0,7	0,00	0,00	0,00
34	Перекачуючий насос мастила кормової труби	1	1,2	1,5	0,8	0,7	1,50	1,53	2,14	0,9	0	0,7	0,00	0,00	0,00
35	Перекачуючий насос циліндрового мастила	2	1,8	4,38	0,82	0,75	8,76	7,73	11,68	0,9	0	0,75	0,00	0,00	0,00

Продовження Додатку Б

1	2	3	4	5	6	7	8	9	10	11	12	13	14	15	16
5. Котельна установка															
36	Вентилятор ДК	1	16,5	19,41	0,85	0,83	19,41	13,04	23,39	0,9	0	0,83	0,00	0,00	0,00
37	Двигун пальника	1	3,6	4,19	0,86	0,8	4,19	3,14	5,24	0,9	0	0,8	0,00	0,00	0,00
38	насоса важкого палива ДК	2	0,6	0,81	0,74	0,8	1,62	1,22	2,03	0,9	0	0,8	0,00	0,00	0,00
39	Живлячий водяний насос ДК	2	9,6	11,43	0,84	0,82	22,86	15,96	27,88	0,9	0	0,82	0,00	0,00	0,00
40	Живлячий водяний насос економайзера	2	13	14,61	0,8	0,87	29,22	16,56	33,59	0,9	0	0,87	0,00	0,00	0,00
41	Перекачуючий насос живлячої води	1	1,8	2,2	0,82	0,77	2,20	1,82	2,86	0,9	0	0,77	0,00	0,00	0,00
6. Решта обладнання та вентилятори															
42	Головний повітряний компресор	4	64	69,6	0,92	0,8	278,26	208,70	347,83	0,9	0	0,8	0,00	0,00	0,00
43	Сервісний повітряний компресор	1	35	38,9	0,9	0,97	38,89	9,75	40,09	0,9	1	0,97	33,95	8,51	35,00
44	Вентилятор машинного відділення	6	75	82,4	0,91	0,83	494,51	332,31	595,79	0,9	0	0,83	0,00	0,00	0,00
45	Вентилятор сепараторного відділення	2	11	12,6	0,87	0,86	25,29	15,00	29,40	0,9	1	0,86	19,57	11,61	22,76
46	Вентилятор робочого відділення	1	0,4	0,6	0,68	0,7	0,59	0,60	0,84	0,9	0	0,7	0,00	0,00	0,00
47	Вентилятор форсуночного відділення	1	0,4	0,6	0,68	0,77	0,59	0,49	0,76	0,9	0	0,77	0,00	0,00	0,00
48	Відстійний насос	1	18,5	20,8	0,89	0,85	20,79	12,88	24,45	0,9	0	0,85	0,00	0,00	0,00
49	Насос льяльних вод	2	3,7	4,3	0,86	0,8	8,60	6,45	10,76	0,9	0,25	0,8	1,55	1,16	1,94
50	Інсегнераторний насос	1	34,5	38,3	0,9	0,8	38,33	28,75	47,92	1	0	0,8	0,00	0,00	0,00
7. Суднові системи															
51	Баластний насос	2	90	96,8	0,93	0,9	193,55	93,74	215,05	0,8	0	0,9	0,00	0,00	0,00
52	Хілінговий насос	2	112	120,4	0,93	0,84	240,86	155,58	286,74	0,9	0	0,84	0,00	0,00	0,00
53	Пожежний насос	1	180	191,5	0,94	0,9	191,49	92,74	212,77	0,9	0	0,9	0,00	0,00	0,00
54	Аварійний пожежний насос	1	49	52,1	0,94	0,87	52,13	29,54	59,92	0,9	0,5	0,87	20,41	11,57	23,46
8. Рефрижератори															
55	Вентилятор реф. Контейнерного трюма	24	5,5	7,2	0,76	0,8	173,68	130,26	217,11	0,9	0	0,8	0,00	0,00	0,00
56	Рефрижераторна розетка	700	7	7,0	1	1	4900,00	0,00	4900,00	0,9	0	1	0,00	0,00	0,00
9. Маневрове обладнання															
57	Рульова машина	4	80	88,9	0,9	0,84	355,56	229,67	423,28	0,9	0	0,84	0,00	0,00	0,00
58	Аварійна рульова машина	1	80	88,9	0,9	0,83	88,89	59,73	107,10	0,9	1	0,83	66,40	44,62	80,00
59	Підрульюючий пристрій	1	3000	3157,9	0,95	0,93	3157,89	1248,08	3395,59	0,9	0	0,93	0,00	0,00	0,00
60	Гідравлічний насос ПП	2	5,5	6,4	0,86	0,8	12,79	9,59	15,99	0,9	0	0,8	0,00	0,00	0,00
61	Вентилятор приміщення ПП	1	11	12,5	0,88	0,82	12,50	8,73	15,24	0,9	0	0,82	0,00	0,00	0,00
10. Палубні механізми															
62	Брашпіль	3	110	122,2	0,9	0,8	366,67	275,00	458,33	0,8	0	0,8	0,00	0,00	0,00
63	Швартова лебідка	10	80	86,0	0,93	0,84	860,22	555,64	1024,07	0,8	0	0,84	0,00	0,00	0,00
64	Провізійний кран	2	15	17,9	0,84	0,8	35,71	26,79	44,64	0,8	0	0,8	0,00	0,00	0,00
11. Повітряне кондиціонування та вентиляція															
65	Вантажний трюм	9	3	3,5	0,86	0,74	31,40	28,54	42,43	0,8	0	0,74	0,00	0,00	0,00
66	Кладова боцмана	1	1,6	2,0	0,8	0,8	2,00	1,50	2,50	0,8	0	0,8	0,00	0,00	0,00
67	CO2 приміщення	1	1,7	2,0	0,83	0,75	2,05	1,81	2,73	1	0	0,75	0,00	0,00	0,00
68	Вантажний трюм 1	12	2,3	2,7	0,86	0,84	32,09	20,73	38,21	0,8	0	0,84	0,00	0,00	0,00
69	Вантажний трюм 2	15	11	15,5	0,71	0,72	232,39	223,99	322,77	0,6	0	0,72	0,00	0,00	0,00
70	Вантажний трюм 3	10	22	29,7	0,74	0,76	297,30	254,24	391,18	0,6	0	0,76	0,00	0,00	0,00
71	Компресор надбудови повітряного кондиціонування	2	150	172,4	0,87	0,88	344,83	186,12	391,85	0,9	0,25	0,88	68,28	36,85	77,59

Продовження Додатку Б

1	2	3	4	5	6	7	8	9	10	11	12	13	14	15	16
72	Вентилятор надбудови	7	42	51,2	0,82	0,8	358,54	268,90	448,17	0,9	0,25	0,8	64,54	48,40	80,67
73	Вентилятор приміщення ЦПУ	1	0,5	0,7	0,76	0,8	0,66	0,49	0,82	0,9	0,25	0,8	0,12	0,09	0,15
74	Вентилятор надбудови малий	4	1,4	1,9	0,72	0,75	7,78	6,86	10,37	0,9	0	0,75	0,00	0,00	0,00
75	Вентилятор камбуза	2	0,8	1,1	0,72	0,75	2,22	1,96	2,96	0,9	0,5	0,75	0,75	0,66	1,00
76	Вентиляція машинного приміщення	4	22	26,8	0,82	0,88	107,32	57,92	121,95	0,9	0	0,88	0,00	0,00	0,00
77	Вентиляція вантажних трюмів	10	12	14,8	0,81	0,85	148,15	91,81	174,29	0,9	0	0,85	0,00	0,00	0,00
78	Приміщення АДГ	1	0,7	0,9	0,78	0,77	0,90	0,74	1,17	0,9	1	0,77	0,62	0,52	0,81
79	Вентилятори загальносуднової вентиляції	14	2	2,8	0,71	0,76	39,44	33,72	51,89	0,9	0	0,76	0,00	0,00	0,00
80	Вентиляція рульового приміщення	2	1,5	2,2	0,69	0,7	4,35	4,44	6,21	0,9	0,5	0,7	1,37	1,40	1,96
81	Вентиляція камбуза	2	1,3	1,7	0,78	0,8	3,33	2,50	4,17	0,9	0,25	0,8	0,60	0,45	0,75
12. Освітлення															
82	Освітлення приміщень	5	25	25,0	1	1	125,00	0,00	125,00	1	0	1	0,00	0,00	0,00
83	Освітлення машинного відділення	1	21	21,0	1	1	21,00	0,00	21,00	1	0	1	0,00	0,00	0,00
84	Зовнішнє освітлення	3	12	12,0	1	1	36,00	0,00	36,00	1	0	1	0,00	0,00	0,00
85	Освітлення трюмів	10	19	19,0	1	1	190,00	0,00	190,00	1	0	1	0,00	0,00	0,00
86	Аварійне освітлення	2	6	6,0	1	1	12,00	0,00	12,00	1	1	1	12,00	0,00	12,00
87	Навігаційні та сигнальні огні	1	0,8	0,8	1	1	0,80	0,00	0,80	1	1	1	0,80	0,00	0,80
88	Носове прожекторне освітлення	10	12	12,0	1	1	120,00	0,00	120,00	1	0	1	0,00	0,00	0,00
89	Кормове прожекторне освітлення	7	15	15,0	1	1	105,00	0,00	105,00	1	0	1	0,00	0,00	0,00
13. Зв'язок, управління, слабкий струм															
90	Штурманське обладнання	1	25	25,0	1	1	25,00	0,00	25,00	1	1	1	25,00	0,00	25,00
91	Радіозв'язок	1	1,6	1,6	1	1	1,60	0,00	1,60	1	1	1	1,60	0,00	1,60
92	Трансляція	1	3,5	3,5	1	1	3,50	0,00	3,50	1	1	1	3,50	0,00	3,50
93	Система зв'язку INMARSAT-C	1	1,5	1,5	1	1	1,50	0,00	1,50	1	1	1	1,50	0,00	1,50
94	Схеми автоматики систем	1	1,5	1,5	1	1	1,50	0,00	1,50	1	1	1	1,50	0,00	1,50
95	Сигналізація	1	0,9	0,9	1	1	0,90	0,00	0,90	1	1	1	0,90	0,00	0,90
14. Інші споживачі															
96	Токарний верстат	2	13	16,7	0,78	0,82	33,33	23,27	40,65	0,9	0	0,82	0,00	0,00	0,00
97	Свердлувальний верстат	1	2,5	3,1	0,8	0,85	3,13	1,94	3,68	0,9	0	0,85	0,00	0,00	0,00
98	Точильний верстат	1	3	3,7	0,82	0,85	3,66	2,27	4,30	0,9	0	0,85	0,00	0,00	0,00
99	Зарядний пристрій	3	1,1	1,1	1	1	3,30	0,00	3,30	0,8	0	1	0,00	0,00	0,00
100	Зварювальний апарат	2	14,6	14,6	1	1	29,20	0,00	29,20	0,8	0	1	0,00	0,00	0,00
101	Гострильно-шліфувальний верстат	1	1,2	1,7	0,72	0,78	1,67	1,34	2,14	0,9	0	0,78	0,00	0,00	0,00

Активна, реактивна та повна потужність суднової мережі

Неперіодична Рпп, Qпп, Sпп	153,99	88,28	181,81
Періодична Рпр, Qпр, Sпр	230,98	132,42	272,72
Коефіцієнт одночасності	0,85	0,85	0,85
P, Q, S мережі з урахуванням коефіцієнту одночасності	327,22	187,60	386,35
Активна, реактивна та повна потужність аварійного ДГ	550,00	412,50	687,50
Коефіцієнт використання АДГ	0,59	0,45	0,56
Загальний коефіцієнт використання АДГ	0,595		

